



## **Reconnaissance et prospection archéologiques dans la MRC de la Matapédia, août 2015**

par Manon SAVARD et Nicolas BEAUDRY

Décembre 2016



[lap.uqar.ca](http://lap.uqar.ca)  
**LABORATOIRE  
D'ARCHÉOLOGIE  
ET DE PATRIMOINE**





# **Reconnaissance et prospection archéologiques dans la MRC de la Matapédia, août 2015**

par Manon SAVARD et Nicolas BEAUDRY

Décembre 2016

Rapport déposé à la MRC de la Matapédia  
et au ministère de la Culture et des Communications du Québec



[lap.uqar.ca](http://lap.uqar.ca)  
**LABORATOIRE  
D'ARCHÉOLOGIE  
ET DE PATRIMOINE**



Page couverture : l'équipe sur le terrain. Au premier plan, Jérôme Bossé et Isabelle Francoeur ; au deuxième plan, Meghan Houle et William Chassé.

Manon Savard et Nicolas Beaudry, 2016. *Reconnaissance et prospection archéologiques dans la MRC de la Matapédia, août 2015*. Rapport déposé à la MRC de la Matapédia et au ministère de la Culture et des Communications du Québec. Rimouski : Université du Québec à Rimouski, Laboratoire d'archéologie et de patrimoine.

© Laboratoire d'archéologie et de patrimoine, 2016. Tous droits réservés.

**Laboratoire d'archéologie et de patrimoine**

Université du Québec à Rimouski  
300, allée des Ursulines  
Rimouski (Québec) G5L 3A1

<http://lap.uqar.ca>  
[lap@uqar.ca](mailto:lap@uqar.ca)



# Table des matières

Table des matières.....	v
Liste des figures .....	vii
Introduction .....	1
1. Contexte .....	2
2. Objectifs.....	3
Recherche.....	3
Formation .....	3
Diffusion .....	3
3. Travaux effectués .....	4
L'équipe .....	4
3.1. Méthodologie .....	5
3.2. Validation du potentiel archéologique amérindien .....	16
Zone de potentiel 25 : le secteur des sentiers Les Explorateurs.....	16
Zone de potentiel 26 : la baie de Charlie .....	16
Zone de potentiel 30 : l'embouchure de la rivière Sableuse ou Matane.....	17
Zone de potentiel 31 : la baie à Zénon.....	17
Zone de potentiel 32 : l'Ancien Chalet à Soucy.....	18
Zone de potentiel 33 : le Dépôt à Soucy et le lac Caché .....	18
Zone de potentiel 37a : la pointe Fine et le Promontoire.....	18
Zone de potentiel 37 : le secteur du ruisseau Michaud et du Fort Madapeguia.....	19
3.3. Validation du potentiel d'époque historique .....	20
Le Parc de la Seigneurie-du-Lac-Matapédia.....	20

Milnikek .....	20
3.4. Résultats .....	22
La présence amérindienne dans le Parc régional.....	22
L’Ancien Chalet à Soucy et le Dépôt à Soucy .....	23
Autres vestiges d’époque historique dans le Parc régional .....	28
Le hameau de Milnikek .....	28
4. Formation .....	34
5. Diffusion .....	36
6. Discussion et recommandations .....	38
Le potentiel archéologique amérindien.....	38
L’exploitation forestière dans le Parc régional de la Seigneurie-du-Lac-Matapédia ..	38
Milnikek .....	39
Les collections.....	40
7. Conclusion .....	41
Références .....	42
Annexe 1. Catalogue des points géo-référencés.....	43
Annexe 2. Plans et coupes .....	61
Annexe 3. Données stratigraphiques.....	69
Annexe 4. Inventaire du mobilier archéologique .....	73
Annexe 5. Catalogue des photographies .....	79

## Liste des figures

Figure 1. L'équipe du LAP à Milnikek : Nicolas Beaudry, Sophie Bernier, Roxane Julien-Friolet, Meghan Houle, Isabelle Francoeur, William Chassé, Manon Savard et Jérôme Bossé. ....	4
Figure 2. Zones de potentiel d'occupation amérindienne du secteur du lac Matapédia d'après l'étude de Ruralys (2014). ....	6
Figure 3. Localisation des anomalies topographiques, des artefacts ou vestiges visibles en surface et des sondages réalisés dans la zone de potentiel 25, le secteur des sentiers Les Explorateurs (M.-A. Roy). ....	7
Figure 4. Localisation des anomalies topographiques, des artefacts ou vestiges visibles en surface et des sondages réalisés dans la zone de potentiel 26, la baie de Charlie (M.-A. Roy). ....	8
Figure 5. Localisation des anomalies topographiques, des artefacts ou vestiges visibles en surface et des sondages réalisés dans la zone de potentiel 30, l'embouchure de la rivière Sableuse ou Matane (M.-A. Roy). ....	9
Figure 6. Localisation des anomalies topographiques, des artefacts ou vestiges visibles en surface et des sondages réalisés dans la zone de potentiel 31, la baie à Zénon (M.-A. Roy). ....	10
Figure 7. Localisation des anomalies topographiques, des artefacts ou vestiges visibles en surface et des sondages réalisés dans la zone de potentiel 32, le secteur du Chalet à Soucy (M.-A. Roy). ....	11
Figure 8. Localisation des anomalies topographiques, des artefacts ou vestiges visibles en surface et des sondages réalisés dans la zone de potentiel 33, le secteur du Dépôt à Soucy (M.-A. Roy). ....	12
Figure 9. Localisation des anomalies topographiques, des artefacts ou vestiges visibles en surface et des sondages réalisés dans la zone de potentiel 37a, le secteur de la pointe Fine et du Promontoire (M.-A. Roy). ....	13
Figure 10. Localisation des anomalies topographiques, des artefacts ou vestiges visibles en surface et des sondages réalisés dans la zone de potentiel 37, le secteur du ruisseau Michaud et du Fort Madapeguia (M.-A. Roy). ....	14
Figure 11. Localisation des anomalies topographiques et des artefacts ou vestiges visibles en surface à Milnikek (M.-A. Roy). ....	15

Figure 12. La porte nord-est du Fort Madapeguia.....	19
Figure 13. Pointe de projectile trouvée dans le sondage MAT37-1BI. ....	22
Figure 14. La cheminée de l’Ancien Chalet à Soucy : a) parements ouest, b) sud et c) est ; d) le foyer ; e) détail de la fondation de béton.....	24
Figure 15. Le puits de l’Ancien Chalet à Soucy.....	25
Figure 16. La dalle de béton du Dépôt à Soucy.....	26
Figure 17. Sélection d’artefacts associés à la dalle de béton du Dépôt à Soucy. ....	26
Figure 18. Pièces de véhicules ou de machinerie dans un chablis, à l’est du Dépôt à Soucy.....	27
Figure 19. Vestiges inondés d’un petit bâtiment, au sud du Dépôt à Soucy. ....	27
Figure 20. Goulot de bouteille de gin provenant de l’arrière-plage de la baie de Zénon. ....	28
Figure 21. Perspective cavalière restituée du hameau de Milnikek (G. Champoux, reproduit dans Bonin et Pelletier 1998). ....	29
Figure 22. La cheminée des chaudières de la scierie de Milnikek. ....	30
Figure 23. Fondations des turbines de la scierie de Milnikek (détail). ....	31
Figure 24. Façade du brûleur de la scierie de Milnikek. ....	32
Figure 25. Vestiges du barrage de la scierie de Milnikek.....	33
Figure 26. Dépotoir domestique à Milnikek.....	33
Figure 27. Michel Plourde faisant la démonstration aux étudiants d’un sondage à la pelle. ....	34
Figure 28. Manon Savard expliquant à des étudiants la stratigraphie d’un podzol. ....	35
Figure 29. Visite d’une équipe de Radio-Canada sur le site de la Baie à Zénon, 13 août 2015.....	36
Figure 30. Rencontre avec le public, Val-Brillant, 16 août 2015.....	36
Figure 31. Simulation de fouille archéologique, Val-Brillant, 16 août 2015. ....	37



## **Introduction**

Soucieuse de connaître son patrimoine archéologique afin d'en assurer la conservation et la mise en valeur, la MRC de la Matapédia a fait réaliser en 2013-2014 une étude sur le potentiel archéologique de son territoire. Cette étude, livrée par Ruralys en avril 2014, a identifié 177 sites présentant un potentiel archéologique amérindien d'époque préhistorique ou historique, ainsi que 70 sites présentant un potentiel archéologique euro-canadien (Ruralys 2014). La MRC ayant exprimé le souhait de poursuivre sa démarche d'acquisition de connaissances, elle a confié à des chercheurs du Laboratoire d'archéologie et de patrimoine (LAP) de l'Université du Québec à Rimouski (UQAR) le mandat de mener une mission de reconnaissance et de prospection à l'été 2015 afin de valider certaines des données de l'étude de potentiel et de mieux connaître une partie du territoire. Ce document présente les résultats de cet exercice à la MRC de la Matapédia et fait rapport au ministère de la Culture et des communications du Québec (MCCQ), conformément aux exigences associées à l'émission d'un permis de recherche archéologique.

# 1. Contexte

Le territoire de la MRC de La Matapédia a été fréquenté pendant plusieurs millénaires par des populations amérindiennes qui circulaient entre le fleuve Saint-Laurent et la baie des Chaleurs. Des toponymes tels qu'Amqui, Humqui ou Sayabec en gardent la mémoire. Certains de leurs portages ont été repris dans le tracé du chemin Kempt, débuté en 1830 pour relier la vallée du Saint-Laurent à la baie des Chaleurs. En 1862, le gouvernement du Canada-Uni entreprenait la construction du chemin Matapédia qui devait remplacer le chemin Kempt en suivant un tracé différent. La colonisation du territoire n'a cependant connu son essor qu'avec la construction du chemin de fer Intercolonial à partir de 1871 et avec l'essor de l'industrie forestière (Fortin *et al.* 1993; Le Guédard 2005, Lussier et Roy 2004; Stanek 1991).

Malgré cette longue présence humaine, le territoire de la MRC ne comptait à l'été 2015 qu'un seul site archéologique recensé, celui du moulin Langlois à Saint-Vianney (DdDu-1). Les travaux archéologiques ont été rares dans la Matapédia et ils n'avaient encore jamais visé l'acquisition de connaissances ou la mise en valeur du patrimoine archéologique, ce qui explique en grande partie l'apparente rareté de ce patrimoine. L'étude de potentiel réalisée par Ruralys (2014) permet cependant d'attendre un important potentiel archéologique, pour la préhistoire comme pour la période historique. Poursuivre l'acquisition de connaissances demandait de valider sur le terrain les résultats de cette étude, ainsi que le recommandaient ses auteurs en conclusion.

La mission de reconnaissance et de prospection de l'été 2015 a porté sur des territoires accessibles, dont la MRC est gestionnaire et propices à d'éventuels programmes de recherche et de mise en valeur. À la demande de la MRC, la mission devait se concentrer sur les rives nord et est du lac Matapédia dans les limites du Parc régional de la Seigneurie-du-Lac Matapédia. Elle devait aussi comprendre une reconnaissance des vestiges du hameau abandonné de Milnikek (TNO de Routhierville), dont on pouvait attendre un intéressant potentiel de mise en valeur.

## 2. Objectifs

### *Recherche*

Tels que convenus avec la MRC, les objectifs de la mission étaient 1) de valider le potentiel de sites identifiés par l'étude de 2014 sur les terres de tenure publique du secteur du Parc de la Seigneurie-du-Lac-Matapédia ; 2) d'explorer d'autres sites d'intérêt en fonction des priorités de la MRC ; 3) d'acquérir de nouvelles connaissances sur le patrimoine archéologique de la MRC de la Matapédia ; 4) de prioriser des sites pour des interventions futures, en fonction de la pression du développement, des possibilités de mise en valeur et des priorités de la MRC.

### *Formation*

La MRC s'étant montrée sensible à la mission d'enseignement du LAP et à la plus-value que représente l'implication d'étudiants dans un tel projet, celui-ci devait aussi 5) contribuer à la formation d'étudiants universitaires en archéologie et en patrimoine.

### *Diffusion*

Enfin, la MRC comme le LAP souhaitaient que cette mission contribue à 6) sensibiliser les élus et le public à l'intérêt de la ressource archéologique, ainsi qu'à leur faire connaître le potentiel archéologique de la MRC et ses possibilités de mise en valeur. On souhaitait notamment susciter la déclaration d'éventuelles découvertes archéologiques faites par des habitants de la Matapédia : si le potentiel archéologique du territoire de la région devait être à la hauteur des attentes, il serait peu probable qu'aucun artefact ou aucun site n'ait jamais été découvert, notamment par les riverains du lac et de la rivière Matapédia.

### 3. Travaux effectués

La mission de reconnaissance et de prospection de l'été 2015 s'est déroulée du lundi 10 août au vendredi 21 août inclusivement. Le permis de recherche archéologique 15-SAMA-01 a été délivré à cette fin par le ministère de la Culture et des Communications du Québec (MCCQ). La mission était dirigée par Manon Savard et Nicolas Beaudry, professeurs à l'UQAR, auxquels s'est joint Michel Plourde, archéologue professionnel spécialisé en préhistoire québécoise, qui a codirigé la composante préhistorique du projet. La mission comprenait en outre deux assistants et trois à quatre stagiaires. L'équipe a été logée à Val-d'Irène pendant toute la durée de la mission.

#### *L'équipe*

Manon Savard, professeure de géographie et d'archéologie à l'UQAR  
Nicolas Beaudry, professeur d'histoire et d'archéologie à l'UQAR  
Michel Plourde, archéologue préhistorien (du 11 au 14 août)  
Jérôme Bossé, candidat à la maîtrise en histoire à l'UQAR, assistant  
Isabelle Francoeur, candidate à la maîtrise en histoire à l'UQAR, assistante  
Sophie Bernier, diplômée stagiaire  
William Chassé, étudiant stagiaire  
Meghan Houle, étudiante stagiaire (du 10 au 20 août)  
Roxane Julien-Friolet, étudiante stagiaire (du 17 au 20 août)



Figure 1. L'équipe du LAP à Milnikek : Nicolas Beaudry, Sophie Bernier, Roxane Julien-Friolet, Meghan Houle, Isabelle Francoeur, William Chassé, Manon Savard et Jérôme Bossé.

### 3.1. Méthodologie

L'équipe a exploré des zones de fort potentiel archéologique identifiées par l'étude de Ruralys (2014) dans le Parc régional de la Seigneurie-du-Lac-Matapédia, qui occupe des terres de tenure publique de la rive gauche du lac (Figure 2). À la demande de la MRC, le site du hameau de Milnikek (TNO de Routhierville) a aussi été exploré. Dans la documentation de terrain comme dans le présent rapport, les zones de potentiel du Parc régional de la Seigneurie du Lac-Matapédia sont désignées par le même numéro que dans l'étude de Ruralys (Figure 2), précédé du préfixe MAT ; l'identifiant du site de Milnikek est MIL.

Les secteurs les plus prometteurs de ces zones de potentiel ont fait l'objet d'une inspection visuelle. Les anomalies topographiques potentiellement anthropiques, les artefacts en surface et les vestiges ont été géo-référencés à l'aide d'un GPS à main, à moins qu'ils ne soient clairement le produit d'une fréquentation contemporaine du territoire<sup>1</sup>. Les anomalies, artefacts et vestiges ainsi recensés sont désignés par l'identifiant de la zone ou du site suivi d'un tiret, du chiffre 1 (qui désigne la première campagne archéologique), de la lettre S (pour « surface ») et du numéro du point géo-référencé tel qu'enregistré par le GPS. Seuls certains artefacts diagnostiques ont été recueillis (Annexe 4).

Des sondages manuels ont été effectués au besoin et géo-référencés. Ces sondages sont désignés par l'identifiant de la zone ou du site suivi d'un tiret, du chiffre 1 et d'un code alphabétique. Une coupe stratigraphique représentative a été relevée dans chaque secteur qui a ainsi été échantillonné (Annexe 2) et certains sondages ont fait l'objet d'une documentation plus détaillée (Annexe 3). Seuls certains artefacts diagnostiques ont été recueillis (Annexe 4).

Un total de 444 points ont été enregistrés, dont 267 correspondent à des sondages. L'Annexe 1 présente la liste de ces points et les Figure 3 à 11 présentent leur distribution dans chacun des secteurs qui ont été explorés<sup>2</sup>.

---

<sup>1</sup> Hors des axes routiers, le Parc régional de la Seigneurie-du-Lac-Matapédia et le site de Milnikek sont fréquentés essentiellement à des fins récréatives, y compris l'usage de véhicules motorisés, la chasse et la pêche.

<sup>2</sup> Des points peuvent en cacher d'autres, mais tous les points correspondants à des artefacts visibles en surface, à des anomalies topographiques et à des sondages positifs sont visibles à l'avant-plan. Cette cartographie a été réalisée par M.-A. Roy, technicienne en géomatique au Département de biologie, chimie et géographie de l'UQAR.

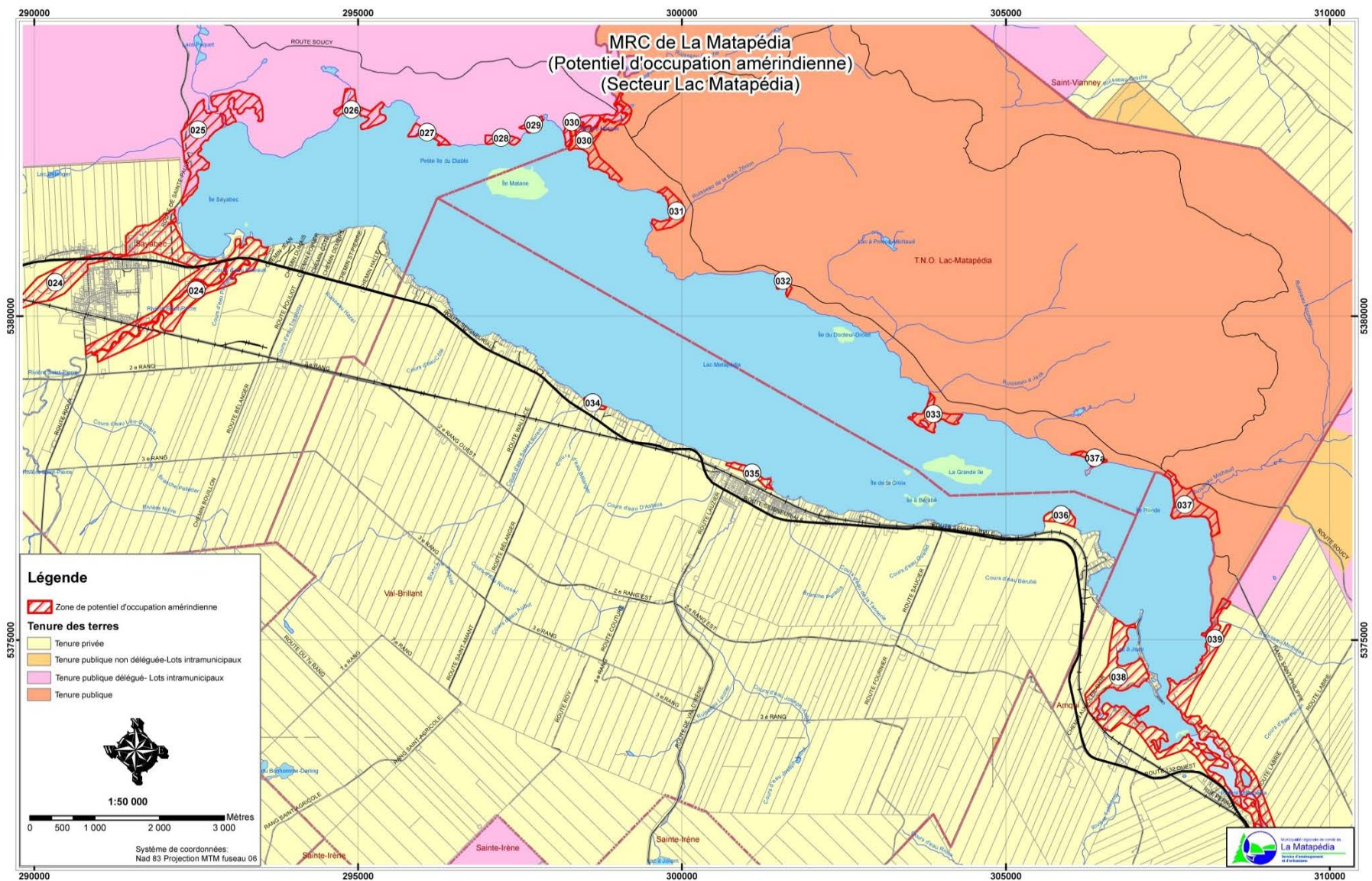


Figure 2. Zones de potentiel d'occupation amérindienne du secteur du lac Matapédia d'après l'étude de Ruralys (2014).

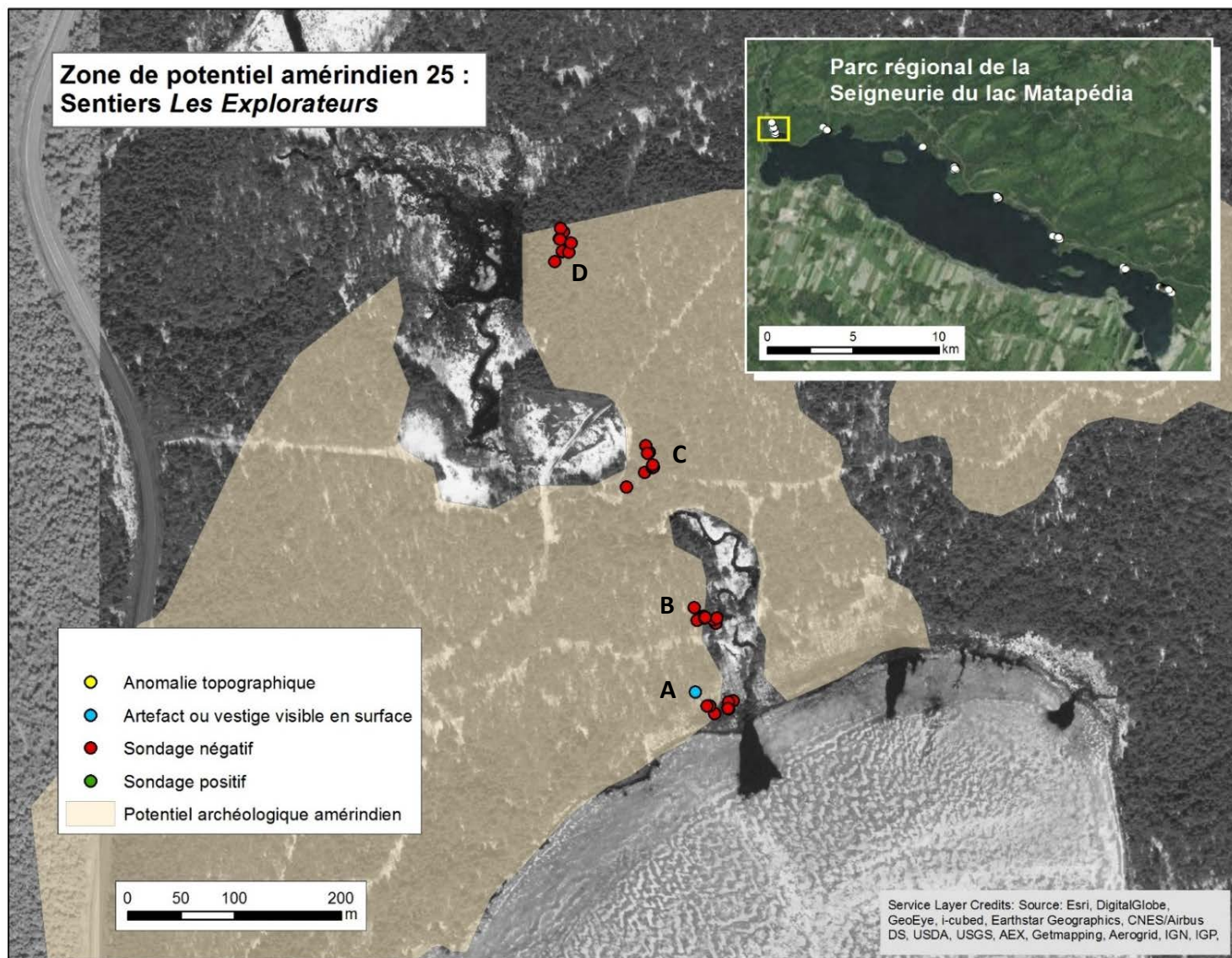


Figure 3. Localisation des anomalies topographiques, des artefacts ou vestiges visibles en surface et des sondages réalisés dans la zone de potentiel 25, le secteur des sentiers *Les Explorateurs* (M.-A. Roy).

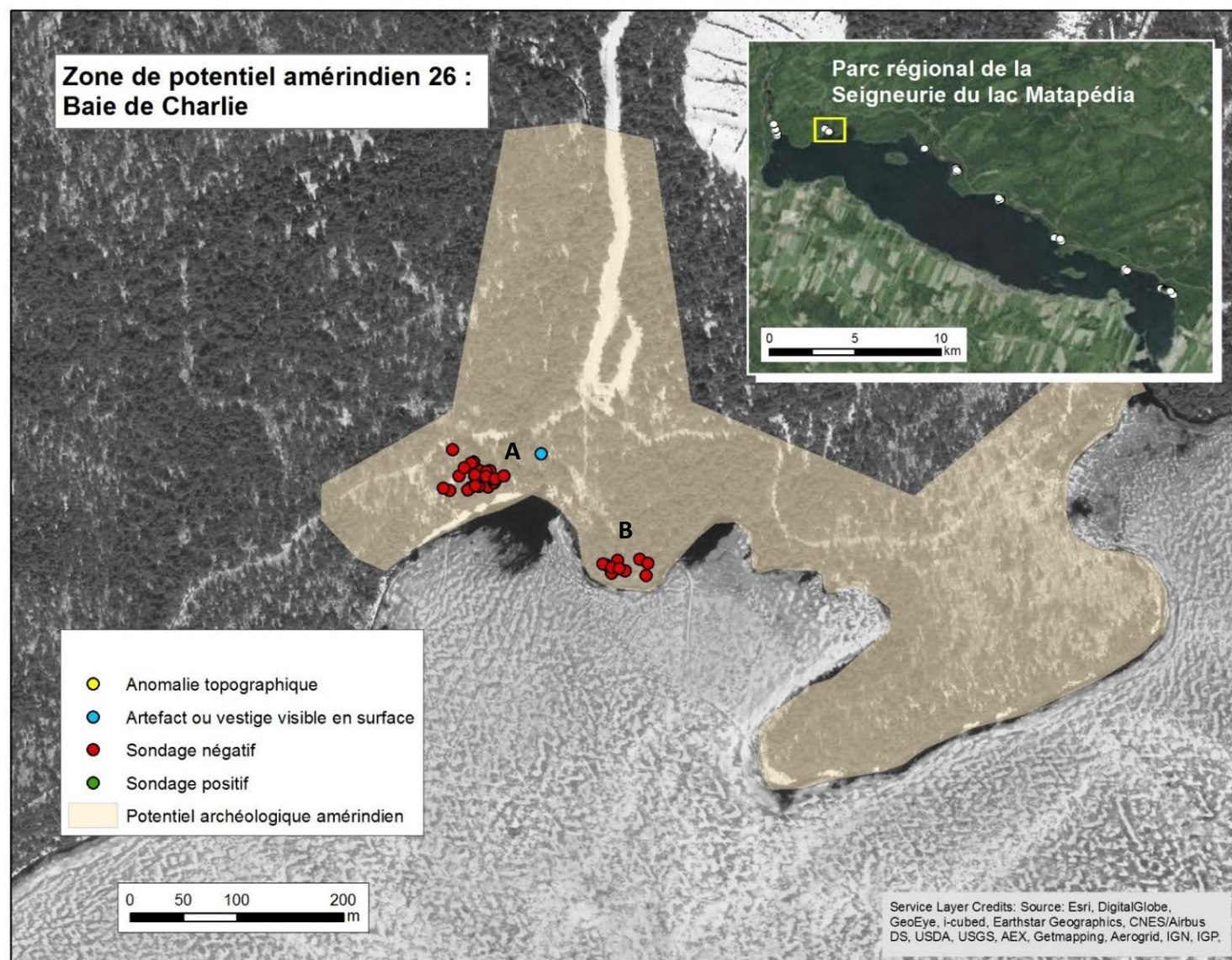


Figure 4. Localisation des anomalies topographiques, des artefacts ou vestiges visibles en surface et des sondages réalisés dans la zone de potentiel 26, la baie de Charlie (M.-A. Roy).



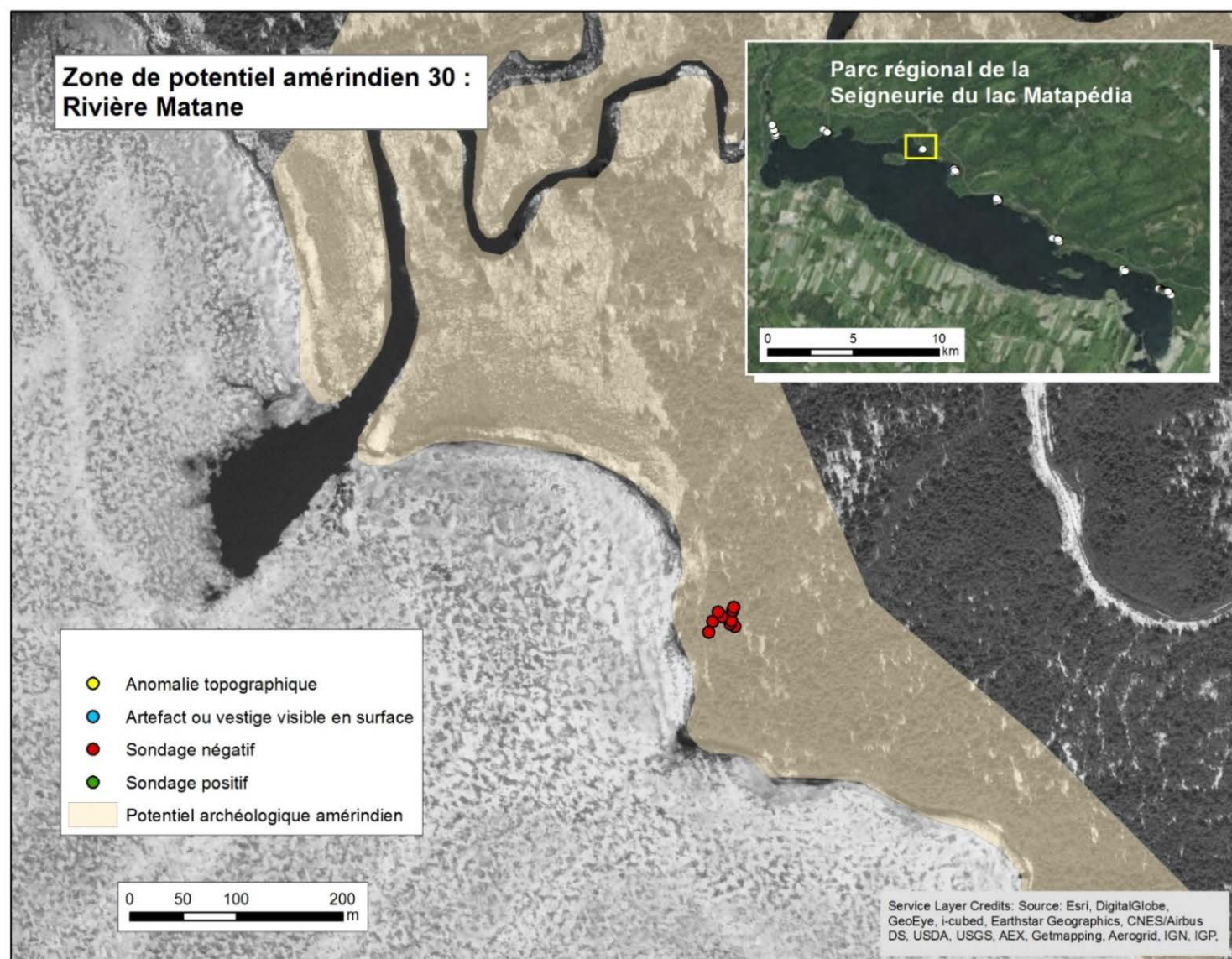


Figure 5. Localisation des anomalies topographiques, des artefacts ou vestiges visibles en surface et des sondages réalisés dans la zone de potentiel 30, l'embouchure de la rivière Sableuse ou Matane (M.-A. Roy).

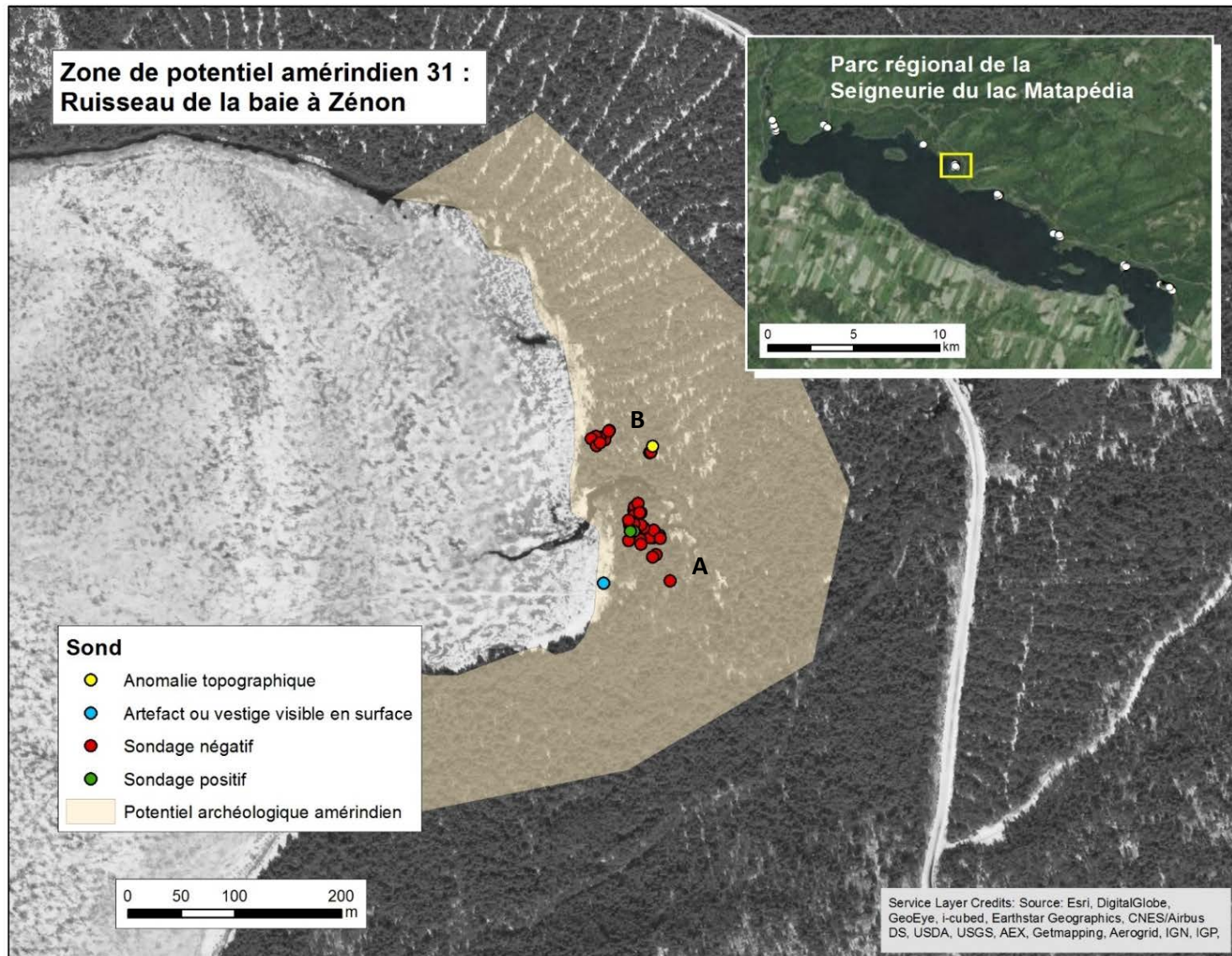


Figure 6. Localisation des anomalies topographiques, des artefacts ou vestiges visibles en surface et des sondages réalisés dans la zone de potentiel 31, la baie à Zénon (M.-A. Roy).

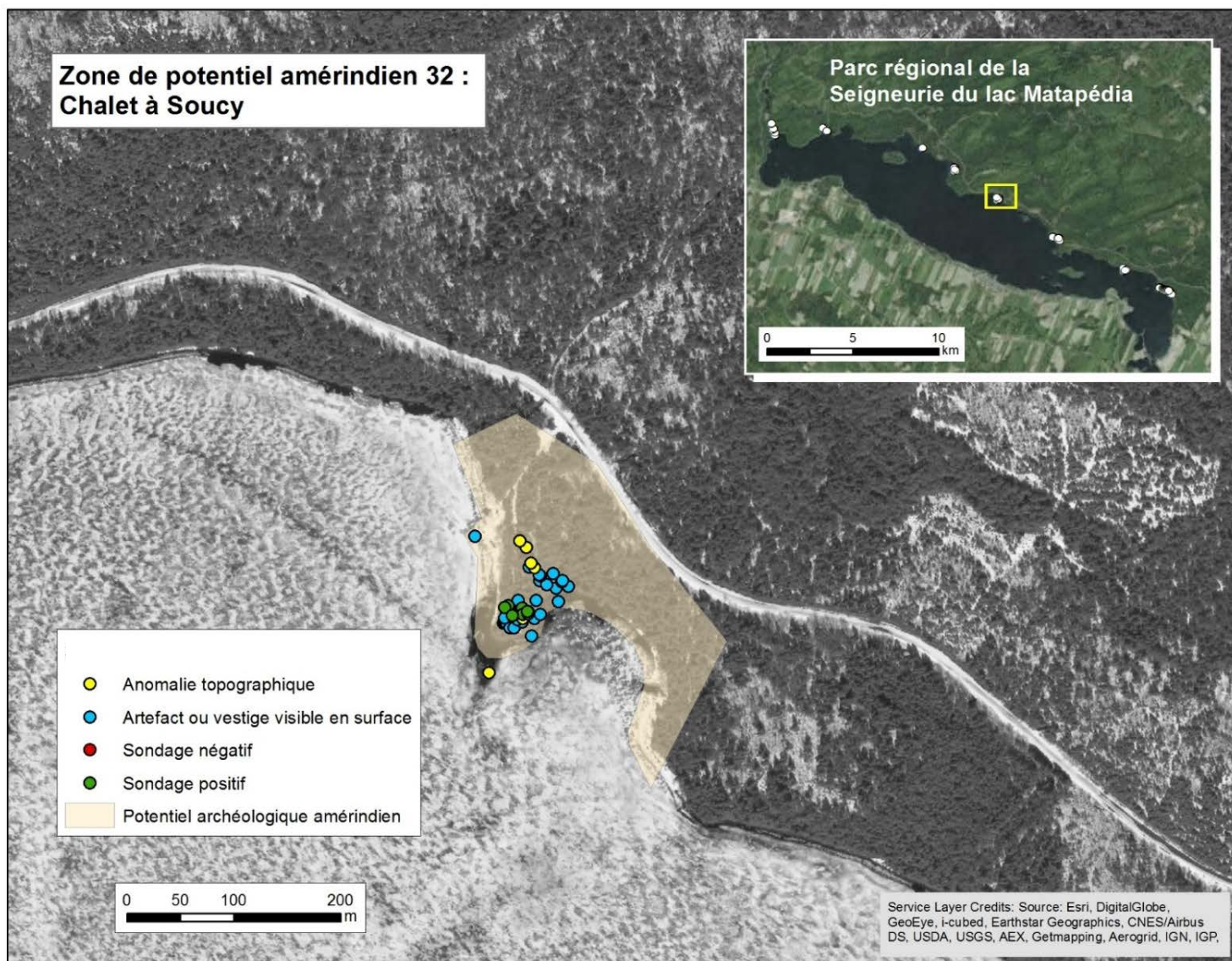


Figure 7. Localisation des anomalies topographiques, des artefacts ou vestiges visibles en surface et des sondages réalisés dans la zone de potentiel 32, le secteur du Chalet à Soucy (M.-A. Roy).

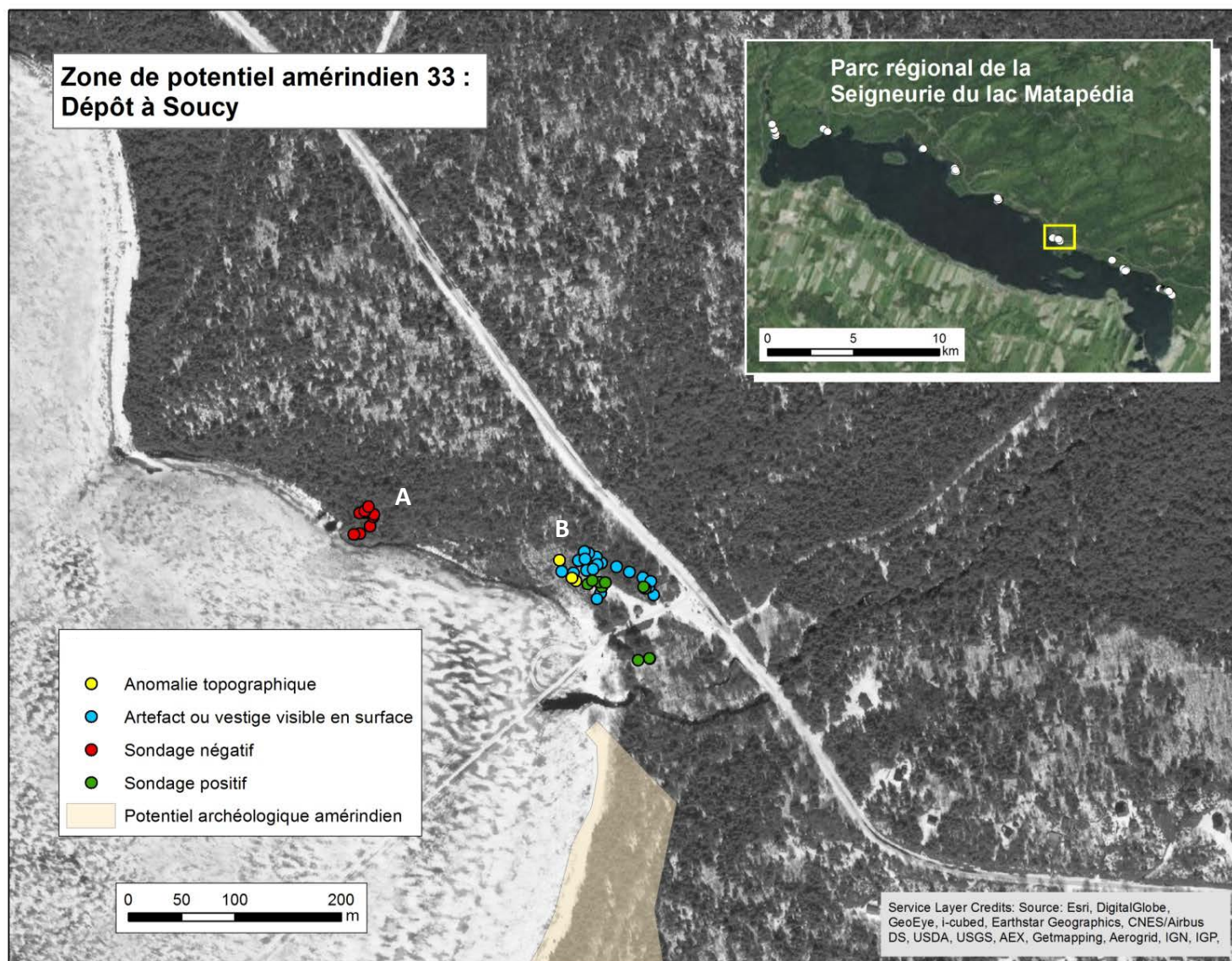


Figure 8. Localisation des anomalies topographiques, des artefacts ou vestiges visibles en surface et des sondages réalisés dans la zone de potentiel 33, le secteur du Dépôt à Soucy (M.-A. Roy).

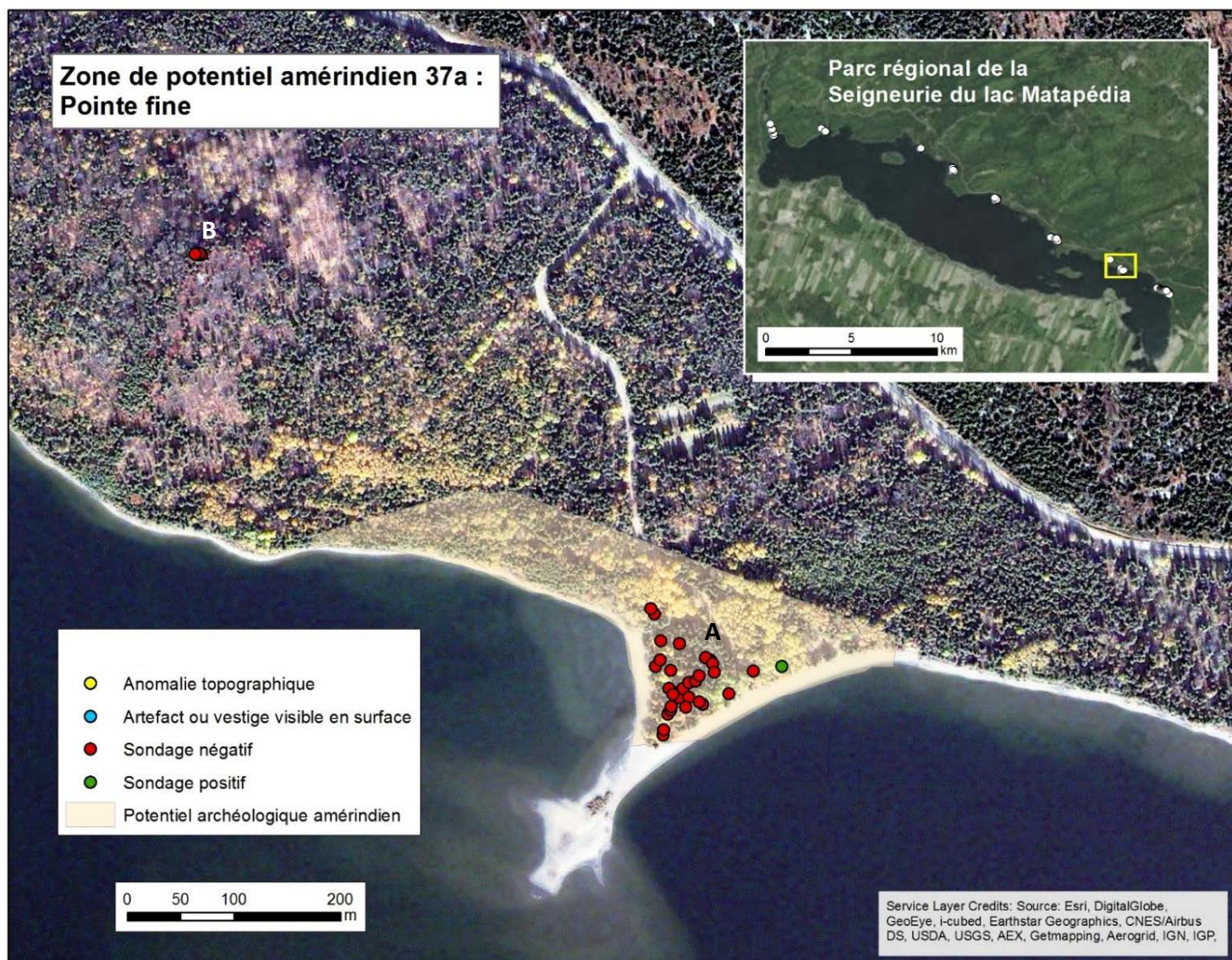


Figure 9. Localisation des anomalies topographiques, des artefacts ou vestiges visibles en surface et des sondages réalisés dans la zone de potentiel 37a, le secteur de la pointe Fine et du Promontoire (M.-A. Roy).

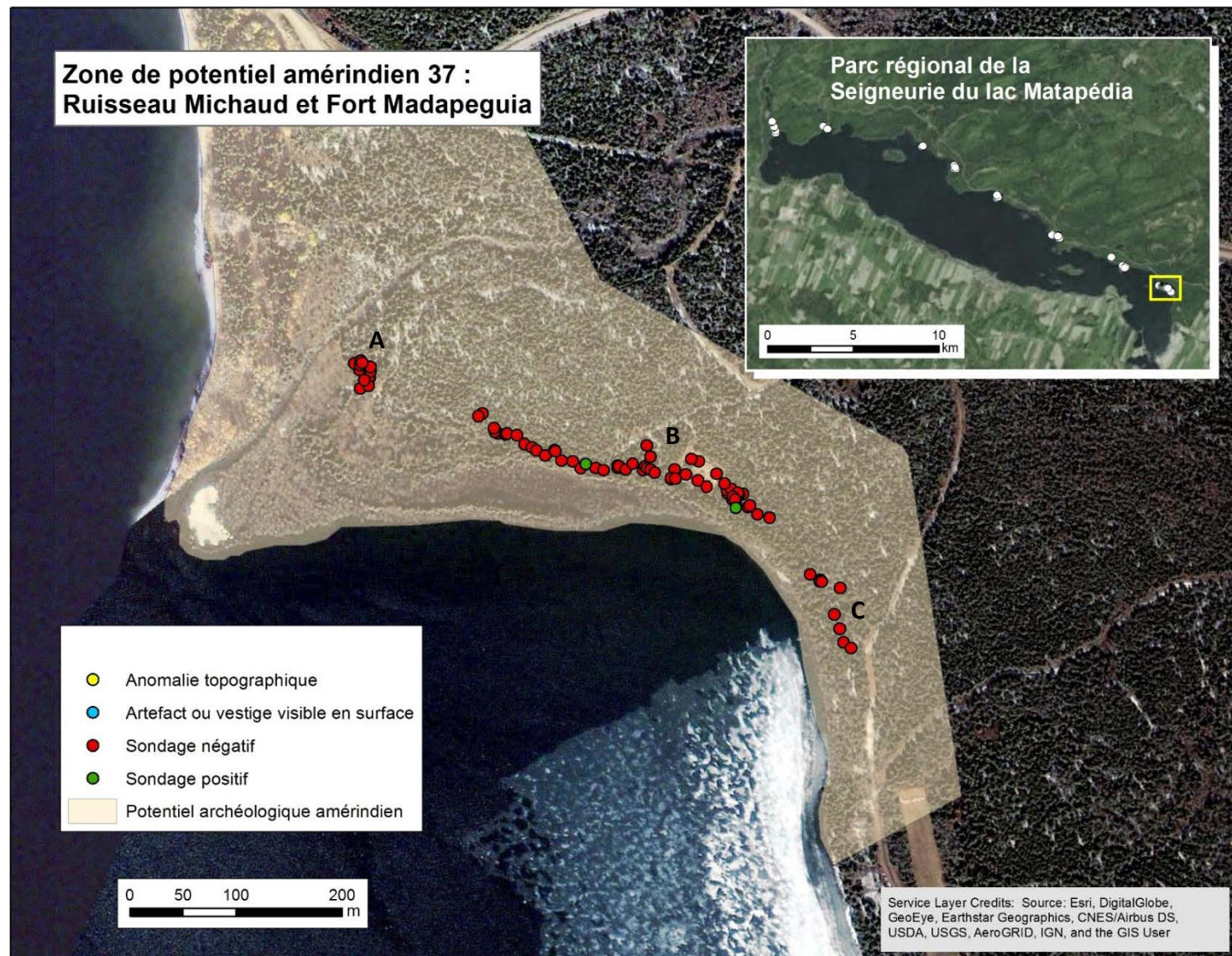


Figure 10. Localisation des anomalies topographiques, des artefacts ou vestiges visibles en surface et des sondages réalisés dans la zone de potentiel 37, le secteur du ruisseau Michaud et du Fort Madapeguia (M.-A. Roy).

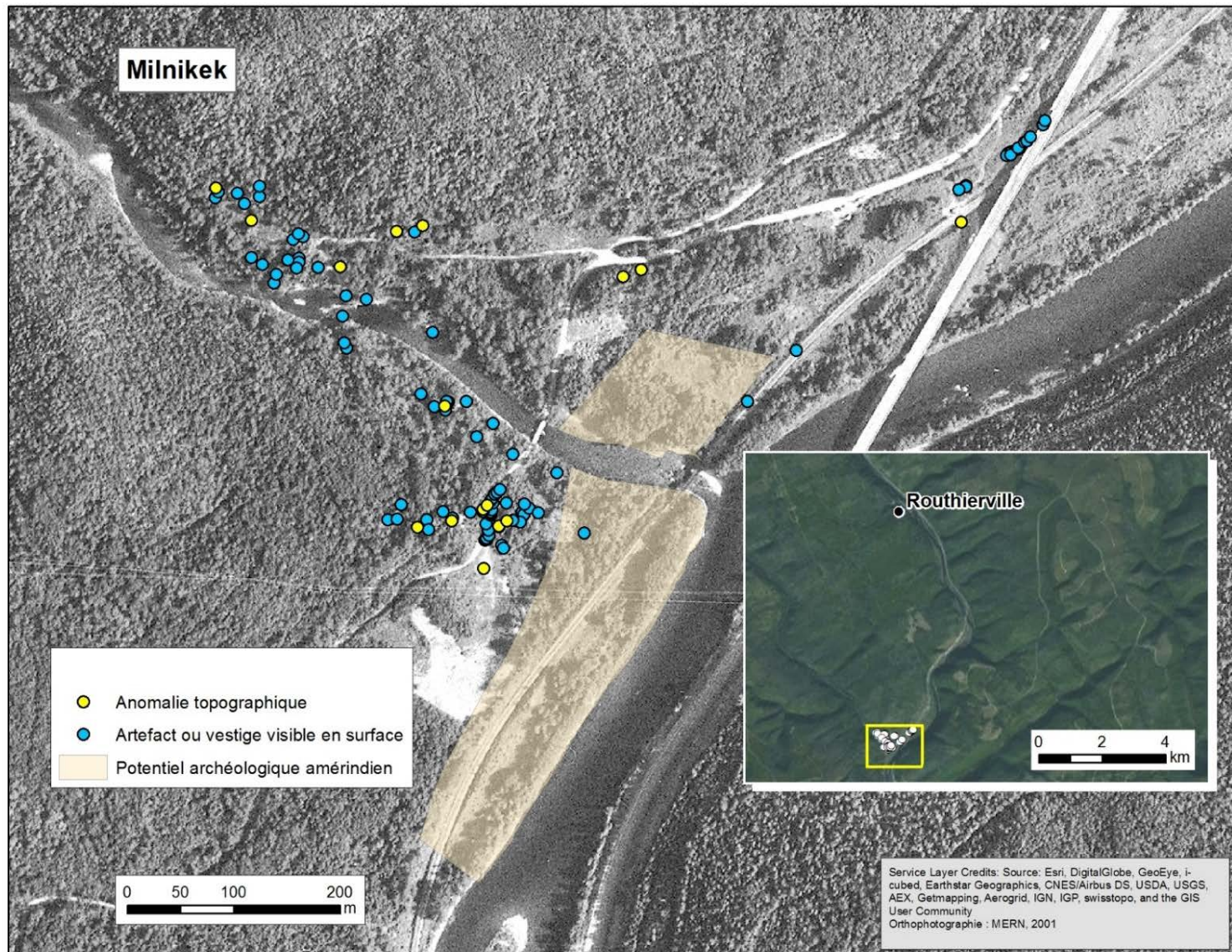


Figure 11. Localisation des anomalies topographiques et des artefacts ou vestiges visibles en surface à Milnikek (M.-A. Roy)

### **3.2. Validation du potentiel archéologique amérindien**

La matinée du lundi 10 août a été consacrée en partie à une rencontre de travail avec le représentant de la MRC, M. Pascal St-Amand, agent de développement culturel, ainsi qu'avec un employé du Parc régional de la Seigneurie, M. Thierry Avit.

La première semaine a ensuite été consacrée à l'exploration du potentiel archéologique amérindien du Parc régional de la Seigneurie-du-Lac-Matapédia, dans les zones identifiées sur une carte de potentiel d'occupation amérindienne établie par la MRC à partir de l'étude de Ruralys (2014) (Figure 2). Les zones de fort potentiel situées à proximité du lac et accessibles ont été visitées en priorité. Dans chacun de ces secteurs, le terrain a été exploré à la recherche de terrasses sableuses bien drainées et propices à une occupation amérindienne. Les secteurs ainsi identifiés ont ensuite fait l'objet d'un échantillonnage, sous la direction de l'archéologue préhistorien, par des sondages manuels. Ouverts à la pelle et fouillés à la truelle, ces sondages (40 × 40 cm ou 50 × 50 cm, agrandis au besoin) devaient permettre de vérifier la présence d'indices d'une occupation amérindienne telle que des structures (foyers, trous de piquet ou de poteau, etc.), des sols anciens, des artefacts, des restes fauniques, des charbons, des traces de rubéfiations, etc. Dans chaque secteur échantillonné, une coupe stratigraphique représentative a été relevée (Annexe 3) et photographiée (voir le catalogue de photos à l'Annexe 5).

#### *Zone de potentiel 25 : le secteur des sentiers Les Explorateurs*

Cette zone de potentiel (Figure 3) est constituée de dépôts meubles lacustres et glaciolacustres, elle borde une baie, elle est traversée par une rivière et compte des portages connus : pour ces raisons, l'étude de potentiel fait état d'un potentiel archéologique « fort » (Ruralys 2014, p. 107). Elle a en outre l'intérêt d'être située en tête de lac.

Quatre secteurs ont fait l'objet d'un échantillonnage. Bien que l'embouchure du ruisseau soit inclus dans la zone de potentiel, les sondages ont révélé un milieu mal drainé et peu propice à l'établissement d'un campement (secteur A). Ce secteur a manifestement fait l'objet de coupes forestières (voir la section 3.3). On y a relevé la position de deux artefacts contemporains, un bidon d'huile (de scie à chaîne?) et un thermos. 7 sondages ont été ouverts dans ce secteur, tous négatifs. L'équipe s'est déplacée ensuite vers l'amont et vers des surfaces mieux drainées (secteurs B et C), jusqu'à une terrasse à la confluence de trois ruisseaux (secteur D). Les 23 sondages réalisés dans ces trois secteurs ont tous été négatifs.

#### *Zone de potentiel 26 : la baie de Charlie*

Le potentiel archéologique de cette zone (Figure 4) est qualifié de « fort » dans l'étude de potentiel (Ruralys 2014, 107), en raison notamment de ses dépôts meubles lacustres et glaciolacustres, de la baie, de la présence d'une rivière, ainsi que d'une pointe s'avance dans la baie et la divise en deux parties. La partie ouest de la baie a été sondée en premier (secteur A).



Des pierres rubéfiées ont été observées à la surface d'une terrasse bien drainée aménagée en aire de jeu, mais les 24 sondages menés dans ce secteur ont pourtant été négatifs. On a relevé la position d'artefacts contemporains dans la forêt, une bouteille de verre et une boîte de conserve. La pointe a également été sondée le lendemain (secteur B), mais les 10 sondages réalisés dans ce secteur ont aussi été négatifs.

#### *Zone de potentiel 30 : l'embouchure de la rivière Sableuse ou Matane*

D'après l'étude de potentiel de Ruralys (2014, p. 107), des dépôts de surface lacustres, glacio-lacustres et fluviaux anciens, la présence d'une rivière relativement importante et celle d'une pointe confèrent à cette zone (Figure 5) un potentiel archéologique « fort ». La rivière Sableuse s'appelait autrefois rivière Matane (Commission de toponymie du Québec, 2016) et elle est encore parfois désignée sous ce nom (voir p. ex. la Figure 2). Elle donne accès au lac Towago, puis au lac du Portage, à partir desquels on peut rejoindre le bassin de la rivière Matane qui se déverse dans le Saint-Laurent.

L'équipe a exploré l'embouchure de la rivière, mais les surfaces y sont mal drainées. Une petite terrasse donne sur la baie à l'opposé de l'embouchure, mais les 9 sondages qui y ont été menés ont tous été négatifs. La baie laisse cependant voir des vestiges qui pourraient être associés à l'exploitation forestière, notamment des amas de pierres dans le lac et les vestiges en bois d'un quai (voir aussi la section 3.3).

#### *Zone de potentiel 31 : la baie à Zénon*

Le potentiel archéologique de cette zone (Figure 6) est qualifié de « fort » dans l'étude de potentiel (Ruralys 2014, 107) en raison de ses dépôts de surface lacustres et glacio-lacustres, de la présence d'une rivière et d'une baie, ainsi que pour la pointe qui s'avance dans le lac. Cette zone était caractérisée par la présence de plusieurs sentiers forestiers et d'une surface de sol très accidentée, vestige de l'exploitation forestière.

L'équipe a ouvert 33 sondages de part et d'autre du ruisseau. Tous ont été négatifs, à la seule exception du sondage MAT31-1Q, localisé dans une dépression sur la rive gauche (secteur A), qui a livré des artefacts historiques (verre de bouteille, métal, etc.). Une anomalie topographique comparable a été repérée sur la rive droite du ruisseau (secteur B) et un tesson de céramique historique a été trouvé sur la plage. L'exploration du secteur A s'est poursuivie dans la deuxième semaine à la recherche d'autres indices d'une présence d'époque historique : 11 sondages ont été ouverts autour du sondage positif MAT31-1Q, en amont et vers des terrasses plus hautes, mais aucun n'a livré d'indice d'une occupation préhistorique (voir aussi la section 3.3).

### *Zone de potentiel 32 : l'Ancien Chalet à Soucy*

Le potentiel de cette zone (Figure 7), occupée au XX<sup>e</sup> siècle, a été qualifié de « moyen » par Ruralys (2014 : 107). Les secteurs les plus prometteurs, notamment la pointe, ayant été très remaniés par l'exploitation forestière, une occupation du XX<sup>e</sup> siècle et des aménagements récents, cette zone n'a pas été sondée lors de la première semaine. L'équipe y est cependant retournée dans la deuxième semaine pour évaluer son potentiel archéologique euro-canadien (voir la section 3.3).

### *Zone de potentiel 33 : le Dépôt à Soucy et le lac Caché*

L'étude de potentiel qualifie le potentiel de cette zone (Figure 8) de « fort », notamment à cause de sa pointe qui s'avance dans le lac (Ruralys 2014 : 107). Des îles qui se trouvent presque en face de la pointe sont des marqueurs forts dans le paysage. En outre, deux affleurements de basalte, de part et d'autre de la baie, se distinguent dans le paysage par l'absence de végétation, la couleur de la roche et leur légère saillie par rapport à la ligne du rivage.

Dans la zone de potentiel définie par Ruralys, les secteurs propices à une occupation amérindienne se sont révélés très perturbés par des chablis, qui semblent avoir été causés par une forte tempête de vent, et très encombrés par des troncs. L'examen des chablis et de la surface du sol, là où elle était accessible, n'a livré aucun indice d'une présence préhistorique et l'on n'a pas jugé utile de mener des sondages.

La terrasse située derrière l'affleurement rocheux au nord de la baie a été explorée, bien qu'elle soit située à l'extérieur du périmètre défini par Ruralys (secteur A). Ce secteur n'a pas été affecté par les chablis, mais il n'offre pas un bon drainage et les 10 sondages qui y ont été menés ont été négatifs. L'équipe a exploré les vestiges associés au dépôt lui-même (secteur B) durant la deuxième semaine (voir la section 3.3).

### *Zone de potentiel 37a : la pointe Fine et le Promontoire*

Le potentiel archéologique amérindien de la pointe Fine (Figure 9) a été estimé « moyen » par Ruralys (2014, p. 107). Son intérêt tient avant tout à sa pointe sableuse, qui s'avance dans le lac et se distingue bien dans le paysage (secteur A). Elle offre de belles plages de part et d'autre, l'une exposée au vent et l'autre à l'abri. C'est aujourd'hui un lieu très fréquenté, accessible en automobile et par bateau. Un sondage à la pelle a livré un petit fragment de quartzite qui ne semble pas être un éclat mais qui a néanmoins été conservé ; un autre, dans un espace ouvert près d'une plage très fréquentée, a livré un os portant des traces de boucherie d'époque historique. Cependant, sur un total de 32 sondages, aucun n'a livré d'indice d'une occupation amérindienne.

On a signalé à l'équipe une tradition selon laquelle des sépultures amérindiennes à la pointe Fine seraient signalées par des « monticules », mais aucune anomalie topographique

d'origine anthropique n'a été repérée. Quatre sondages ouverts au sommet d'un promontoire auquel mène un sentier ont été négatifs (secteur B).

*Zone de potentiel 37 : le secteur du ruisseau Michaud et du Fort Madapeguia*

Ruralys (2014, p. 107) estime que le potentiel archéologique amérindien de cette zone (Figure 10) est « fort » en raison du ruisseau Michaud, de la pointe qui s'avance dans le lac et des dépôts de surface fluviatiles anciens. L'exploration a suivi le bord d'une terrasse bien drainée qui semble en effet très propice à une occupation humaine, amérindienne comme euro-canadienne. Cependant, les 15 sondages qui ont été ouverts à proximité du ruisseau Michaud (secteur A) ont tous été négatifs.

Après avoir exploré le secteur du ruisseau, l'équipe s'est déplacée vers le Sud-Est où la terrasse, plus haute et mieux drainée, surplombe une baie (secteurs B et C). On trouve dans le secteur B le Fort Matapeguia, un ensemble de structures qui appartiennent au camp de vacances Sable Chaud, ainsi que son chemin d'accès. Le « fort » lui-même est une palissade de bois de plan carré et munie de tours de guet ; dans son périmètre sont réparties des structures de bois dont des plateformes pour des tentes collectives et un grand foyer central. D'autres structures et des vestiges repérés dans la forêt peuvent être associés au Fort et aux activités du camp de vacances, notamment des sentiers, un site de campement (celui des assaillants?), un escalier qui mène à la plage, etc. Un sondage à l'ouest du Fort, non loin des vestiges d'une latrine, a livré quelques fragments de vitre dans une fosse (non conservés).



Figure 12. La porte nord-est du Fort Madapeguia.

À l'Est du Fort, un sondage sur une petite terrasse en contrehaut a livré trois fragments jointifs d'une de pointe de projectile (voir la section 3.4). Il n'a cependant aucun autre artefact, bien que ses remblais aient été tous tamisés, ni aucun autre indice d'une occupation amérindienne tel qu'un niveau de sol enfoui, une structure, un foyer, des charbons ou des traces de feu, des artefacts ou écofacts, etc. Malgré la densité des sondages ouverts à la suite de cette découverte, les 68 autres sondages ouverts dans les secteurs B et C ont tous été négatifs.

### **3.3. Validation du potentiel d'époque historique**

La deuxième semaine a été consacrée au potentiel archéologique euro-canadien du Parc régional de la Seigneurie-du-Lac-Matapédia et du site de Milnikek. L'exploration des sites présentant un potentiel archéologique euro-canadien a d'abord pris la forme de battues. Les secteurs les plus prometteurs ont été parcourus par des équipes qui ont systématiquement documenté et géo-référencé les vestiges en surface et en élévation, les anomalies topographiques potentiellement anthropiques et les concentrations d'artefacts. Des sondages géo-référencés ont été implantés en fonction du terrain pour explorer la stratigraphie ou pour répondre à des questions ponctuelles (Annexe 1). Au moins une coupe stratigraphique a été relevée (Annexe 2) et photographiée (Annexe 5) dans chaque secteur ainsi échantillonné ; certains sondages ont fait l'objet d'une documentation stratigraphique plus détaillée (Annexe 3).

#### *Le Parc de la Seigneurie-du-Lac-Matapédia*

Dans le Parc régional de la Seigneurie-du-Lac-Matapédia, les efforts se sont concentrés sur deux sites qui présentent des vestiges architecturaux accessibles : celui du Chalet à Soucy (zone de potentiel 32) et celui du Dépôt à Soucy (zone de potentiel 33, secteur B). L'exploration du site du Chalet à Soucy a livré 42 points géo-référencés, et 9 sondages ont été ouverts, tous positifs (Figure 7, Annexes 1 à 3). L'exploration du secteur du Dépôt a livré 22 points géo-référencés et 9 sondages y ont été ouverts, tous positifs (Figure 7, Annexes 1 à 3).

Le site de la baie à Zénon a été visité de nouveau pour élargir le sondage MAT31-1Q qui avait livré des vestiges historiques (zone de potentiel 31, secteur A) et pour densifier l'échantillonnage du site à la recherche d'autres témoins d'une occupation d'époque historique (voir aussi la section 3.2). L'extension 1AJ du sondage positif 1Q a livré d'autres fragments de bouteille et des objets métalliques, mais les 10 autres sondages ouverts à cette occasion ont tous été négatifs (Annexes 2 à 4).

#### *Milnikek*

Deux journées ont été consacrées à l'exploration du site du hameau de Milnikek (zone de potentiel H33). Le site s'étend sur les deux rives de la rivière du même nom, un peu en aval de

sa confluence avec la rivière Matapédia. L'étude de Ruralys a déterminé une zone de potentiel amérindien à l'embouchure et le long de la Matapédia (Figure 11). Il n'est pas exclu, en effet, que des vestiges d'une éventuelle occupation amérindienne subsistent dans ce secteur malgré les remaniements causés par la construction du chemin de fer, celle d'un pont ferroviaire et d'un pont routier sur la Milnikek, l'aménagement et l'occupation du hameau, le chantier du pont de la route 132 et par la rivière elle-même. Cependant, l'intérêt de la MRC pour ce site tenant davantage aux vestiges du hameau et à leur éventuelle mise en valeur, les deux journées ont été entièrement consacrées à l'exploration d'un potentiel archéologique euro-canadien que l'étude de potentiel estimait très prometteur.

Devant l'étendue du site, on a favorisé une approche extensive avec des battues le long des rives de la rivière Milnikek, le long des bords des terrasses et des chemins, ainsi que dans certains secteurs ciblés correspondant aux structures identifiées sur une représentation graphique du hameau (Figure 21). Cet exercice a permis de prendre la mesure du site ; après deux journées consacrées chacune à une rive de la rivière Milnikek, il avait livré un total de 107 points géo-référencés (Annexe 1). Il n'a pas été jugé nécessaire d'ouvrir des sondages, mais quelques artefacts diagnostiques ont été recueillis en surface dans des dépotoirs (Annexe 4).

### 3.4. Résultats

Cinq avis de découvertes ont été transmis au MCCQ pendant la mission. Le ministère n'a pas jugé opportun d'attribuer des codes Borden à ces découvertes sur la foi des données alors disponibles<sup>3</sup> mais après réception de ce rapport, chacune sera signalée par une zone d'information archéologique (ZIA) dans le système d'information géographique ministériel et dans l'Inventaire des sites archéologiques du Québec (ISAQ).

#### *La présence amérindienne dans le Parc régional*

Le premier avis de découverte concerne un artefact préhistorique découvert dans la zone de potentiel amérindien 37, sur une petite terrasse à l'est du Fort Madapeguia (Figure 10, secteur B). Un sondage de 1 × 1 m a livré trois fragments jointifs d'une belle pointe de projectile en chert (Figure 13). Selon l'archéologue préhistorien associé au projet, Michel Plourde, la pointe pourrait être associée à des types connus dans les Provinces maritimes et datée du Sylvicole moyen tardif ou supérieur, vers 1000 AA. Ce sondage n'a cependant livré aucun autre indice d'une occupation amérindienne et malgré leur relative densité, tous les autres sondages sur cette terrasse ont été négatifs. Cet artefact témoigne d'une présence amérindienne dans le territoire du Parc, mais c'est un objet isolé qui, à lui seul, ne rend pas compte d'une occupation du site.

Aucune autre zone explorée dans le Parc régional n'a livré d'indice sûr d'une présence amérindienne.



Figure 13. Pointe de projectile trouvée dans le sondage MAT37-1BI.

---

<sup>3</sup> Le code Borden est l'identifiant d'un site qualifié d'archéologique ; il est composé des coordonnées d'un quadrilatère de 2 degrés de latitude par 4 degrés de longitude suivies d'un numéro d'ordre. La décision de désigner une découverte comme un site archéologique et de lui attribuer un code Borden appartient au MCCQ.

### *L'Ancien Chalet à Soucy et le Dépôt à Soucy*

Deux des découvertes signalées au MCCQ concernent des sites euro-canadiens situés dans les limites du Parc régional de la Seigneurie-du-Lac-Matapédia : le site de l'Ancien Chalet à Soucy et celui du Dépôt à Soucy. Ces deux sites sont associés à l'homme d'affaires Eustache Soucy, dont la compagnie a été la dernière à exploiter la forêt de la Seigneurie, de 1956 à 1964, avant que le Gouvernement du Québec ne s'en porte acquéreur.

Le site de l'Ancien Chalet à Soucy se déploie en bordure du lac, autour d'une petite pointe située dans la zone de potentiel amérindien 33 (Figure 7). La pointe est dominée par une cheminée de maçonnerie, assise sur une fondation de pierre et de béton (4 × 8 pi.) et conservée sur toute sa hauteur (Figure 14). Le parement est porte l'empreinte d'un toit en pente. L'âtre, d'une largeur de 4 pieds, est ouvert de ce côté, au-dessus des fers à béton de la dalle qui formait un plancher surhaussé ; des poutres de 8 po. sont encastrées sous la dalle, de part et d'autre. L'emprise du chalet lui-même semble être en grande partie sous le remblai d'un chemin d'accès ; ni son plan, ni ses dimensions ne sont lisibles en surface. Les artefacts en surface à proximité de la cheminée sont constitués essentiellement d'éléments architecturaux (tôle de toiture, vitre, composantes électriques, clous) et de quelques fragments de verre fondu qui pourraient témoigner de l'incendie qui aurait détruit le chalet. Les vestiges architecturaux associés à l'Ancien Chalet comprennent aussi des restes de quais sur les flancs nord et sud de la pointe et, à l'est du chalet, un puits de maçonnerie coiffée de mortier (dia. ext. 8 pi.) qui a conservé la structure de bois de son treuil (Figure 15). Plusieurs anomalies topographiques ont en outre été repérées, mais certaines pourraient être postérieures à la destruction du Chalet.

Tous les sondages destinés à évaluer le potentiel archéologique euro-canadien ont été positifs ; aucun, cependant, n'a livré de matériel stratifié qui pourrait être associé à une phase d'occupation. Les assemblages sont constitués essentiellement d'éléments architecturaux ; les artefacts qui pourraient être associés à l'occupation du Chalet se limitent à quelques rares éclats de céramique, et l'on n'a pas repéré de dépotoir. Le site semble donc avoir été très remanié depuis l'incendie, y compris ses sous-bois.



Figure 14. La cheminée de l'Ancien Chalet à Soucy :  
a) parements ouest, b) sud et c) est ; d) le foyer ; e) détail de la fondation de béton.





Figure 15. Le puits de l'Ancien Chalet à Soucy.

Le site du Dépôt à Soucy, situé à une centaine de mètres au nord de la zone de potentiel amérindien 33 (Figure 8), a été occupé par un camp de base pour l'exploitation de la forêt de la Seigneurie. On y trouve la grande dalle de béton du « dépôt » lui-même, partiellement enfouie (34 × 36 pi., Figure 16). Elle montre plusieurs phases d'agrandissement qui correspondent à autant d'états du bâtiment. Quelques détails ont été partiellement dégagés dont, au nord, un puits pour la réparation des véhicules ; une partie de sa rampe d'accès au nord-est ; des mortaises dans lesquelles étaient encastrées des montants de portes et des éléments de structure du bâtiment ; des seuils extérieurs au sud. La dalle étant aujourd'hui au départ d'un sentier, son secteur a été nettoyé et il est entretenu, mais les sondages ouverts dans ce secteur ont tous été positifs. Les artefacts comprennent des éléments d'architecture, des pièces de véhicules ou de machinerie, un peigne, ainsi qu'un piquet de tente (Figure 17).

À l'est, au-delà d'un fossé, une battue dans le boisé a livré un riche dépotoir de pièces de véhicule et de machinerie dispersées, avec des contenants divers, sur une grande surface (Figure 18). Ce secteur comprend aussi des déchets domestiques (boîtes de conserve et contenants de verre) concentrés autour d'un foyer où certains ont été incinérés.

Au sud du Dépôt et au-delà du bloc sanitaire actuel, les vestiges d'un petit bâtiment ont été repérés dans un boisé humide. Ils se présentent comme une dépression coffrée de rondins et de plan carré (12' × 12', Figure 19). Ces vestiges, partiellement immergés, sont associés à une



Figure 16. La dalle de béton du Dépôt à Soucy

concentration d'éléments architecturaux sur leur flanc sud, notamment du papier goudronné, de la tôle et une ampoule électrique, peut-être la couche de destruction d'une couverture. La dépression contient un dépotoir de boîtes de conserve.



Figure 17. Sélection d'artefacts associés à la dalle de béton du Dépôt à Soucy.



Figure 18. Pièces de véhicules ou de machinerie dans un chablis, à l'est du Dépôt à Soucy.



Figure 19. Vestiges inondés d'un petit bâtiment, au sud du Dépôt à Soucy.

### *Autres vestiges d'époque historique dans le Parc régional*

La quatrième découverte signalée au MCCQ concerne les vestiges d'époque historiques de l'arrière-plage de la baie de Zénon (zone de potentiel amérindien 31, Figure 6). Un sondage positif (MAT31-1Q, élargi en MAT-1AJ) a livré un alignement de pierres, un objet de tôle rivetée, des clous de fer et des fragments d'une bouteille de gin (Figure 20). Tous les autres sondages de ce secteur ont été négatifs, malgré leur densité relative autour du sondage positif. Il s'agit vraisemblablement d'un abri temporaire, peut-être associé à la chasse.



Figure 20. Goulot de bouteille de gin provenant de l'arrière-plage de la baie de Zénon.

On rencontre par ailleurs fréquemment des déchets associés à l'utilisation actuelle du territoire à des fins récréatives. L'empreinte de l'exploitation forestière est encore plus omniprésente dans le territoire du Parc régional.

Le peuplement relativement jeune de la forêt et des surfaces de sol bouleversées sont des rappels de l'exploitation intensive dont elle a fait l'objet de 1908 à 1964. Les témoins comprennent aussi des aménagements (sentiers et chemins forestiers, quais, etc.), des artefacts (contenants divers, notamment d'huile) et même des restes de la ressource elle-même, telles que les pitounes laissées le long des chemins forestiers et les restes d'une pile de billots de cèdre abandonnés près du Chalet à Soucy.

### *Le hameau de Milnikek*

Le cinquième avis de découverte au MCCQ concerne les vestiges de Milnikek (zone de potentiel H33, Figure 11). Le hameau s'est développé à l'embouchure de la rivière du même nom, autour d'un moulin de sciage bâti vers 1913 par la *Matapedia Lumber Company* des frères Calix et Théophile Champoux. Il comptait près de 300 habitants et une quarantaine de maisons dans les années 1920 ; il était pourvu d'une gare, d'un bureau de poste, d'un magasin général, d'une chapelle, ainsi que de réseaux d'aqueduc et d'électricité. Un incendie a entraîné la fermeture du moulin, puis le déclin du hameau s'est accentué après une débâcle qui emporta quelques maisons en 1934. Les derniers occupants ont quitté le site dans les années 1950 (Bonin et Pelletier 1998). Une représentation existante du hameau en perspective cavalière, bien qu'imprécise, permet d'en identifier les principales composantes (Figure 21).

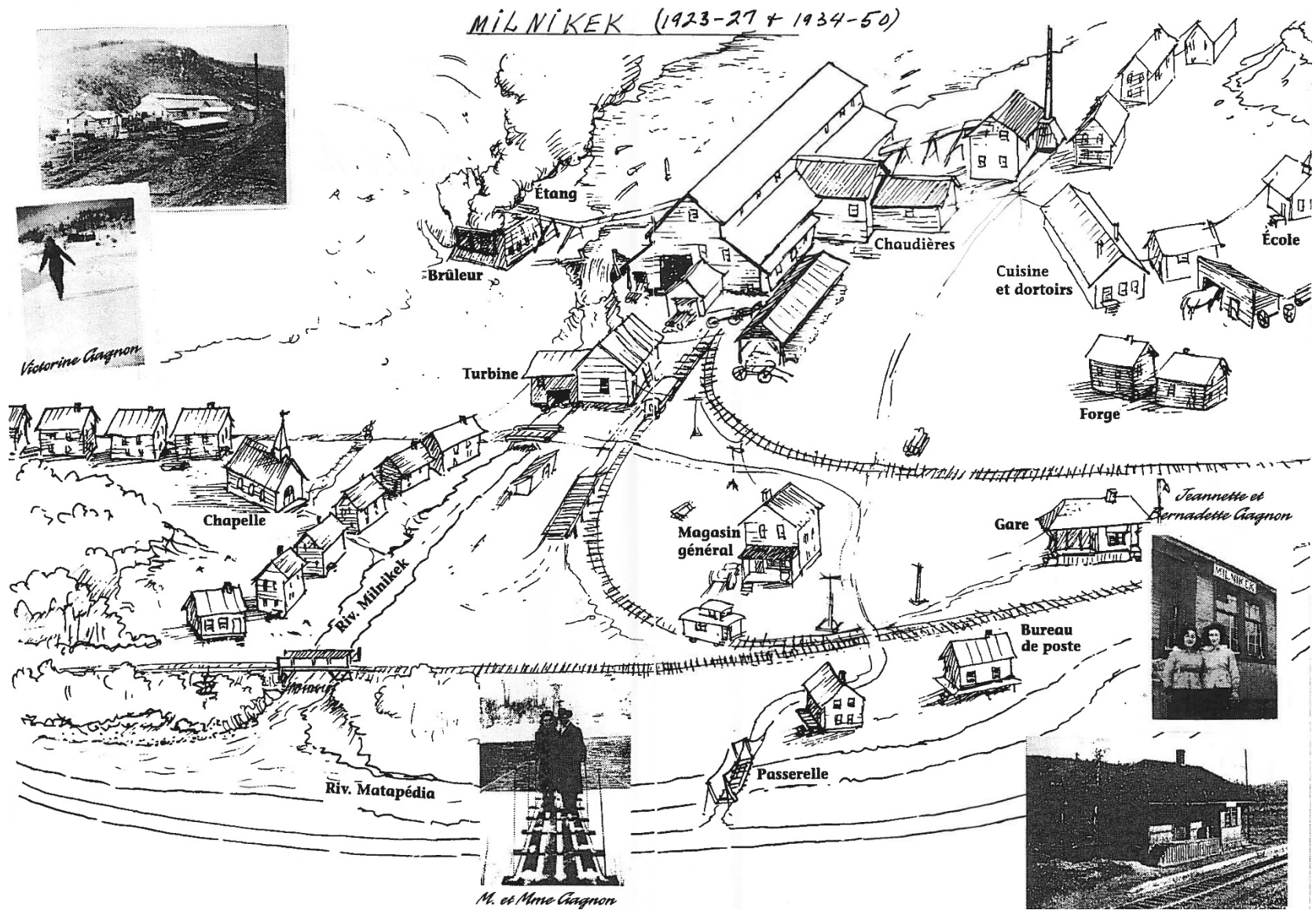


Figure 21. Perspective cavalière restituée du hameau de Milniké (G. Champoux, reproduit dans Bonin et Pelletier 1998).

La rive gauche de la Milnikek est desservie par le chemin du 2<sup>e</sup> rang Matalik. Ce dernier est accessible aujourd'hui par la route 132, dont le tracé emprunte la rive droite de la Matapédia jusqu'à un pont qui la traverse en amont de la confluence (Figure 11). La partie est du site a été remaniée par la construction de ce tronçon de la route 132 (l'ancienne route 6 suivait la rive gauche de la Matapédia), du viaduc qui enjambe la voie ferrée et du pont sur la Matapédia ; ces travaux ont produit d'importants volumes de pierraille qui couvrent aujourd'hui une aire importante de ce secteur. Au croisement entre le chemin d'accès et le chemin du 2<sup>e</sup> Rang Matalik, le visiteur est accueilli par un affut et par de nombreux panneaux qui signalent la présence de chasseurs. Au sud, l'emprise de la voie d'accès du pont qui enjambait encore récemment la rivière Milnikek est fermée par des rochers ; un monument y rappelle la mémoire d'un pêcheur intoxiqué accidentellement dans son véhicule en 2011, (voir la documentation photographique jointe au rapport). Une terrasse est entretenue entre le pont de chemin de fer et l'emplacement du pont disparu. Les vestiges visibles dans la partie est du site comprennent l'empierrement et quelques éléments de ce pont ainsi que des restes de clôture, mais les battues n'ont pas permis de reconnaître l'implantation des bâtiments de ce secteur (gare, bureau de poste, magasin général, Figure 21).



Figure 22. La cheminée des chaudières de la scierie de Milnikek.

En revanche, le site présente en amont des vestiges remarquablement bien préservés de la scierie et de ses dépendances. La grande cheminée des chaudières est conservée sur toute sa hauteur en bordure du chemin du 2<sup>e</sup> rang Matalik (Figure 22). Entre ce dernier et la rivière, les fondations des chaudières, des turbines et des bâtiments qui les abritaient sont conservées dans la forêt et elles comportent encore des pièces de bois incendiées (Figure 23). Les vestiges de la scierie comprennent aussi d'autres fondations de pierre et de béton, des pièces de bois et divers objets de fer, dont des éléments de machinerie. Les restes du barrage et d'autres structures sont bien visibles sur les rives et dans le lit de la rivière (Figure 25). Au nord du chemin, sur une terrasse en contrehaut, des anomalies topographiques associés à des objets en surface permettent de localiser plusieurs bâtiments malgré l'absence apparente de vestiges architecturaux en surface.



Figure 23. Fondations des turbines de la scierie de Milnikek (détail).

Le pont routier sur la rivière Milnikek n'existant plus, la rive droite est moins accessible que la rive gauche et elle semble beaucoup moins fréquentée par les chasseurs. Une aire de la partie est du site est couverte de pierraille, comme sur la rive gauche, mais ailleurs les vestiges, les dépotoirs et la topographie sont remarquablement bien conservés. Face à la scierie, dans l'axe du barrage, la façade d'un grand brûleur s'élève dans la forêt devant une échancrure pratiquée dans la falaise (Figure 24). Ce grand mur comporte sept ouvertures pour la vidange du

brûleur, dont l'une est encore fermée de l'intérieur par son panneau de bois coulissant. Son béton était renforcé de rails et de chaînes de fer, partiellement exposés sur la face intérieure où une grande partie a été découpée et récupérée ; les trois autres murs ont peut-être été aussi démantelés pour permettre la récupération du fer. Le bâtiment a cependant conservé ses fondations et sa dalle de béton et son implantation est bien lisible. Parmi les nombreux éléments de machinerie dispersés entre le brûleur et la rivière, à proximité, on mentionnera deux objets moulés en fer (suspensions à lames?) au nom de la *Matapédia Lumber Co.*



Figure 24. Façade du brûleur de la scierie de Milnikek.

En aval, l'emprise des chemins, l'implantation d'une rangée de maisons parallèle à la Matapédia et celle de la chapelle (Figure 21) sont lisibles en surface dans le boisé ; un petit dépotoir a été repéré plus loin vers le sud, en bordure du chemin. À l'ouest de la rangée de maisons, un vaste dépotoir s'étend sur toute la hauteur de la pente et jusqu'au bord de la terrasse en contrehaut (Figure 26). Les artefacts en surface comprennent des boîtes de conserve et des contenants de verre, des os animaux découpés et de la vaisselle de table qui témoignent d'une occupation domestique jusque dans les années 1940. D'autres dépotoirs ont été identifiés sur une terrasse en contrehaut, dont l'un comprenait des éléments architecturaux et plusieurs contenants de verre datés du milieu des années 1930 qui indiquent une occupation de la terrasse supérieure après la débâcle de 1934.





Figure 25. Vestiges du barrage de la scierie de Milnikek.



Figure 26. Dépotoir domestique à Milnikek.

## 4. Formation

La formation d'étudiants était l'un des objectifs du projet. Les chantiers-écoles d'archéologie forment les étudiants à la fouille mais rarement aux démarches qui la précèdent. L'intervention de l'été 2015 dans la Matapédia a permis à six étudiants, auxiliaires ou stagiaires, d'enrichir leur formation pratique à l'archéologie par une initiation aux méthodes de la prospection et par la validation sur le terrain d'une étude de potentiel. Ils ont appris à explorer le territoire pour reconnaître les environnements favorables à l'implantation humaine, à observer et à détecter les anomalies topographiques, à effectuer des sondages à la pelle, à les documenter et à les géo-référencer, etc. (Figures 27 et 28). Ils ont découvert un territoire, ils ont appris à en apprécier la richesse culturelle et ils ont pu consolider leurs connaissances en partageant leur expérience avec le public (voir la section 5).



Figure 27. Michel Plourde faisant la démonstration aux étudiants d'un sondage à la pelle.

Les retombées pédagogiques du projet se sont prolongées à l'automne 2015, alors que le module de géographie de l'UQAR a choisi la Matapédia pour y tenir ses activités de terrain annuelles du lundi 21 au samedi 26 septembre 2015. Les étudiants débutant leur baccalauréat en géographie ont visité la rive gauche du hameau de Milnikek et le Parc régional de la Seigneurie-du-Lac-Matapédia dans le cadre du cours *Stage 1: Problèmes, méthodes et*

*instruments de la géographie*, sous la responsabilité de Manon Savard et Guillaume Marie. Ils ont été invités, entre autres, à déceler les traces des activités humaines dans le paysage et à apprécier l’empreinte des activités forestières passées sur les paysages actuels. Ils ont aussi collaboré avec les équipes du cours de troisième année *Stage III : Gestion intégrée de l’environnement*; dont l’une avait pour mandat de proposer un projet de mise en valeur de la géo-diversité bio-physique et culturelle du Parc régional de la Seigneurie-du-Lac-Matapédia. Pour leur part, les étudiants de deuxième année du cours *Stage II : Terrain et laboratoire en géographie* se sont intéressés à l’histoire quaternaire de la région, particulièrement à l’évolution des paysages depuis la déglaciation de la transition du Pléistocène-Holocène. L’étude de potentiel archéologique et une brève recherche documentaire leur ont permis de constater que la géomorphologie de la Matapédia reste relativement peu connue, et d’apprécier comment une meilleure connaissance de l’évolution des paysages régionaux permettrait de raffiner l’étude de potentiel et de définir des zones de potentiel plus précises pour chacune période de la préhistoire.



Figure 28. Manon Savard expliquant à des étudiants la stratigraphie d’un podzol.

## 5. Diffusion

Comme la formation d'étudiants, la sensibilisation du public et la diffusion de résultats comptaient parmi les objectifs du projet. Les archéologues ont reçu une journaliste de Radio-Canada le jeudi 13 août sur le site de la Baie de à Zénon (Figure 29). Cette visite a donné lieu à un reportage dans lequel la pointe de projectile trouvée près du Fort Madapeguia tenait une belle place (Bélanger 2015).



Figure 29. Visite d'une équipe de Radio-Canada sur le site de la Baie à Zénon, 13 août 2015.

Le dimanche suivant, 16 août, le public a été invité à rencontrer l'équipe du LAP au camping de Val-Brillant (Figure 30). Les visiteurs ont pu s'informer des travaux en cours auprès des archéologues et des étudiants et partager avec eux leur expérience du territoire. Les enfants ont été invités à s'initier à la fouille archéologique dans une activité de simulation de fouille animée par les étudiants (Figure 31). Précédée par le reportage de Radio-Canada et annoncée à



Figure 30. Rencontre avec le public, Val-Brillant, 16 août 2015.

l'avance à la radio et dans la presse locales (Mantyk 2015, Langlais 2015), la journée a connu un beau succès.

Le jeudi 20 août, l'équipe du LAP a reçu la visite de Pierre Desrosiers, ancien responsable de l'archéologie et de la muséologie au ministère de la Culture récemment retraité. M. Desrosiers était mandaté par le

réseau Archéo-Québec à l'occasion du Mois de l'archéologie pour faire la tournée des chantiers archéologiques québécois et partager son expérience sur Facebook. Il a rencontré les archéologues et étudiants à la brasserie *La Captive* d'Amqui après leur journée de travail. Son compte-rendu a salué les efforts du LAP de concilier la vie familiale et l'archéologie de terrain<sup>4</sup>.

Enfin, Manon Savard a prononcé une conférence publique à la bibliothèque Madeleine-Gagnon d'Amqui, le vendredi 25 septembre 2015, dans le cadre des Journées de la culture. Intitulée *L'archéologie au service du développement durable*, cette conférence a présenté la démarche et le travail de l'archéologue, de l'étude de potentiel à la mise en valeur, dans la perspective d'un développement durable. Les travaux de la mission de l'été 2015 et leurs résultats ont été présentés, de même que des exemples tirés d'autres travaux réalisés dans l'Est-du-Québec par l'équipe du LAP. La conférence a particulièrement souligné le rôle du citoyen dans la préservation des ressources archéologiques.



Figure 31. Simulation de fouille archéologique, Val-Brillant, 16 août 2015.

---

<sup>4</sup> <http://bit.ly/1idbeOX>.

## 6. Discussion et recommandations

### *Le potentiel archéologique amérindien*

La prospection des sites de potentiel amérindien n'a pas donné les résultats attendus : des sites propices à une occupation humaine ont bel et bien été identifiés, mais aucun n'a livré d'indice sûr d'une occupation amérindienne. Ces résultats sont aussi étonnants que l'apparent silence archéologique de la région, car même sans des ressources telles que les carrières de chert du Témiscouata, la configuration de la vallée et le réseau hydrographique de la Matapédia en auraient très certainement fait un axe de circulation important, comme semble le confirmer la toponymie.

Il est vrai que l'exploration était limitée à de petits échantillons du territoire du Parc régional. La tête et l'embouchure du lac Matapédia n'ont pas été explorées parce qu'elles sont susceptibles d'avoir été très remaniées, mais aussi parce qu'elles échappent à la tenure publique, comme d'ailleurs presque tous les lots de la rive droite du lac. Dans les limites du Parc, l'exploration a privilégié les zones les plus accessibles, en partie par souci d'efficacité, en partie aussi parce que d'éventuels sites y auraient été à la fois plus vulnérables et plus propices à l'exploration comme à la mise en valeur. Les zones au nord de la rivière Sableuse ou Matane, moins accessibles, restent ainsi à explorer. Même si elle doit se limiter au territoire du parc régional, une prochaine campagne de prospection devra explorer non seulement les rives du lac, mais aussi les têtes des portages et les portages eux-mêmes, dont certains sont identifiés sur les cartes anciennes (Ruralys, 2014).

Une prochaine campagne devra surtout s'appuyer sur des études de potentiel à une échelle spatiale plus fine, qui tiendront compte des variations locales de la topographie et des dépôts de surface et qui permettront ainsi de resserrer efficacement les zones de potentiel.

En attendant, la clé de l'archéologie préhistorique de la Matapédia appartient peut-être aux Matapédiens eux-mêmes. Il pourrait être utile d'inviter les résidents de la MRC à partager leur connaissance du territoire et à signaler leurs éventuelles découvertes fortuites. Des occasions telles que le Mois de l'archéologie ou les Journées de la culture, par exemple, pourraient se prêter à des événements où les membres du public seraient invités à découvrir l'intérêt de la ressource archéologique, à reconnaître les formes qu'elle peut prendre et à partager, en toute confiance, leurs éventuelles découvertes.

### *L'exploitation forestière dans le Parc régional de la Seigneurie-du-Lac-Matapédia*

L'industrie forestière a été l'un des principaux moteurs du développement de la Matapédia, elle est l'un des thèmes forts de son patrimoine historique et elle domine les résultats de la mission de reconnaissance de l'été 2015. La discussion qui suit ne concerne que les sites explorés à l'été 2015 et choisis en fonction de priorités établies de concert avec la MRC,

mais il sera souhaitable, comme le recommande l'étude de potentiel de Ruralys, qu'une réflexion soit engagée sur la gestion du patrimoine industriel régional et sur les sites à prioriser.

Le Chalet à Soucy et le Dépôt à Soucy appartiennent à une même phase de l'exploitation des forêts de la Seigneurie du Lac-Matapédia (1956-1964), la dernière avant son acquisition par l'État. Les deux sites sont accessibles, pourvus de stationnements et déjà appréciés des visiteurs pour l'accès qu'ils offrent au lac comme au réseau des sentiers. L'intérêt de ces sites tient en grande partie à leur complémentarité et à leur relation avec la forêt et le territoire du Parc. Cette complémentarité invite à envisager une interprétation historique déployée sur ces deux sites et proposant des discours complémentaires : le Chalet à Soucy, par exemple, peut évoquer le personnage de l'entrepreneur-villégiateur, alors que le dépôt peut évoquer les conditions de travail dans une industrie en profonde mutation.

Le site du Chalet à Soucy a été remanié et son intérêt archéologique tient essentiellement à ses vestiges architecturaux. Répartis dans le boisé et sur les plages, ces derniers forment un ensemble cohérent et ils prêteraient bien à un dispositif d'interprétation léger déployé sur le site.

Bien que son bâti d'origine ait été arasé, le site du Dépôt à Soucy offre au contraire un potentiel archéologique prometteur. Son occupation correspond à une exploitation de la forêt par une industrie forestière nouvellement mécanisée ; le document archéologique est d'autant plus intéressant que l'ethnographie et l'histoire orale de l'industrie ont privilégié la période qui précède la mécanisation et le déclin du système agro-forestier (Proulx 1985, Le Guédard 2005, Beaudoin 2014, etc.). En outre, le site se prêterait très bien à des activités d'archéologie publique appuyées sur une recherche historique et iconographique préalable, que ce soit le dégagement et la documentation de la dalle de béton du Dépôt, ou encore la fouille de sondages dans le secteur du dépôt ou dans ses dépotoirs. La documentation et l'étude du matériel archéologique pourraient même mettre à contribution des membres du public et entretenir une démarche parallèle d'histoire orale.

### *Milnikek*

Milnikek est représentatif des villages qui se sont développés rapidement autour d'un moulin. Il se distingue cependant par son déclin précoce provoqué par l'incendie du moulin, puis par son abandon ; ce sont ce déclin et cet abandon qui expliquent son état de conservation exceptionnel. Malgré l'exploitation forestière qui s'est poursuivie sur le territoire, le hameau a pratiquement été en grande partie figé dans son état du premier tiers du XX<sup>e</sup> siècle. Il offre aujourd'hui un potentiel archéologique et scientifique tout à fait remarquable, que l'on s'intéresse au moulin et à ses annexes, au développement rapide du hameau, à son électrification précoce, à l'habitat et à la culture matérielle de ses habitants, à leur vie communautaire et sociale, aux processus de déclin et d'abandon, etc.

La rive gauche du site étant accessible par la route, une mise en valeur *in situ* serait possible à peu de frais, avec par exemple des sentiers qui donneraient à apprécier à la fois le pittoresque de la vallée de la Milnikék et celui des ruines envahies par la forêt. Des activités archéologiques intéressantes seraient également possibles dans un cadre académique formel tel qu'une école de fouilles. Dans les deux cas, la démarche initiale devrait être une campagne de relevé et d'inventaire appuyée sur une recherche historique, pour mieux connaître ce document original et bien en apprécier tout le potentiel.

### *Les collections*

L'État québécois étant propriétaire des terrains sur lesquels ont été menées les interventions, il demeure propriétaire des artefacts qui ont été recueillis. Les collections sont normalement déposées au Centre de Conservation du Québec après inventaire et analyse. Cependant, le MCCQ a décliné d'en prendre possession puisqu'il n'a pas accordé de code Borden à ces sites pour le moment. Dans le cas où il reviendrait sur sa décision, la MRC pourra demander la garde du tout ou d'une partie des collections à des fins de recherche et de mise en valeur.



## 7. Conclusion

L'intervention du Laboratoire d'archéologie et de patrimoine de l'UQAR dans la MRC de la Matapédia à l'été 2015 faisait suite à une étude du potentiel archéologique réalisée par Ruralys à l'échelle de la MRC de la Matapédia. Son mandat était de valider le potentiel archéologique et de mise en valeur du Parc régional de la Seigneurie-du-Lac-Matapédia et d'explorer le potentiel archéologique euro-canadien du hameau abandonné de Milnikek.

Priorisant les plus accessibles parmi celles qu'a identifiées Ruralys, l'équipe du LAP a exploré huit zones de potentiel amérindien dans les limites du Parc régional en compagnie d'un archéologue préhistorien. Cette intervention n'a cependant livré qu'un seul artefact amérindien, un objet isolé qui ne rend pas forcément compte d'une occupation sur place, alors que tout laissait espérer un fort potentiel. Les recherches doivent se poursuivre malgré cet apparent silence archéologique, mais elles devront s'étendre aux portages et devront surtout s'appuyer sur des études de potentiel à une échelle plus fine. Un appel au public pourrait aussi favoriser la déclaration de découvertes fortuites et l'identification d'un premier site amérindien dans la MRC.

Le potentiel historique, au contraire, a été confirmé. L'empreinte de l'exploitation forestière est omniprésente dans le Parc régional et elle est bien représentée par les sites du Chalet à Soucy et du Dépôt à Soucy. Ces sites, complémentaires, ont l'intérêt de documenter une phase tardive et peu connue de l'industrie forestière, alors qu'elle connaît des mutations importantes ; le second serait particulièrement propice à des activités d'archéologie publique. Milnikek est un autre héritage de l'industrie forestière, à la fois représentatif des villages de scierie et exceptionnel pour son état de conservation ; son potentiel archéologique et son intérêt scientifique sont à la hauteur de ses possibilités de mise en valeur et le site a séduit l'équipe du LAP. L'exploitation forestière est au cœur des résultats de la mission ; ils rappellent l'intérêt qu'il y aurait à lancer une réflexion sur la gestion et la mise en valeur du patrimoine forestier de la Matapédia, ainsi que le recommandait l'étude de Ruralys.

L'équipe du LAP tenait à partager son intérêt pour les ressources archéologiques de la Matapédia et à les faire apprécier du public régional comme de ses étudiants. Quelles que soient les suites de cette première mission sur le terrain et quels qu'en soient les porteurs, il faut espérer qu'ils poursuivent cet effort d'éducation et de partage et qu'ils contribuent ainsi à la pérennité de ce patrimoine.

## Références

- Beaudoin , Raymonde, 2014. *La vie dans les camps de bûcheherons au temps de la pitoune*, Québec : Septentrion.
- Bélanger, Lisa-Marie, 2015. « Archéologie : le riche potentiel de la Matapédia », *Le Téléjournal Est-du-Québec, ICI Radio-Canada*, 13 août, <http://bit.ly/1idbeOX> [décembre 2016].
- Bonin, Raymond, et Michel Pelletier, 1998. *Sainte-Florence : le temps des moulins*, Sainte-Florence : Corporation de développement local de Sainte-Florence.
- Commission de toponymie du Québec, 2016. « Rivière Sableuse », *Banque de noms de lieu du Québec*, [http://www.toponymie.gouv.qc.ca/ct/ToposWeb/Fiche.aspx?no\\_seq=139658](http://www.toponymie.gouv.qc.ca/ct/ToposWeb/Fiche.aspx?no_seq=139658) [décembre 2016].
- Fortin, Jean-Charles, Antonio Lechasseur, Yvan Morin, Fernard Harvey, Jacques Lemay et Yves Tremblay, 1993. *Histoire du Bas-Saint-Laurent*, Québec : Institut québécois de recherche sur la culture (Les régions du Québec, 5).
- Langlais, Jean-Philippe, 2015. « Archéologie pour tous », *L'Avant-Poste*, vol. 73, no 32, 12 août, p. 5, <http://bit.ly/2ivfOIU> [décembre 2015].
- L'Anglais, Paul-Gaston, 1994. *Guide pour l'inventaire et répertoire des mots-clés pour les matériaux et les fonctions des artefacts et pour les ecofacts*, Québec : Université Laval, CELAT.
- Le Guédard, Pierre, 2005. « Exploitation forestière et colonisation 1890-1950 : Synthèse historique du développement de la vallée de la Matapédia », Mémoire de maîtrise en développement régional, Rimouski : Université du Québec à Rimouski.
- Lussier, Isabelle, et Caroline Roy, 2004. *Une histoire d'appartenance : la vallée de la Matapédia*, Sainte-Foy : Éditions GID.
- Mantyk, Adeline, 2015. « Des archéologues de Rimouski à l'œuvre dans la Matapédia », *L'Avant-Poste*, 8 août, <http://bit.ly/2hpRHPG> [décembre 2016].
- Proulx, Louise, 1985. *Les chantiers forestiers de la Rimouski (1930-1940). Techniques traditionnelles et culture matérielle*, Rimouski : Université du Québec à Rimouski (Cahiers du GRIDEQ, 16).
- Ruralys, 2014. *Étude de potentiel, MRC de la Matapédia*. La Pocatière : Ruralys, <http://bit.ly/1QJsj2u> [décembre 2016].
- Stanek, Oleg, 1991. « La chasse aux faux colons : Awantjish et Nemtayé », *Revue d'histoire du Bas-Saint-Laurent*, vol. 15, n° 1, p. 25-29.

## **Annexe 1. Catalogue des points géo-référencés**

Opération, Sous-op.	Inspection visuelle	GPS	Point	Zone de potentiel / Secteur	Description	Coordonnées		Références
						Latitude	Longitude	
<b>MAT25 - Sentier Les Explorateurs</b>								
MAT25-1A		PATER	390	25/A, près de l'embouchure de la rivière	Sondage à la pelle, négatif	48,5849663	-67,6609117	Figure 2
MAT25-1B		PATER	391	25/A, près de l'embouchure de la rivière	Sondage à la pelle, négatif	48,5849573	-67,660974	Figure 2
MAT25-1C		PATER	392	25/A, près de l'embouchure de la rivière	Sondage à la pelle, négatif	48,5849004	-67,6609698	Figure 2
MAT25-1D		PATER	393	25/A, près de l'embouchure de la rivière	Sondage à la pelle, négatif	48,5849018	-67,6609771	Figure 2
MAT25-1E		PATER	394	25/A, près de l'embouchure de la rivière	Sondage à la pelle, négatif	48,5848599	-67,661152	Figure 2
MAT25-1F		PATER	395	25/A, près de l'embouchure de la rivière	Sondage à la pelle, négatif	48,5849241	-67,6612076	Figure 2
	MAT25-1S396	PATER	396	25/A, près de l'embouchure de la rivière	Artefacts en surface (bidon d'huile de scie à chaîne,	48,5850389	-67,6613931	Figure 2
MAT25-1G		PATER	397	25/A, près de l'embouchure de la rivière	Sondage à la pelle, négatif, stratigraphie type	48,5849236	-67,6612493	Figure 2, Annexe 2
MAT25-1H		PATER	398	25/B en amont de l'embouchure de la rivière	Sondage à la pelle, négatif	48,5856196	-67,661142	Figure 2
MAT25-1I		PATER	399	25/B en amont de l'embouchure de la rivière	Sondage à la pelle, négatif	48,5856486	-67,6611651	Figure 2
MAT25-1J		PATER	400	25/B en amont de l'embouchure de la rivière	Sondage à la pelle, négatif	48,5856659	-67,6611263	Figure 2
MAT25-1K		PATER	401	25/B en amont de l'embouchure de la rivière	Sondage à la pelle, négatif	48,5856784	-67,6612953	Figure 2
MAT25-1L		PATER	402	25/B en amont de l'embouchure de la rivière	Sondage à la pelle, négatif	48,5857537	-67,6614158	Figure 2
MAT25-1M		PATER	403	25/B en amont de l'embouchure de la rivière	Sondage à la pelle, négatif	48,5856445	-67,6613745	Figure 2
MAT25-1N		PATER	404	25/B en amont de l'embouchure de la rivière	Sondage à la pelle, négatif, coupe stratigraphique type	48,5856649	-67,6612765	Figure 2, Annexe 2
MAT25-1P		PATER	406	25/C en amont, de part et d'autre d'un sentier	Sondage à la pelle, négatif	48,5868939	-67,6620483	Figure 2
MAT25-1Q		PATER	408	25/C en amont, de part et d'autre d'un sentier	Sondage à la pelle, négatif	48,586932	-67,6619537	Figure 2
MAT25-1R		PATER	409	25/C en amont, de part et d'autre d'un sentier	Sondage à la pelle, négatif	48,5869417	-67,6619372	Figure 2
MAT25-1S		PATER	410	25/C en amont, de part et d'autre d'un sentier	Sondage à la pelle, négatif	48,5869595	-67,6619421	Figure 2
MAT25-1T		PATER	411	25/C en amont, de part et d'autre d'un sentier	Sondage à la pelle, négatif	48,5870674	-67,6619901	Figure 2
MAT25-1U		PATER	412	25/C en amont, de part et d'autre d'un sentier	Sondage à la pelle, négatif	48,5871198	-67,6620321	Figure 2
MAT25-1V		PATER	413	25/C en amont, de part et d'autre d'un sentier	Sondage à la pelle, négatif	48,5870577	-67,6620074	Figure 2
MAT25-1W		PATER	414	25/D, confluence de 3 ruisseaux	Sondage à la pelle, négatif	48,5887611	-67,6630983	Figure 2
MAT25-1X		PATER	415	25/D, confluence de 3 ruisseaux	Sondage à la pelle, négatif	48,5887627	-67,6630973	Figure 2
MAT25-1Y		PATER	416	25/D, confluence de 3 ruisseaux	Sondage à la pelle, négatif	48,5886745	-67,6631971	Figure 2
MAT25-1Z		PATER	417	25/D, confluence de 3 ruisseaux	Sondage à la pelle, négatif	48,5887548	-67,6630191	Figure 2
MAT25-1AA		PATER	418	25/D, confluence de 3 ruisseaux	Sondage à la pelle, négatif	48,588832	-67,6629858	Figure 2
MAT25-1AB		PATER	419	25/D, confluence de 3 ruisseaux	Sondage à la pelle, négatif	48,5889247	-67,6630885	Figure 2
MAT25-1AC		PATER	420	25/D, confluence de 3 ruisseaux	Sondage à la pelle, négatif	48,5889567	-67,6631225	Figure 2

Opération, Sous-op.	Inspection visuelle	GPS	Point	Zone de potentiel / Secteur	Description	Coordonnées		Références
						Latitude	Longitude	
MAT25-1AD		PATER	421	25/D, confluence de 3 ruisseaux	Sondage à la pelle, négatif	48,5888662	-67,6631348	Figure 2
MAT25-1AE		PATER	422	25/D, confluence de 3 ruisseaux	Sondage à la pelle, négatif	48,5888611	-67,6631262	Figure 2
<b>MAT26 - Baie de Charlie</b>								
	MAT26-1S361	PATER	361	26	Artefacts en surface (bouteille et boîte de conserve)	48,5872676	-67,6350372	Figure 5
MAT26-1A		PATER	362	26/A, partie est de la baie de Charlie	Sondage à la pelle, négatif	48,5871212	-67,6358212	Figure 3
MAT26-1B		PATER	363	26/A, partie est de la baie de Charlie	Sondage à la pelle, négatif	48,5869875	-67,635715	Figure 3
MAT26-1C		PATER	364	26/A, partie est de la baie de Charlie	Sondage à la pelle, négatif	48,5870203	-67,6356407	Figure 3
MAT26-1D		PATER	365	26/A, partie est de la baie de Charlie	Sondage à la pelle, négatif	48,5870495	-67,6356582	Figure 3
MAT26-1E		PATER	366	26/A, partie est de la baie de Charlie	Sondage à la pelle, négatif	48,5870479	-67,6356128	Figure 3
MAT26-1F		PATER	367	26/A, partie est de la baie de Charlie	Sondage à la pelle, négatif	48,5871217	-67,6356926	Figure 3
MAT26-1G		PATER	368	26/A, partie est de la baie de Charlie	Sondage à la pelle, négatif	48,5871127	-67,6357341	Figure 3
MAT26-1H		PATER	369	26/A, partie est de la baie de Charlie	Sondage à la pelle, négatif	48,5870736	-67,6357427	Figure 3
MAT26-1I		PATER	370	26/A, partie est de la baie de Charlie	Sondage à la pelle, négatif	48,5870744	-67,6357423	Figure 3
MAT26-1J		PATER	371	26/A, partie est de la baie de Charlie	Sondage à la pelle, négatif	48,5870547	-67,6356221	Figure 3
MAT26-1K		PATER	372	26/A, partie est de la baie de Charlie	Sondage à la pelle, négatif	48,5870813	-67,6355112	Figure 3
MAT26-1L		PATER	373	26/A, partie est de la baie de Charlie	Sondage à la pelle, négatif	48,5870806	-67,6358876	Figure 3
MAT26-1M		PATER	374	26/A, partie est de la baie de Charlie	Sondage à la pelle, négatif	48,5870909	-67,6358878	Figure 3
MAT26-1N		PATER	375	26/A, partie est de la baie de Charlie	Sondage à la pelle, négatif	48,5869907	-67,6358319	Figure 3
MAT26-1P		PATER	376	26/A, partie est de la baie de Charlie	Sondage à la pelle, négatif	48,5871962	-67,6359035	Figure 3
MAT26-1Q		PATER	379	26/A, partie est de la baie de Charlie	Sondage à la pelle, négatif	48,5871848	-67,6359281	Figure 3
MAT26-1R		PATER	377	26/A, partie est de la baie de Charlie	Sondage à la pelle, négatif, coupe stratigraphique type	48,5869805	-67,6359403	Figure 3, Annexe 2
MAT26-1S		PATER	380	26/A, partie est de la baie de Charlie	Sondage à la pelle, négatif	48,5869603	-67,6359719	Figure 3
MAT26-1T		PATER	383	26/A, partie est de la baie de Charlie	Sondage à la pelle, négatif	48,5869957	-67,635878	Figure 3
MAT26-1U		PATER	384	26/A, partie est de la baie de Charlie	Sondage à la pelle, négatif	48,5869546	-67,6362059	Figure 3
MAT26-1V		PATER	386	26/A, partie est de la baie de Charlie	Sondage à la pelle, négatif	48,5869759	-67,6362861	Figure 3
MAT26-1W		PATER	387	26/A, partie est de la baie de Charlie	Sondage à la pelle, négatif	48,587076	-67,6360834	Figure 3
MAT26-1X		PATER	388	26/A, partie est de la baie de Charlie	Sondage à la pelle, négatif	48,5871494	-67,6360174	Figure 3
MAT26-1Y		PATER	389	26/A, partie est de la baie de Charlie	Sondage à la pelle, négatif	48,5872995	-67,6361655	Figure 3
MAT26 -1Z		PATER	435	26/B, pointe dans la baie de Charlie	Sondage à la pelle, négatif	48,5863647	-67,6340644	Figure 3
MAT26 -1AA		PATER	436	26/B, pointe dans la baie de Charlie	Sondage à la pelle, négatif	48,5862788	-67,633966	Figure 3
MAT26 -1AB		PATER	437	26/B, pointe dans la baie de Charlie	Sondage à la pelle, négatif	48,5862392	-67,6336983	Figure 3

Opération, Sous-op.	Inspection visuelle	GPS	Point	Zone de potentiel / Secteur	Description	Coordonnées		Références
						Latitude	Longitude	
MAT26 -1AC		PATER	438	26/B, pointe dans la baie de Charlie	Sondage à la pelle, négatif	48,5863761	-67,6337826	Figure 3
MAT26 -1AD		PATER	439	26/B, pointe dans la baie de Charlie	Sondage à la pelle, négatif	48,5863438	-67,6336768	Figure 3
MAT26 -1AE		PATER	440	26/B, pointe dans la baie de Charlie	Sondage à la pelle, négatif	48,5862591	-67,6341426	Figure 3
MAT26 -1AF		PATER	441	26/B, pointe dans la baie de Charlie	Sondage à la pelle, négatif	48,5863251	-67,6342035	Figure 3
MAT26 -1AG		PATER	442	26/B, pointe dans la baie de Charlie	Sondage à la pelle, négatif	48,5863371	-67,6342512	Figure 3
MAT26 -1AH		PATER	443	26/B, pointe dans la baie de Charlie	Sondage à la pelle, négatif	48,5863073	-67,6341412	Figure 3
MAT26 -1AI		PATER	445	26/B, pointe dans la baie de Charlie	Sondage à la pelle, négatif, coupe stratigraphique type	48,5863	-67,6340454	Figure 3, Annexe 2
<b>MAT30 - Rivière Matane</b>								
MAT30-1A		PATER	424	30	Sondage à la pelle, négatif	48,5802782	-67,5842245	Figure 4
MAT30-1B		PATER	426	30	Sondage à la pelle, négatif	48,5802376	-67,5839415	Figure 4
MAT30-1C		PATER	427	30	Sondage à la pelle, négatif	48,5802573	-67,5840021	Figure 4
MAT30-1D		PATER	428	30	Sondage à la pelle, négatif	48,5802836	-67,5839847	Figure 4
MAT30-1E		PATER	429	30	Sondage à la pelle, négatif	48,580317	-67,5841033	Figure 4
MAT30-1F		PATER	430	30	Sondage à la pelle, négatif, coupe stratigraphique type	48,5803562	-67,5841608	Figure 4, Annexe 2
MAT30-1G		PATER	431	30	Sondage à la pelle, négatif	48,5801854	-67,584279	Figure 4
MAT30-1H		PATER	432	30	Sondage à la pelle, négatif	48,5803697	-67,5839749	Figure 4
MAT30-1I		PATER	433	30	Sondage à la pelle, négatif	48,5803961	-67,5839559	Figure 4
	MAT30-1S423	PATER	423	30	Vestiges d'exploitation forestière: quai en rondins, glissoire à billots en rondins, amas de pierres dans le lac, etc.	48,5823579	-67,5880784	Figure 4
<b>MAT31 - Ruisseau de la baie à Zénon</b>								
	MAT31-1S315	PATER	315	31/A, ruisseau de la baie à Zénon, rive gauche	Fragment de céramique sur la plage	48,5724652	-67,5674984	Figure 5
MAT31-1A		PATER	316	31/A, ruisseau de la baie à Zénon, rive gauche	Sondage à la pelle, négatif	48,5729273	-67,567042	Figure 5
MAT31-1B		PATER	317	31/A, ruisseau de la baie à Zénon, rive gauche	Sondage à la pelle, négatif	48,5728933	-67,5669958	Figure 5
MAT31-1C		PATER	318	31/A, ruisseau de la baie à Zénon, rive gauche	Sondage à la pelle, négatif	48,5728975	-67,5669498	Figure 5
MAT31-1D		PATER	319	31/A, ruisseau de la baie à Zénon, rive gauche	Sondage à la pelle, négatif	48,5728877	-67,566892	Figure 5
MAT31-1E		PATER	320	31/A, ruisseau de la baie à Zénon, rive gauche	Sondage à la pelle, négatif	48,5728523	-67,566868	Figure 5
MAT31-1F		PATER	321	31/A, ruisseau de la baie à Zénon, rive gauche	Sondage à la pelle, négatif, coupe stratigraphique type	48,5728723	-67,5667849	Figure 5, Annexe 2

Opération, Sous-op.	Inspection visuelle	GPS	Point	Zone de potentiel / Secteur	Description	Coordonnées		Références
						Latitude	Longitude	
MAT31-1G		PATER	322	31/A, ruisseau de la baie à Zénon, rive gauche	Sondage à la pelle, négatif	48,5728535	-67,5669004	Figure 5
MAT31-1H		PATER	323	31/A, ruisseau de la baie à Zénon, rive gauche	Sondage à la pelle, négatif	48,5729151	-67,5668547	Figure 5
MAT31-1I		PATER	324	31/A, ruisseau de la baie à Zénon, rive gauche	Sondage à la pelle, négatif	48,5728487	-67,5667779	Figure 5
MAT31-1J		PATER	325	31/A, ruisseau de la baie à Zénon, rive gauche	Sondage à la pelle, négatif	48,5728742	-67,5670721	Figure 5
MAT31-1K		PATER	326	31/A, ruisseau de la baie à Zénon, rive gauche	Sondage à la pelle, négatif	48,5730816	-67,5671096	Figure 5
MAT31-1L		PATER	327	31/A, ruisseau de la baie à Zénon, rive gauche	Sondage à la pelle, négatif	48,5730629	-67,5670238	Figure 5
MAT31-1M		PATER	328	31/A, ruisseau de la baie à Zénon, rive gauche	Sondage à la pelle, négatif	48,5729368	-67,5669878	Figure 5
MAT31-1N		PATER	329	31/A, ruisseau de la baie à Zénon, rive gauche	Sondage à la pelle, négatif	48,5729617	-67,5670197	Figure 5
MAT31-1P		PATER	330	31/A, ruisseau de la baie à Zénon, rive gauche	Sondage à la pelle, négatif	48,5728873	-67,567086	Figure 5
MAT31-1Q		PATER	331	31/A, ruisseau de la baie à Zénon, rive gauche	Sondage à la pelle, positif: artefacts historiques dans une anomalie topographique	48,5729064	-67,5671069	Figure 5, Annexe 2
MAT31-1R		PATER	332	31/A, ruisseau de la baie à Zénon, rive gauche	Sondage à la pelle, négatif	48,5731216	-67,5670795	Figure 5
MAT31-1S		PATER	333	31/A, ruisseau de la baie à Zénon, rive gauche	Sondage à la pelle, négatif	48,5731114	-67,5670997	Figure 5
MAT31-1T		PATER	334	31/A, ruisseau de la baie à Zénon, rive gauche	Sondage à la pelle, négatif	48,5731417	-67,5670624	Figure 5
MAT31-1U		PATER	338	31/A, ruisseau de la baie à Zénon, rive gauche	Sondage à la pelle, négatif	48,573034	-67,56711	Figure 5
MAT31-1V		PATER	339	31/A, ruisseau de la baie à Zénon, rive gauche	Sondage à la pelle, négatif	48,5730363	-67,5671077	Figure 5
MAT31-1W		PATER	340	31/A, ruisseau de la baie à Zénon, rive gauche	Sondage à la pelle, négatif	48,5730642	-67,567035	Figure 5
MAT31-1X		PATER	341	31/B, ruisseau de la baie à Zénon, rive droite	Sondage à la pelle, négatif	48,5735709	-67,5669114	Figure 5
MAT31-1Y		PATER	342	31/B, ruisseau de la baie à Zénon, rive droite	Sondage à la pelle, négatif	48,5735753	-67,5668962	Figure 5
	MAT31-1S343	PATER	343	31/B, ruisseau de la baie à Zénon, rive droite	Anomalie topographique	48,5736231	-67,566875	Figure 5
MAT-31-1Z		PATER	352	31/B, ruisseau de la baie à Zénon, rive droite	Sondage à la pelle, négatif	48,5737556	-67,5674195	Figure 5
MAT-31-1AA		PATER	353	31/B, ruisseau de la baie à Zénon, rive droite	Sondage à la pelle, négatif	48,5737165	-67,5674708	Figure 5
MAT-31-1AB		PATER	354	31/B, ruisseau de la baie à Zénon, rive droite	Sondage à la pelle, négatif	48,5736754	-67,567482	Figure 5
MAT31-1AC		PATER	355	31/B, ruisseau de la baie à Zénon, rive droite	Sondage à la pelle, négatif	48,573696	-67,5675434	Figure 5
MAT31-1AD		PATER	356	31/B, ruisseau de la baie à Zénon, rive droite	Sondage à la pelle, négatif	48,5737086	-67,5675971	Figure 5
MAT31-1AE		PATER	357	31/B, ruisseau de la baie à Zénon, rive droite	Sondage à la pelle, négatif	48,5736871	-67,5676537	Figure 5
MAT31-1AF		PATER	358	31/B, ruisseau de la baie à Zénon, rive droite	Sondage à la pelle, négatif	48,5736265	-67,567589	Figure 5
MAT31-1AG		PATER	359	31/B, ruisseau de la baie à Zénon, rive droite	Sondage à la pelle, négatif, coupe stratigraphique type	48,5737507	-67,5674307	Figure 5, Annexe 2
MAT31-1AH		PATER	360	31/B, ruisseau de la baie à Zénon, rive droite	Sondage à la pelle, négatif	48,5736538	-67,5675379	Figure 5
MAT31-1AI		PATER	613	31/A, ruisseau de la baie à Zénon, rive gauche	Sondage négatif	48,5728359	-67,5670304	Figure 5

Opération, Sous-op.	Inspection visuelle	GPS	Point	Zone de potentiel / Secteur	Description	Coordonnées		Références
						Latitude	Longitude	
MAT31-1AJ		PATER	614	31/A, ruisseau de la baie à Zénon, rive gauche	Sondage positif (verre, tôle, etc. et alignement de pierres): extension de MAT31-1Q	48,5729044	-67,5671537	Figure 5, Annexe 2, Annexe 3
MAT31-1AK		PATER	616	31/A, ruisseau de la baie à Zénon, rive gauche	Sondage négatif	48,5729536	-67,5671618	Figure 5
MAT31-1AL		PATER	618	31/A, ruisseau de la baie à Zénon, rive gauche	Sondage négatif	48,5729539	-67,5671321	Figure 5
MAT31-1AM		PATER	619	31/A, ruisseau de la baie à Zénon, rive gauche	Sondage négatif	48,5729669	-67,5671097	Figure 5
MAT31-1AN		PATER	620	31/A, ruisseau de la baie à Zénon, rive gauche	Sondage négatif	48,5728286	-67,5671788	Figure 5
MAT31-1AP		PATER	621	31/A, ruisseau de la baie à Zénon, rive gauche	Sondage négatif	48,5727946	-67,5670183	Figure 5
MAT31-1AQ		PATER	622	31/A, ruisseau de la baie à Zénon, rive gauche	Sondage négatif	48,57271	-67,5668268	Figure 5
MAT31-1AR		PATER	623	31/A, ruisseau de la baie à Zénon, rive gauche	Sondage négatif	48,572689	-67,5668715	Figure 5
MAT31-1AS		PATER	624	31/A, ruisseau de la baie à Zénon, rive gauche	Sondage négatif	48,572488	-67,566647	Figure 5
MAT31-1AT		PATER	625	31/A, ruisseau de la baie à Zénon, rive gauche	Sondage négatif	48,5729973	-67,5671757	Figure 5
<b>MAT32 - Chalet à Soucy</b>								
	MAT32-1S447	PATER	447	32, Chalet à Soucy (Inspection visuelle)	Cheminée du chalet	48,5626658	-67,5447988	Figure 6
	MAT32-1S448	PATER	448	32, Chalet à Soucy (Inspection visuelle)	Concentration de céramiques	48,5627059	-67,5448201	Figure 6
	MAT32-1S449	PATER	449	32, Chalet à Soucy (Inspection visuelle)	Puits maçonné	48,5627289	-67,5446174	Figure 6
	MAT32-1S451	PATER	451	32, Chalet à Soucy (Inspection visuelle)	Anomalie topographique: avancée de pierres dans le lac	48,5622313	-67,5450729	Figure 6
	MAT32-1S452	PATER	452	32, Chalet à Soucy (Inspection visuelle)	Concentration de verre à vitre	48,5626477	-67,5448813	Figure 6
	MAT32-1S453	PATER	453	32, Chalet à Soucy (Inspection visuelle)	Grille de métal	48,562653	-67,5448662	Figure 6
	MAT32-1S454	PATER	454	32, Chalet à Soucy (Inspection visuelle)	Alignement de 4 pierres	48,5626508	-67,5448669	Figure 6
	MAT32-1S455	PATER	455	32, Chalet à Soucy (Inspection visuelle)	Grande pièce de métal	48,5626508	-67,5448493	Figure 6
	MAT32-1S456	PATER	456	32, Chalet à Soucy (Inspection visuelle)	Concentration de verre à vitre	48,5626116	-67,5448031	Figure 6
	MAT32-1S457	PATER	457	32, Chalet à Soucy (Inspection visuelle)	Poutre de bois brûlé avec clous	48,5626081	-67,5447511	Figure 6
	MAT32-1S458	PATER	458	32, Chalet à Soucy (Inspection visuelle)	Concentration de verre à vitre	48,56261	-67,5447491	Figure 6
	MAT32-1S459	PATER	459	32, Chalet à Soucy (Inspection visuelle)	Vestiges d'un quai	48,562542	-67,54453	Figure 6
	MAT32-1S460	PATER	460	32, Chalet à Soucy (Inspection visuelle)	Fragments de plaque de métal	48,5626573	-67,5446471	Figure 6
	MAT32-1S461	PATER	461	32, Chalet à Soucy (Inspection visuelle)	Concentration de verre fondu	48,5626777	-67,544704	Figure 6
	MAT32-1S462	PATER	462	32, Chalet à Soucy (Inspection visuelle)	Dalle de pierre, env. 90 × 47 m (seuil?)	48,5626881	-67,5446422	Figure 6
	MAT32-1S463	PATER	463	32, Chalet à Soucy (Inspection visuelle)	Plomberie: tuyau, céramique de lavabo ou de toilette	48,5627252	-67,5447236	Figure 6
	MAT32-1S464	PATER	464	32, Chalet à Soucy (Inspection visuelle)	Fondation	48,5627376	-67,5447002	Figure 6



Opération, Sous-op.	Inspection visuelle	GPS	Point	Zone de potentiel / Secteur	Description	Coordonnées		Références
						Latitude	Longitude	
	MAT32-1S465	PATER	465	32, Chalet à Soucy (Inspection visuelle)	Alignement de 3 pierres	48,5627458	-67,5446536	Figure 6
	MAT32-1S466	PATER	466	32, Chalet à Soucy (Inspection visuelle)	Muret en pierre et mortier	48,5628421	-67,5446996	Figure 6
	MAT32-1S467	PATER	467	32, Chalet à Soucy (Inspection visuelle)	Penture de porte	48,5627176	-67,5448231	Figure 6
	MAT32-1S468	PATER	468	32, Chalet à Soucy (Inspection visuelle)	Alignement de pierres	48,562745	-67,544835	Figure 6
	MAT32-1S469	PATER	469	32, Chalet à Soucy (Inspection visuelle)	Morceaux de métal	48,5626912	-67,5444915	Figure 6
	MAT32-1S470	PATER	470	32, Chalet à Soucy (Inspection visuelle)	Fragment de tôle et une bouteille	48,5627236	-67,5444181	Figure 6
	MAT32-1S471	PATER	471	32, Chalet à Soucy (Inspection visuelle)	Fragments du puits	48,5628425	-67,5444706	Figure 6
	MAT32-1S472	PATER	472	32, Chalet à Soucy (Inspection visuelle)	Fragments de baril	48,562831	-67,544191	Figure 6
	MAT32-1S473	PATER	473	32, Chalet à Soucy (Inspection visuelle)	Morceau de brique	48,562944	-67,544218	Figure 6
	MAT32-1S474	PATER	474	32, Chalet à Soucy (Inspection visuelle)	Pots de peinture et vitre	48,5630064	-67,5444233	Figure 6
	MAT32-1S475	PATER	475	32, Chalet à Soucy (Inspection visuelle)	Fil de métal accroché aux arbres (piège?)	48,562973	-67,5443357	Figure 6
	MAT32-1S476	PATER	476	32, Chalet à Soucy (Inspection visuelle)	Pot de verre avec couvercle de métal	48,5630661	-67,5442571	Figure 6
	MAT32-1S477	PATER	477	32, Chalet à Soucy (Inspection visuelle)	Bouteille de rhum en verre	48,5629595	-67,5440618	Figure 6
	MAT32-1S478	PATER	478	32, Chalet à Soucy (Inspection visuelle)	Rondins de cèdre empilés	48,5629977	-67,544143	Figure 6
	MAT32-1S479	PATER	479	32, Chalet à Soucy (Inspection visuelle)	Bois empilé	48,563011	-67,5441339	Figure 6
	MAT32-1S480	PATER	480	32, Chalet à Soucy (Inspection visuelle)	Planche de bois avec peinture verte	48,5630489	-67,5444149	Figure 6
	MAT32-1S481	PATER	481	32, Chalet à Soucy (Inspection visuelle)	Fil de métal et boîte de conservation	48,5630598	-67,5444338	Figure 6
	MAT32-1S482	PATER	482	32, Chalet à Soucy (Inspection visuelle)	Anomalie topographique: dépression	48,5631176	-67,5444942	Figure 6
	MAT32-1S483	PATER	483	32, Chalet à Soucy (Inspection visuelle)	Boyaux de plastique et caoutchouc	48,5631237	-67,5445559	Figure 6
	MAT32-1S484	PATER	484	32, Chalet à Soucy (Inspection visuelle)	Anomalie topographique: dépression carrée	48,5631577	-67,5445352	Figure 6
	MAT32-1S485	PATER	485	32, Chalet à Soucy (Inspection visuelle)	Brique, pot de verre	48,5631559	-67,544536	Figure 6
	MAT32-1S490	PATER	490	32, Chalet à Soucy (Inspection visuelle)	Anomalie topographique: dépression	48,5632889	-67,5445994	Figure 6
	MAT32-1S491	PATER	491	32, Chalet à Soucy (Inspection visuelle)	Anomalie topographie	48,5633413	-67,5446808	Figure 6
	MAT32-1S492	PATER	492	32, Chalet à Soucy (Inspection visuelle)	Ressorts de matelas ou de meuble rembourré	48,5626916	-67,5448697	Figure 6

Opération, Sous-op.	Inspection visuelle	GPS	Point	Zone de potentiel / Secteur	Description	Coordonnées		Références
						Latitude	Longitude	
	MAT32-1S510	PATER	510	32, Chalet à Soucy (Inspection visuelle)	Vestiges de quai	48,5633826	-67,5452457	Figure 6
MAT32-1A		PATER	496	32, Chalet à Soucy	Sondage positif (artefacts historiques)	48,5627958	-67,5448242	Figure 6, Annexe 3
MAT32-1B		PATER	497	32, Chalet à Soucy	Sondage positif (artefacts historiques)	48,5627846	-67,5448679	Figure 6, Annexe 2, Annexe 3
MAT32-1C		PATER	498	32, Chalet à Soucy	Sondage positif (artefacts historiques)	48,5627653	-67,5446535	Figure 6, Annexe 2, Annexe 3
MAT32-1D		PATER	499	32, Chalet à Soucy	Sondage positif (artefacts historiques)	48,5627763	-67,5446453	Figure 6, Annexe 2, Annexe 3
MAT32-1E		PATER	500	32, Chalet à Soucy	Sondage positif (artefacts historiques)	48,5627233	-67,5446388	Figure 6, Annexe 3
MAT32-1F		PATER	501	32, Chalet à Soucy	Sondage à la pelle, positif (artefacts historiques)	48,5627262	-67,5445758	Figure 6
MAT32-1G		PATER	502	32, Chalet à Soucy	Sondage à la pelle, positif (artefacts historiques)	48,5627153	-67,544771	Figure 6, Annexe 3
MAT32-1H		PATER	503	32, Chalet à Soucy	Sondage à la pelle, positif (artefacts historiques)	48,5627465	-67,5445758	Figure 6
MAT32-1I		PATER	504	32, Chalet à Soucy	Sondage à la pelle, positif (artefacts historiques)	48,5627458	-67,5445818	Figure 6
<b>MAT33 - Dépôt à Soucy</b>								
MAT33-1A		PATER	304	33/A, derrière un affleurement rocheux	Sondage à la pelle, négatif	48,5494892	-67,5161443	Figure 7
MAT33-1B		PATER	305	33/A, derrière un affleurement rocheux	Sondage à la pelle, négatif	48,5495499	-67,5160084	Figure 7
MAT33-1C		PATER	306	33/A, derrière un affleurement rocheux	Sondage à la pelle, négatif	48,5496285	-67,5159685	Figure 7
MAT33-1D		PATER	307	33/A, derrière un affleurement rocheux	Sondage à la pelle, négatif	48,5496503	-67,5159597	Figure 7
MAT33-1E		PATER	308	33/A, derrière un affleurement rocheux	Sondage à la pelle, négatif	48,5496666	-67,5160845	Figure 7
MAT33-1F		PATER	309	33/A, derrière un affleurement rocheux	Sondage à la pelle, négatif	48,5496608	-67,5161408	Figure 7
MAT33-1G		PATER	310	33/A, derrière un affleurement rocheux	Sondage à la pelle, négatif	48,5496857	-67,5160705	Figure 7
MAT33-1H		PATER	311	33/A, derrière un affleurement rocheux	Sondage à la pelle, négatif,	48,5496786	-67,5160789	Figure 7,
MAT33-1I		PATER	312	33/A, derrière un affleurement rocheux	Sondage à la pelle, négatif	48,5497181	-67,5160289	Figure 7
MAT33-1J		PATER	313	33/A, derrière un affleurement rocheux	Sondage à la pelle, négatif	48,5494814	-67,5162189	Figure 7
	MAT33-1S134	PATER	314	33/A, Dépôt à Soucy (Inspection visuelle)	Affleurement rocheux naturel	48,5495003	-67,5163072	Figure 7

Opération, Sous-op.	Inspection visuelle	GPS	Point	Zone de potentiel / Secteur	Description	Coordonnées		Références
						Latitude	Longitude	
	MAT33-1S119	GEO0292	119	33/B, Dépôt à Soucy (Inspection visuelle)	Isolateur électrique	48,5489715	-67,5123981	Figure 7
	MAT33-1S120	GEO0292	120	33/B, Dépôt à Soucy (Inspection visuelle)	Concentration de boîtes de conserve et de bouteilles	48,5490374	-67,5124574	Figure 7
	MAT33-1S121	GEO0292	121	33/B, Dépôt à Soucy (Inspection visuelle)	Dépotoir	48,5491184	-67,5125399	Figure 7
	MAT33-1S122	GEO0292	122	33/B, Dépôt à Soucy (Inspection visuelle)	Bouteille de Coca-Cola	48,5491626	-67,5127104	Figure 7
	MAT33-1S123	GEO0292	123	33/B, Dépôt à Soucy (Inspection visuelle)	Contenant de métal	48,5492112	-67,5128745	Figure 7
	MAT33-1S124	GEO0292	124	33/B, Dépôt à Soucy (Inspection visuelle)	Pieces de métal (machinerie?),	48,5492439	-67,5130661	Figure 7
	MAT33-1S125	GEO0292	125	33/B, Dépôt à Soucy (Inspection visuelle)	Dépotoir de machinerie	48,5492905	-67,513134	Figure 7
	MAT33-1S126	GEO0292	126	33/B, Dépôt à Soucy (Inspection visuelle)	Machinerie et bouteille de Coca-Cola	48,5492279	-67,5131195	Figure 7
	MAT33-1S127	GEO0292	127	33/B, Dépôt à Soucy (Inspection visuelle)	Dépotoir de machinerie	48,549324	-67,5132303	Figure 7
	MAT33-1S128	GEO0292	128	33/B, Dépôt à Soucy (Inspection visuelle)	Bouteille de verre	48,5493384	-67,5132828	Figure 7
	MAT33-1S129	GEO0292	129	33/B, Dépôt à Soucy (Inspection visuelle)	Grosse chaîne	48,5492629	-67,5133603	Figure 7
	MAT33-1S130	GEO0292	130	33/B, Dépôt à Soucy (Inspection visuelle)	Lumières rouges et vertes	48,5492743	-67,5132736	Figure 7
	MAT33-1S131	GEO0292	131	33/B, Dépôt à Soucy (Inspection visuelle)	Bloc de béton avec tige de métal	48,5491798	-67,5132542	Figure 7
	MAT33-1S132	GEO0292	132	33/B, Dépôt à Soucy (Inspection visuelle)	Fossé	48,549189	-67,5131716	Figure 7
	MAT33-1S133	GEO0292	133	33/B, Dépôt à Soucy (Inspection visuelle)	Dépotoir	48,5484305	-67,5124492	Figure 7
	MAT33-1S595	PATER	595	33/B, Dépôt à Soucy (Inspection visuelle)	Fondation de béton	48,5489877	-67,5130785	Figure 7
	MAT33-1S597	PATER	597	33/B, Dépôt à Soucy (Inspection visuelle)	Anomalie: dépression	48,5490869	-67,5133893	Figure 7
	MAT33-1S598	PATER	598	33/B, Dépôt à Soucy (Inspection visuelle)	Anomalie: dépression	48,5491134	-67,5134452	Figure 7
	MAT33-1S599	PATER	599	33/B, Dépôt à Soucy (Inspection visuelle)	Pont	48,5491586	-67,5134246	Figure 7
	MAT33-1S600	PATER	600	33/B, Dépôt à Soucy (Inspection visuelle)	Intersection de chemins	48,5491706	-67,5135723	Figure 7
	MAT33-1S601	PATER	601	33/B, Dépôt à Soucy (Inspection visuelle)	Dépotoir	48,5490838	-67,5124415	Figure 7
	MAT33-1S602	PATER	602	33/B, Dépôt à Soucy (Inspection visuelle)	Anomalie: fosse (latrine?)	48,5492642	-67,5136004	Figure 7
MAT33-1K		PATER	603	33/B, secteur du dépôt	Sondage positif (artefacts historiques)	48,5490244	-67,5125101	Figure 7
MAT33-1L		PATER	604	33/B, secteur du dépôt	Sondage positif (artefacts historiques)	48,5490391	-67,5125285	Figure 7
MAT33-1M		PATER	605	33/B, secteur du dépôt	Sondage positif (artefacts historiques)	48,5490387	-67,5130635	Figure 7, Annexe 2
MAT33-1N		PATER	606	33/B, secteur du dépôt	Sondage positif (artefacts historiques)	48,5490771	-67,5130903	Figure 7

Opération, Sous-op.	Inspection visuelle	GPS	Point	Zone de potentiel / Secteur	Description	Coordonnées		Références
						Latitude	Longitude	
MAT33-1P		PATER	607	33/B, secteur du dépôt	Sondage positif (artefacts historiques)	48,5484174	-67,5125991	Figure 7, Annexe 2
MAT33-1Q		PATER	608	33/B, secteur du dépôt	Sondage positif (artefacts historiques)	48,5490634	-67,5132396	Figure 7
MAT33-1R		PATER	609	33/B, secteur du dépôt	Sondage positif (artefacts historiques)	48,5484342	-67,5124543	Figure 7, Annexe 2
MAT33-1S		PATER	611	33/B, secteur du dépôt	Sondage positif (artefacts historiques)	48,5490764	-67,513016	Figure 7
MAT33-1T		PATER	612	33/B, secteur du dépôt	Sondage positif (artefacts historiques)	48,5490903	-67,513179	Figure 7
<b>MAT37a - Pointe Fine</b>								
MAT37a-1A		PATER	177	37a/A, secteur de la pointe Fine	Sondage à la pelle, négatif	48,5377516	-67,4791376	Figure 8
MAT37a-1B		PATER	178	37a/A, secteur de la pointe Fine	Sondage à la pelle, négatif	48,5377508	-67,4791428	Figure 8
MAT37a-1C		PATER	179	37a/A, secteur de la pointe Fine	Sondage à la pelle, négatif	48,5377939	-67,4791313	Figure 8
MAT37a-1D		PATER	180	37a/A, secteur de la pointe Fine	Sondage à la pelle, négatif	48,5379249	-67,4790818	Figure 8
MAT37a-1E		PATER	181	37a/A, secteur de la pointe Fine	Sondage à la pelle, négatif	48,537962	-67,479042	Figure 8
MAT37a-1F		PATER	182	37a/A, secteur de la pointe Fine	Sondage à la pelle, négatif, coupe stratigraphique type	48,5379917	-67,4790395	Figure 7, Annexe 2
MAT37a-1G		PATER	183	37a/A, secteur de la pointe Fine	Sondage à la pelle (possible éclat de quartzite)	48,5380654	-67,4789341	Figure 8
MAT37a-1H		PATER	184	37a/A, secteur de la pointe Fine	Sondage à la pelle, négatif	48,538141	-67,4788912	Figure 8
MAT37a-1I		PATER	185	37a/A, secteur de la pointe Fine	Sondage à la pelle, négatif	48,5381919	-67,4788115	Figure 8
MAT37a-1J		PATER	186	37a/A, secteur de la pointe Fine	Sondage à la pelle, négatif	48,5382085	-67,4787266	Figure 8
MAT37a-1K		PATER	187	37a/A, secteur de la pointe Fine	Sondage à la pelle, négatif	48,5382503	-67,4786813	Figure 8
MAT37a-1L		PATER	188	37a/A, secteur de la pointe Fine	Sondage à la pelle, négatif, coupe stratigraphique type	48,538383	-67,4785366	Figure 7, Annexe 2
MAT37a-1M		PATER	190	37a/A, secteur de la pointe Fine	Sondage à la pelle, négatif	48,5381145	-67,4790202	Figure 8
MAT37a-1N		PATER	193	37a/A, secteur de la pointe Fine	Sondage à la pelle, négatif	48,5380929	-67,4790175	Figure 8
MAT37a-1P		PATER	194	37a/A, secteur de la pointe Fine	Sondage à la pelle, négatif	48,5379852	-67,4788547	Figure 8
MAT37a-1Q		PATER	191	37a/A, secteur de la pointe Fine	Sondage à la pelle, négatif	48,5381446	-67,4790665	Figure 8
MAT37a-1R		PATER	192	37a/A, secteur de la pointe Fine	Sondage à la pelle, négatif	48,5380678	-67,4788116	Figure 8
MAT37a-1S		PATER	195	37a/A, secteur de la pointe Fine	Sondage à la pelle, négatif	48,5380104	-67,4786391	Figure 8
MAT37a-1T		PATER	196	37a/A, secteur de la pointe Fine	Sondage à la pelle, négatif	48,5380314	-67,4786806	Figure 8
MAT37a-1U		PATER	197	37a/A, secteur de la pointe Fine	Sondage à la pelle, négatif	48,5383315	-67,4792389	Figure 8

Opération, Sous-op.	Inspection visuelle	GPS	Point	Zone de potentiel / Secteur	Description	Coordonnées		Références
						Latitude	Longitude	
MAT37a-1V		PATER	198	37a/A, secteur de la pointe Fine	Sondage à la pelle, négatif	48,5383841	-67,4791747	Figure 8
MAT37a-1W		PATER	199	37a/A, secteur de la pointe Fine	Sondage à la pelle, négatif	48,5385452	-67,4791724	Figure 8
MAT37a-1X		PATER	200	37a/A, secteur de la pointe Fine	Sondage à la pelle, négatif	48,5385203	-67,4789347	Figure 8
MAT37a-1Y		PATER	201	37a/A, secteur de la pointe Fine	Sondage à la pelle, négatif	48,5384022	-67,4785966	Figure 8
MAT37a-1Z		PATER	202	37a/A, secteur de la pointe Fine	Sondage à la pelle, négatif	48,5383526	-67,4785088	Figure 8
MAT37a-1AA		PATER	203	37a/A, secteur de la pointe Fine	Sondage à la pelle, négatif	48,5382794	-67,4784876	Figure 8
MAT37a-1AB		PATER	204	37a/A, secteur de la pointe Fine	Sondage à la pelle, négatif	48,5382948	-67,4790444	Figure 8
MAT37a-1AC		PATER	206	37a/A, secteur de la pointe Fine	Sondage à la pelle, négatif	48,5387759	-67,4792549	Figure 8
MAT37a-1AD		PATER	207	37a/A, secteur de la pointe Fine	Sondage à la pelle, négatif	48,5388177	-67,4792938	Figure 8
MAT37a-1AE		PATER	208	37a/A, secteur de la pointe Fine	Sondage à la pelle, négatif	48,5382887	-67,4779949	Figure 8
MAT37a-1AF		PATER	209	37a/A, secteur de la pointe Fine	Sondage à la pelle, positif; ossement avec trace de boucherie	48,5383288	-67,4776278	Figure 8
MAT37a-1AG		PATER	210	37a/A, secteur de la pointe Fine	Sondage à la pelle, négatif	48,5380982	-67,4783065	Figure 8
MAT37a-1AH		PATER	211	37a/B, secteur du Promotoire	Sondage à la pelle, négatif	48,5418122	-67,485057	Figure 8
MAT37a-1AI		PATER	212	37a/B, secteur du Promotoire	Sondage à la pelle, négatif	48,5418134	-67,4850184	Figure 8
MAT37a-1AJ		PATER	213	37a/B, secteur du Promotoire	Sondage à la pelle, négatif	48,5418231	-67,4850534	Figure 8
MAT37a-1AK		PATER	214	37a/B, secteur du Promotoire	Sondage à la pelle, négatif	48,5418196	-67,4851008	Figure 8
<b>MAT37 - Ruisseau Michaud et Fort Madapeguia</b>								
MAT37-1B		PATER	216	37, a) secteur du ruisseau Michaud	Sondage à la pelle, négatif	48,5320001	-67,4601459	Figure 9
MAT37-1C		PATER	217	37, a) secteur du ruisseau Michaud	Sondage à la pelle, négatif	48,5320395	-67,4601049	Figure 9
MAT37-1D		PATER	218	37, a) secteur du ruisseau Michaud	Sondage à la pelle, négatif	48,5320436	-67,4601092	Figure 9
MAT37-1E		PATER	219	37, a) secteur du ruisseau Michaud	Sondage à la pelle, négatif	48,5321095	-67,460238	Figure 9
MAT37-1F		PATER	220	37, a) secteur du ruisseau Michaud	Sondage à la pelle, négatif	48,5321619	-67,4603034	Figure 9
MAT37-1G		PATER	221	37, a) secteur du ruisseau Michaud	Sondage à la pelle, négatif	48,5320959	-67,4600973	Figure 9
MAT37-1H		PATER	222	37, a) secteur du ruisseau Michaud	Sondage à la pelle, négatif	48,5319484	-67,4602285	Figure 9
MAT37-1I		PATER	223	37, a) secteur du ruisseau Michaud	Sondage à la pelle, négatif	48,5321353	-67,4601186	Figure 9
MAT37-1J		PATER	224	37, a) secteur du ruisseau Michaud	Sondage à la pelle, négatif	48,532131	-67,4600964	Figure 9
MAT37-1K		PATER	225	37, a) secteur du ruisseau Michaud	Sondage à la pelle, négatif	48,5321471	-67,4602221	Figure 9
MAT37-1L		PATER	226	37, a) secteur du ruisseau Michaud	Sondage à la pelle, négatif	48,5321486	-67,4602271	Figure 9
MAT37-1M		PATER	227	37, a) secteur du ruisseau Michaud	Sondage à la pelle, négatif	48,5321845	-67,4602236	Figure 9
MAT37-1N		PATER	228	37, a) secteur du ruisseau Michaud	Sondage à la pelle, négatif	48,5321675	-67,4602026	Figure 9
MAT37-1P		PATER	229	37, a) secteur du ruisseau Michaud	Sondage à la pelle, négatif	48,5319728	-67,4601228	Figure 9

Opération, Sous-op.	Inspection visuelle	GPS	Point	Zone de potentiel / Secteur	Description	Coordonnées		Références
						Latitude	Longitude	
MAT37-1Q		PATER	230	37, a) secteur du ruisseau Michaud	Sondage à la pelle, négatif, coupe stratigraphique type	48,5320208	-67,4601756	Figure 9, Annexe 2
MAT37-1R		PATER	231	37, b) bord de terrasse près du Fort	Sondage à la pelle, négatif	48,5315703	-67,4584767	Figure 9
MAT37-1S		PATER	232	37, b) bord de terrasse près du Fort	Sondage à la pelle, négatif	48,5315846	-67,4585123	Figure 9
MAT37-1T		PATER	233	37, b) bord de terrasse près du Fort	Sondage à la pelle, négatif	48,5316143	-67,4585249	Figure 9
MAT37-1U		PATER	234	37, b) bord de terrasse près du Fort	Sondage à la pelle, négatif	48,531737	-67,4586737	Figure 9
MAT37-1V		PATER	235	37, b) bord de terrasse près du Fort	Sondage à la pelle, négatif	48,5317162	-67,4587244	Figure 9
MAT37-1W		PATER	236	37, b) bord de terrasse près du Fort	Sondage à la pelle, négatif	48,5315613	-67,4583782	Figure 9
MAT37-1X		PATER	237	37, b) bord de terrasse près du Fort	Sondage à la pelle, négatif	48,5315685	-67,4583545	Figure 9
MAT37-1Y		PATER	238	37, b) bord de terrasse près du Fort	Sondage à la pelle, négatif	48,5315528	-67,4582322	Figure 9
MAT37-1Z		PATER	239	37, b) bord de terrasse près du Fort	Sondage à la pelle, négatif	48,5314772	-67,4581332	Figure 9
MAT37-1AA		PATER	240	37, b) bord de terrasse près du Fort Madapeguia	Sondage à la pelle, négatif, coupe stratigraphique type	48,5314483	-67,458043	Figure 9, Annexe 2
MAT37-1AB		PATER	241	37, b) bord de terrasse près du Fort	Sondage à la pelle, négatif	48,5314229	-67,4579796	Figure 9
MAT37-1AC		PATER	242	37, b) bord de terrasse près du Fort	Sondage à la pelle, négatif	48,5313801	-67,4578705	Figure 9
MAT37-1AD		PATER	243	37, b) bord de terrasse près du Fort	Sondage à la pelle, négatif	48,5314254	-67,4577558	Figure 9
MAT37-1AE		PATER	244	37, b) bord de terrasse près du Fort	Sondage à la pelle, négatif	48,5314155	-67,4577436	Figure 9
MAT37-1AF		PATER	245	37, b) bord de terrasse près du Fort	Sondage à la pelle, négatif	48,531336	-67,4576638	Figure 9
MAT37-1AG		PATER	246	37, b) bord de terrasse près du Fort	Sondage à la pelle, négatif	48,5313291	-67,457522	Figure 9
MAT37-1AH		PATER	247	37, b) bord de terrasse près du Fort	Sondage à la pelle, négatif	48,5312722	-67,4574191	Figure 9
MAT37-1AI		PATER	248	37, b) bord de terrasse près du Fort Madapeguia	Sondage à la pelle, positif (fragments de vitre dans une fosse), coupe stratigraphique type	48,531308	-67,4573526	Figure 9, Annexe 2
MAT37-1AJ		PATER	249	37, b) bord de terrasse près du Fort	Sondage à la pelle, négatif	48,5312754	-67,4572303	Figure 9
MAT37-1AK		PATER	250	37, b) bord de terrasse près du Fort	Sondage à la pelle, négatif	48,5312541	-67,4571271	Figure 9
MAT37-1AL		PATER	252	37, b) bord de terrasse près du Fort	Sondage à la pelle, négatif	48,5312949	-67,4569483	Figure 9
MAT37-1AM		PATER	253	37, b) bord de terrasse près du Fort	Sondage à la pelle, négatif	48,5312758	-67,4569463	Figure 9
MAT37-1AN		PATER	254	37, b) bord de terrasse près du Fort	Sondage à la pelle, négatif	48,5312869	-67,456935	Figure 9
MAT37-1AP		PATER	255	37, b) bord de terrasse près du Fort	Sondage à la pelle, négatif	48,5312622	-67,4568464	Figure 9
MAT37-1AQ		PATER	256	37, b) bord de terrasse près du Fort	Sondage à la pelle, négatif	48,53131	-67,4567535	Figure 9
MAT37-1AR		PATER	257	37, b) bord de terrasse près du Fort	Sondage à la pelle, négatif	48,5312556	-67,4566219	Figure 9
MAT37-1AS		PATER	258	37, b) bord de terrasse près du Fort	Sondage à la pelle, négatif	48,5312879	-67,4565983	Figure 9

Opération, Sous-op.	Inspection visuelle	GPS	Point	Zone de potentiel / Secteur	Description	Coordonnées		Références
						Latitude	Longitude	
MAT37-1AT		PATER	259	37, b) bord de terrasse près du Fort	Sondage à la pelle, négatif	48,5313704	-67,4565287	Figure 9
MAT37-1AU		PATER	260	37, b) bord de terrasse près du Fort	Sondage à la pelle, négatif	48,5314633	-67,4565759	Figure 9
MAT37-1AV		PATER	261	37, b) bord de terrasse près du Fort	Sondage à la pelle, négatif	48,5312697	-67,4565722	Figure 9
MAT37-1AW		PATER	262	37, b) bord de terrasse près du Fort	Sondage à la pelle, négatif	48,5312598	-67,4565306	Figure 9
MAT37-1AX		PATER	263	37, b) bord de terrasse près du Fort	Sondage à la pelle, négatif	48,5312366	-67,4564755	Figure 9
MAT37-1AY		PATER	264	37, b) bord de terrasse près du Fort	Sondage à la pelle, négatif	48,5312601	-67,4562229	Figure 9
MAT37-1AZ		PATER	265	37, b) bord de terrasse près du Fort	Sondage à la pelle, négatif	48,5311819	-67,4562678	Figure 9
MAT37-1BA		PATER	267	37, b) bord de terrasse près du Fort	Sondage à la pelle, négatif	48,5311853	-67,4562099	Figure 9
MAT37-1BB		PATER	268	37, b) bord de terrasse près du Fort	Sondage à la pelle, négatif	48,5311675	-67,455927	Figure 9
MAT37-1BC		PATER	269	37, b) bord de terrasse près du Fort	Sondage à la pelle, négatif	48,531118	-67,455812	Figure 9
MAT37-1BD		PATER	270	37, b) bord de terrasse près du Fort	Sondage à la pelle, négatif	48,5312245	-67,4556897	Figure 9
MAT37-1BE		PATER	271	37, b) bord de terrasse près du Fort	Sondage à la pelle, négatif	48,5313301	-67,4559143	Figure 9
MAT37-1BF		PATER	272	37, b) bord de terrasse près du Fort	Sondage à la pelle, négatif	48,5313509	-67,4560082	Figure 9
MAT37-1BG		PATER	273	37, b) bord de terrasse près du Fort	Sondage à la pelle, négatif	48,5312174	-67,4560794	Figure 9
MAT37-1BH		PATER	275	37, b) bord de terrasse près du Fort	Sondage à la pelle, négatif	48,5309873	-67,45544	Figure 9
MAT37-1BI		PATER	276	37, b) bord de terrasse près du Fort Madapeguia	Sondage positif (pointe de projectile), coupe stratigraphique type	48,5309358	-67,4554419	Figure 9, Annexe 2, Annexe 3
MAT37-1BJ		PATER	277	37, b) bord de terrasse près du Fort	Sondage à la pelle, négatif	48,5310567	-67,4555456	Figure 9
MAT37-1BK		PATER	278	37, b) bord de terrasse près du Fort	Sondage à la pelle, négatif	48,5310872	-67,4555533	Figure 9
MAT37-1BL		PATER	279	37, b) bord de terrasse près du Fort	Sondage à la pelle, négatif	48,5310977	-67,4554991	Figure 9
MAT37-1BM		PATER	280	37, b) bord de terrasse près du Fort	Sondage à la pelle, négatif	48,5310528	-67,4553548	Figure 9
MAT37-1BN		PATER	281	37, b) bord de terrasse près du Fort	Sondage à la pelle, négatif	48,5310496	-67,4554037	Figure 9
MAT37-1BP		PATER	282	37, b) bord de terrasse près du Fort	Sondage à la pelle, négatif	48,5310081	-67,4554871	Figure 9
MAT37-1BQ		PATER	283	37, b) bord de terrasse près du Fort	Sondage à la pelle, négatif	48,5311412	-67,4555856	Figure 9
MAT37-1BR		PATER	284	37, b) bord de terrasse près du Fort	Sondage à la pelle, négatif	48,5311412	-67,4555845	Figure 9
MAT37-1BS		PATER	285	37, b) bord de terrasse près du Fort	Sondage à la pelle, négatif	48,5309424	-67,4552874	Figure 9
MAT37-1BT		PATER	286	37, b) bord de terrasse près du Fort	Sondage à la pelle, négatif	48,5309558	-67,455262	Figure 9
MAT37-1BU		PATER	287	37, b) bord de terrasse près du Fort	Sondage à la pelle, négatif	48,5308812	-67,4551671	Figure 9
MAT37-1BV		PATER	288	37, b) bord de terrasse près du Fort	Sondage à la pelle, négatif	48,5310532	-67,4554064	Figure 9
MAT37-1BW		PATER	289	37, b) bord de terrasse près du Fort	Sondage à la pelle, négatif	48,5310625	-67,4554159	Figure 9
MAT37-1BX		PATER	290	37, b) bord de terrasse près du Fort	Sondage à la pelle, négatif	48,5308532	-67,4550132	Figure 9
MAT37-1BY		PATER	291	37, b) bord de terrasse près du Fort	Sondage à la pelle, négatif	48,5308495	-67,4550094	Figure 9

Opération, Sous-op.	Inspection visuelle	GPS	Point	Zone de potentiel / Secteur	Description	Coordonnées		Références
						Latitude	Longitude	
MAT37-1BZ		PATER	301	37, b) bord de terrasse près du Fort	Sondage à la pelle, négatif	48,5310312	-67,4554801	Figure 9
MAT37-1CA		PATER	302	37, b) bord de terrasse près du Fort	Sondage à la pelle, négatif	48,5310315	-67,4554809	Figure 9
MAT37-1CB		PATER	303	37, b) bord de terrasse près du Fort	Sondage à la pelle, négatif	48,5310081	-67,4554504	Figure 9
MAT37-1CC		PATER	292	37, c) bord de terrasse, vers le Sud	Sondage à la pelle, négatif	48,5303251	-67,4543666	Figure 9
MAT37-1CD		PATER	293	37, c) bord de terrasse, vers le Sud	Sondage à la pelle, négatif	48,5303133	-67,4543674	Figure 9
MAT37-1CE		PATER	294	37, c) bord de terrasse, vers le Sud	Sondage à la pelle, négatif	48,530309	-67,454344	Figure 9
MAT37-1CF		PATER	295	37, c) bord de terrasse, vers le Sud	Sondage à la pelle, négatif	48,530256	-67,4541125	Figure 9
MAT37-1CG		PATER	296	37, c) bord de terrasse, vers le Sud	Sondage à la pelle, négatif	48,5303725	-67,4544929	Figure 9
MAT37-1CH		PATER	297	37, c) bord de terrasse, vers le Sud	Sondage à la pelle, négatif	48,5300327	-67,4541878	Figure 9
MAT37-1CI		PATER	298	37, c) bord de terrasse, vers le Sud	Sondage à la pelle, négatif	48,5299125	-67,4541205	Figure 9
MAT37-1CJ		PATER	299	37, c) bord de terrasse, vers le Sud	Sondage à la pelle, négatif	48,529796	-67,4540701	Figure 9
MAT37-1CK		PATER	300	37, c) bord de terrasse, vers le Sud	Sondage à la pelle, négatif	48,5297466	-67,4539761	Figure 9
<b>MIL - Milnikek</b>								
	MIL-1S091	GEO0292	91	Milnikek, rive gauche (Inspection visuelle)	Vestiges: intérieur de la scierie 1/4	48,1397635	-67,1584499	Figure 10
	MIL-1S093	GEO0292	93	Milnikek, rive gauche (Inspection visuelle)	Vestiges: intérieur de la scierie 2/4	48,1395726	-67,1583789	Figure 10
	MIL-1S094	GEO0292	94	Milnikek, rive gauche (Inspection visuelle)	Vestiges: intérieur de la scierie 3/4	48,1395262	-67,1584058	Figure 10
	MIL-1S095	GEO0292	95	Milnikek, rive gauche (Inspection visuelle)	Vestiges: intérieur de la scierie 4/4	48,1395944	-67,1585152	Figure 10
	MIL-1S096	GEO0292	96	Milnikek, rive gauche (Inspection visuelle)	Vestiges: structure de bois au sol avoisant une fondation de pierres	48,1395568	-67,1588369	Figure 10
	MIL-1S097	GEO0292	97	Milnikek, rive gauche (Inspection visuelle)	Vestiges: champ de blocs de pierres	48,1396155	-67,1589769	Figure 10
	MIL-1S098	GEO0292	98	Milnikek, rive gauche (Inspection visuelle)	Vestiges: monticule de pierres cagées	48,1393962	-67,158696	Figure 10
	MIL-1S099	GEO0292	99	Milnikek, rive gauche (Inspection visuelle)	Vestiges: fondation de pierres	48,1394729	-67,1586634	Figure 10
	MIL-1S100	GEO0292	100	Milnikek, rive gauche (Inspection visuelle)	Vestiges: barrage rive nord	48,1392871	-67,1577858	Figure 10
	MIL-1S101	GEO0292	101	Milnikek, rive gauche (Inspection visuelle)	Vestiges: limite est de la scierie	48,1392548	-67,1575254	Figure 10
	MIL-1S102	GEO0292	102	Milnikek, rive gauche (Inspection visuelle)	Vestiges: bloc de béton	48,1395285	-67,1581321	Figure 10
	MIL-1S103	GEO0292	103	Milnikek, rive gauche (Inspection visuelle)	Anomalie topographique: relief avec dépression centrale,	48,1395339	-67,1578517	Figure 10



Opération, Sous-op.	Inspection visuelle	GPS	Point	Zone de potentiel / Secteur	Description	Coordonnées		Références
						Latitude	Longitude	
	MIL-1S104	GEO0292	104	Milnikek, rive gauche (Inspection visuelle)	Coffrages enrochés d'un quai	48,1389711	-67,1566849	Figure 10
	MIL-1S105	GEO0292	105	Milnikek, rive gauche (Inspection visuelle)	Dépression allongée	48,1374692	-67,1560549	Figure 10
	MIL-1S106	GEO0292	106	Milnikek, rive gauche (Inspection visuelle)	Dépotoir	48,1374433	-67,1562169	Figure 10
	MIL-1S107	GEO0292	107	Milnikek, rive gauche (Inspection visuelle)	2 canettes de Pepsi	48,1373967	-67,1564505	Figure 10
	MIL-1S108	GEO0292	108	Milnikek, rive gauche (Inspection visuelle)	Bord d'une terrasse aménagée	48,1373689	-67,1564566	Figure 10
	MIL-1S109	GEO0292	109	Milnikek, rive gauche (Inspection visuelle)	Dépotoir dans une pente	48,1374484	-67,156564	Figure 10
	MIL-1S110	GEO0292	110	Milnikek, rive gauche (Inspection visuelle)	Dépotoir, haut de la pente	48,1373797	-67,1567729	Figure 10
	MIL-1S111	GEO0292	111	Milnikek, rive gauche (Inspection visuelle)	Dépotoir	48,1372979	-67,1567524	Figure 10
	MIL-1S112	GEO0292	112	Milnikek, rive gauche (Inspection visuelle)	Anomalies topographiques: série de dépressions	48,1373195	-67,1568906	Figure 10
	MIL-1S113	GEO0292	113	Milnikek, rive gauche (Inspection visuelle)	Dépotoir et anomalies topographique	48,137513	-67,1570937	Figure 10
	MIL-1S114	GEO0292	114	Milnikek, rive gauche (Inspection visuelle)	Dépotoir	48,137382	-67,1572625	Figure 10
	MIL-1S115	GEO0292	115	Milnikek, rive gauche (Inspection visuelle)	Dépotoir	48,1373889	-67,157147	Figure 10
	MIL-1S511	PATER	511	Milnikek, rive gauche (Inspection visuelle)	Sentier	48,1398154	-67,1583807	Figure 10
	MIL-1S512	PATER	512	Milnikek, rive gauche (Inspection visuelle)	Plaque de métal	48,1401216	-67,1594335	Figure 10
	MIL-1S513	PATER	513	Milnikek, rive gauche (Inspection visuelle)	Anomalie topographique: fosse	48,1402054	-67,1594263	Figure 10
	MIL-1S514	PATER	514	Milnikek, rive gauche (Inspection visuelle)	Anomalie topographique: fosse	48,1401612	-67,1591523	Figure 10
	MIL-1S515	PATER	515	Milnikek, rive gauche (Inspection visuelle)	Grille de métal	48,1400711	-67,1590649	Figure 10
	MIL-1S516	PATER	516	Milnikek, rive gauche (Inspection visuelle)	Grille de métal et plaques de	48,1401324	-67,1588726	Figure 10
	MIL-1S517	PATER	517	Milnikek, rive gauche (Inspection visuelle)	Morceau de fer avec fleur de	48,1401747	-67,1593958	Figure 10
	MIL-1S518	PATER	518	Milnikek, rive gauche (Inspection visuelle)	Bouteille de boisson gazeuse Snow White et boîtes de métal	48,1402188	-67,1588693	Figure 10
	MIL-1S519	PATER	519	Milnikek, rive gauche (Inspection visuelle)	Anomalie: grande dépression près de la rivière, ancien aménagement?	48,1399313	-67,1589783	Figure 10
	MIL-1S520	PATER	520	Milnikek, rive gauche (Inspection visuelle)	Anomalie topographique: fosse	48,139881	-67,1568057	Figure 10
	MIL-1S521	PATER	521	Milnikek, rive gauche (Inspection visuelle)	Pot en métal avec poignée	48,1398264	-67,1569124	Figure 10
	MIL-1S522	PATER	522	Milnikek, rive gauche (Inspection visuelle)	Anomalie: fosse (latrine?)	48,1398329	-67,1571385	Figure 10
	MIL-1S523	PATER	523	Milnikek, rive gauche (Inspection visuelle)	Pièce de rail	48,1383751	-67,1527005	Figure 10
	MIL-1S524	PATER	524	Milnikek, rive gauche (Inspection visuelle)	Pièce de rail	48,1388065	-67,152083	Figure 10
	MIL-1S525	PATER	525	Milnikek, rive gauche (Inspection visuelle)	Vestige: ouvrage de soutènement?	48,1398897	-67,1499825	Figure 10

Opération, Sous-op.	Inspection visuelle	GPS	Point	Zone de potentiel / Secteur	Description	Coordonnées		Références
						Latitude	Longitude	
	MIL-1S526	PATER	526	Milnikek, rive gauche (Inspection visuelle)	Piquet de clôture	48,1401995	-67,149921	Figure 10
	MIL-1S527	PATER	527	Milnikek, rive gauche (Inspection visuelle)	Piquet de clôture	48,1401868	-67,1499276	Figure 10
	MIL-1S528	PATER	528	Milnikek, rive gauche (Inspection visuelle)	Piquet de clôture	48,140166	-67,150014	Figure 10
	MIL-1S529	PATER	529	Milnikek, rive gauche (Inspection visuelle)	Piquet de clôture	48,1405111	-67,1492444	Figure 10
	MIL-1S530	PATER	530	Milnikek, rive gauche (Inspection visuelle)	Piquet de clôture	48,1405006	-67,1492809	Figure 10
	MIL-1S531	PATER	531	Milnikek, rive gauche (Inspection visuelle)	Piquet de clôture	48,1404815	-67,1493537	Figure 10
	MIL-1S532	PATER	532	Milnikek, rive gauche (Inspection visuelle)	Piquet de clôture	48,1404725	-67,1493822	Figure 10
	MIL-1S533	PATER	533	Milnikek, rive gauche (Inspection visuelle)	Piquet de clôture	48,1404539	-67,1494097	Figure 10
	MIL-1S534	PATER	534	Milnikek, rive gauche (Inspection visuelle)	Pièce de métal	48,1404566	-67,1493573	Figure 10
	MIL-1S535	PATER	535	Milnikek, rive gauche (Inspection visuelle)	Piquet de clôture	48,1405176	-67,1492614	Figure 10
	MIL-1S536	PATER	536	Milnikek, rive gauche (Inspection visuelle)	Piquet de clôture	48,1405657	-67,1491785	Figure 10
	MIL-1S537	PATER	537	Milnikek, rive gauche (Inspection visuelle)	Piquet de clôture	48,1405776	-67,1491522	Figure 10
	MIL-1S538	PATER	538	Milnikek, rive gauche (Inspection visuelle)	Piquet de clôture	48,1406092	-67,1491072	Figure 10
	MIL-1S539	PATER	539	Milnikek, rive gauche (Inspection visuelle)	Piquet de clôture	48,1407146	-67,1489439	Figure 10
	MIL-1S540	PATER	540	Milnikek, rive gauche (Inspection visuelle)	Piquet de clôture	48,1407446	-67,148923	Figure 10
	MIL-1S541	PATER	541	Milnikek, rive droite (Inspection visuelle)	Anomalie topographique: fosse	48,1394945	-67,1540452	Figure 10
	MIL-1S542	PATER	542	Milnikek, rive droite (Inspection visuelle)	Anomalie topographique: fosse	48,1394389	-67,1542708	Figure 10
	MIL-1S543	PATER	543	Milnikek, rive droite (Inspection visuelle)	Fondation	48,1372617	-67,1547808	Figure 10
	MIL-1S544	PATER	544	Milnikek, rive droite (Inspection visuelle)	Fondation	48,1379361	-67,1556783	Figure 10
	MIL-1S545	PATER	545	Milnikek, rive droite (Inspection visuelle)	Contenant de métal	48,1383841	-67,156268	Figure 10
	MIL-1S546	PATER	546	Milnikek, rive droite (Inspection visuelle)	Concentration d'artefacts (métal, verre, céramique)	48,1383825	-67,1564934	Figure 10
	MIL-1S547	PATER	547	Milnikek, rive droite (Inspection visuelle)	Tuyau de métal	48,138385	-67,1565152	Figure 10
	MIL-1S548	PATER	548	Milnikek, rive droite (Inspection visuelle)	Bouteille de boisson gazeuse Pure Spring	48,1383118	-67,1565294	Figure 10
	MIL-1S549	PATER	549	Milnikek, rive droite (Inspection visuelle)	Bouteille de boisson gazeuse Nesbitt's	48,138342	-67,1566719	Figure 10
	MIL-1S550	PATER	550	Milnikek, rive droite (Inspection visuelle)	Chemin	48,138347	-67,1565398	Figure 10
	MIL-1S551	PATER	551	Milnikek, rive droite (Inspection visuelle)	Vestiges: brûleur	48,1388453	-67,1577791	Figure 10
	MIL-1S552	PATER	552	Milnikek, rive droite (Inspection visuelle)	Vestiges: mur nord du brûleur	48,1388865	-67,1578056	Figure 10
	MIL-1S553	PATER	553	Milnikek, rive droite (Inspection visuelle)	Vestiges: structure de bois traversant la rivière	48,1391149	-67,1578267	Figure 10
	MIL-1S554	PATER	554	Milnikek, rive droite (Inspection visuelle)	Seau	48,1384524	-67,1568348	Figure 10

Opération, Sous-op.	Inspection visuelle	GPS	Point	Zone de potentiel / Secteur	Description	Coordonnées		Références
						Latitude	Longitude	
	MIL-1S555	PATER	555	Milnikek, rive droite (Inspection visuelle)	Couvercle de marmite	48,138083	-67,1561324	Figure 10
	MIL-1S556	PATER	556	Milnikek, rive droite (Inspection visuelle)	Bande de métal	48,1381987	-67,1559272	Figure 10
	MIL-1S558	PATER	558	Milnikek, rive droite (Inspection visuelle)	Vestiges: coin d'une fondation	48,1374413	-67,1555663	Figure 10
	MIL-1S559	PATER	559	Milnikek, rive droite (Inspection visuelle)	Bouteille de verre	48,1374691	-67,1555166	Figure 10
	MIL-1S560	PATER	560	Milnikek, rive droite (Inspection visuelle)	Chemin	48,1374226	-67,1555421	Figure 10
	MIL-1S561	PATER	561	Milnikek, rive droite (Inspection visuelle)	Vestiges: centre d'un bâtiment	48,1374774	-67,1554755	Figure 10
	MIL-1S562	PATER	562	Milnikek, rive droite (Inspection visuelle)	Vestiges: coin d'une fondation	48,1373572	-67,1555854	Figure 10
	MIL-1S563	PATER	563	Milnikek, rive droite (Inspection visuelle)	Anomalie topographique	48,1373207	-67,1558603	Figure 10
	MIL-1S564	PATER	564	Milnikek, rive droite (Inspection visuelle)	Anomalie topographique	48,137322	-67,1558606	Figure 10
	MIL-1S565	PATER	565	Milnikek, rive droite (Inspection visuelle)	Anomalie topographique	48,1373231	-67,1558586	Figure 10
	MIL-1S566	PATER	566	Milnikek, rive droite (Inspection visuelle)	Anomalie topographique	48,1373694	-67,1557545	Figure 10
	MIL-1S567	PATER	567	Milnikek, rive droite (Inspection visuelle)	Vestiges: possible coin de fondation	48,1373749	-67,1556832	Figure 10
	MIL-1S568	PATER	568	Milnikek, rive droite (Inspection visuelle)	Fragment de gouttière	48,1371624	-67,1558243	Figure 10
	MIL-1S569	PATER	569	Milnikek, rive droite (Inspection visuelle)	Fragment de métal	48,1371385	-67,1558049	Figure 10
	MIL-1S570	PATER	570	Milnikek, rive droite (Inspection visuelle)	Tas de gravier	48,1369641	-67,1560572	Figure 10
	MIL-1S571	PATER	571	Milnikek, rive droite (Inspection visuelle)	Vestiges: alignement de pierre (rangée de maisons?)	48,1373566	-67,1559893	Figure 10
	MIL-1S572	PATER	572	Milnikek, rive droite (Inspection visuelle)	Possible coin de fondation	48,137205	-67,156035	Figure 10
	MIL-1S573	PATER	573	Milnikek, rive droite (Inspection visuelle)	Vestiges: alignement de pierres (rangée de maisons?)	48,137213	-67,1560167	Figure 10
	MIL-1S574	PATER	574	Milnikek, rive droite (Inspection visuelle)	Vestiges: alignement de pierres (rangée de maisons?)	48,1372232	-67,1560126	Figure 10
	MIL-1S575	PATER	575	Milnikek, rive droite (Inspection visuelle)	Vestiges: alignement de pierres (rangée de maisons?)	48,1372478	-67,1559867	Figure 10
	MIL-1S576	PATER	576	Milnikek, rive droite (Inspection visuelle)	Vestiges: alignement de pierres (rangée de maisons?)	48,13729	-67,1559907	Figure 10
	MIL-1S577	PATER	577	Milnikek, rive droite (Inspection visuelle)	Vestiges: alignement de pierres (rangée de maisons?)	48,1373448	-67,1560199	Figure 10
	MIL-1S578	PATER	578	Milnikek, rive droite (Inspection visuelle)	Vestiges: alignement de pierres (rangée de maisons?)	48,1374201	-67,1559619	Figure 10
	MIL-1S579	PATER	579	Milnikek, rive droite (Inspection visuelle)	Vestiges: alignement de pierres (rangée de maisons?)	48,1374314	-67,1559632	Figure 10

Opération, Sous-op.	Inspection visuelle	GPS	Point	Zone de potentiel / Secteur	Description	Coordonnées		Références
						Latitude	Longitude	
	MIL-1S580	PATER	580	Milnikek, rive droite (Inspection visuelle)	Vestiges: alignement de pierres (rangée de maisons?)	48,1374428	-67,1559603	Figure 10
	MIL-1S581	PATER	581	Milnikek, rive droite (Inspection visuelle)	Vestiges: alignement de pierres (rangée de maisons?)	48,1374623	-67,1559489	Figure 10
	MIL-1S582	PATER	582	Milnikek, rive droite (Inspection visuelle)	Vestiges: alignement de pierres (rangée de maisons?)	48,1375243	-67,1559348	Figure 10
	MIL-1S583	PATER	583	Milnikek, rive droite (Inspection visuelle)	Vestiges: alignement de pierres (rangée de maisons?)	48,1375444	-67,155964	Figure 10
	MIL-1S584	PATER	584	Milnikek, rive droite (Inspection visuelle)	Vestiges: alignement de pierres (rangée de maisons?)	48,1375599	-67,1559395	Figure 10
	MIL-1S585	PATER	585	Milnikek, rive droite (Inspection visuelle)	Vestiges: alignement de pierres (rangée de maisons?)	48,1375956	-67,1559106	Figure 10
	MIL-1S586	PATER	586	Milnikek, rive droite (Inspection visuelle)	Vestiges: alignement de pierres (rangée de maisons?)	48,1376103	-67,1558817	Figure 10
	MIL-1S587	PATER	587	Milnikek, rive droite (Inspection visuelle)	Vestiges: alignement de pierres (rangée de maisons?)	48,137636	-67,1558467	Figure 10
	MIL-1S589	PATER	589	Milnikek, rive droite (Inspection visuelle)	Chemin	48,1375029	-67,1560081	Figure 10
	MIL-1S590	PATER	590	Milnikek, rive droite (Inspection visuelle)	Croisement de chemins	48,1374503	-67,1560594	Figure 10
	MIL-1S591	PATER	591	Milnikek, rive droite (Inspection visuelle)	Vestiges: alignement de pierres	48,137521	-67,1557661	Figure 10
	MIL-1S592	PATER	592	Milnikek, rive droite (Inspection visuelle)	Coin NO d'un bâtiment	48,1375133	-67,1555382	Figure 10
	MIL-1S593	PATER	593	Milnikek, rive droite (Inspection visuelle)	Coin NE d'un bâtiment	48,1374375	-67,1553591	Figure 10
	MIL-1S594	PATER	594	Milnikek, rive droite (Inspection visuelle)	Vestiges: alignement de pierres	48,1377783	-67,1551194	Figure 10

## **Annexe 2. Plans et coupes**



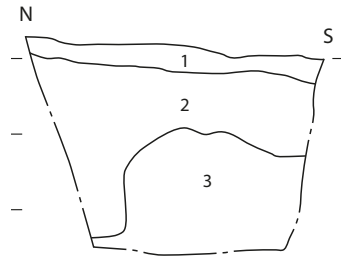
**Zone de potentiel amérindien 25**  
Sentier Les Explorateurs

MAT25-1G

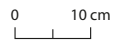
1. Glaise
2. Humus
3. Glaise

MAT25-1N

Paroi est



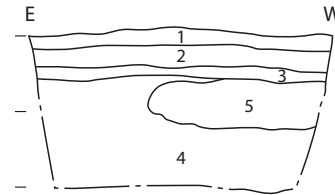
1. Humus
2. Ae mélangé au sable orange
3. Sable orange



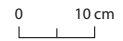
**Zone de potentiel amérindien 26**  
Baie de Charlie

MAT26-1R

Paroi sud

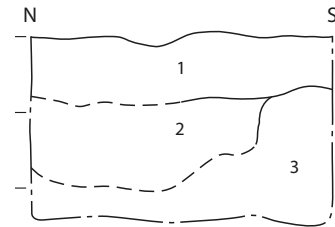


1. Humus
2. Humus décomposé
3. Ae
4. Sable rouille
5. Sable rubéfié

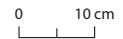


MAT26-1A1

Paroi est



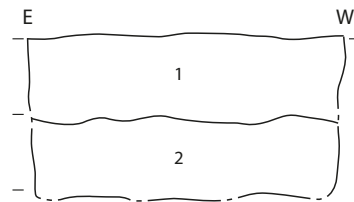
1. Humus
2. Ae mélangé
3. Sable rouille



**Zone de potentiel amérindien 30**  
Rivière Matane

MAT30-1F

Paroi sud

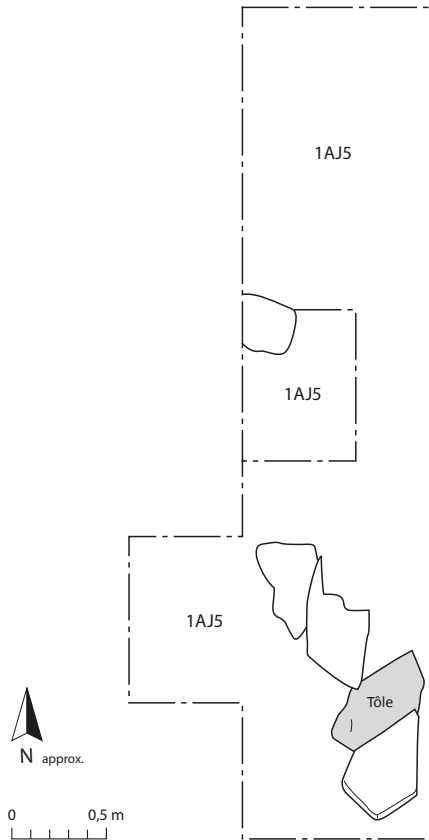


1. Humus
2. Sable orange

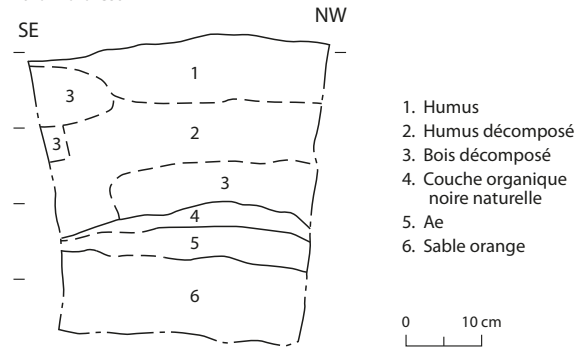


**Zone de potentiel amérindien 31**  
Ruisseau de la baie à Zénon

**MAT31-1AJ**  
Plan



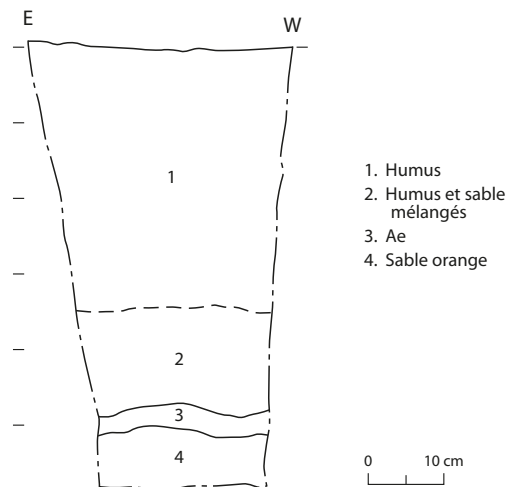
**MAT31-1F**  
Paroi nord-est



**MAT31-1Q**  
Paroi sud-est



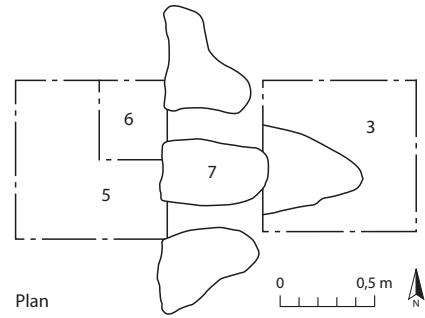
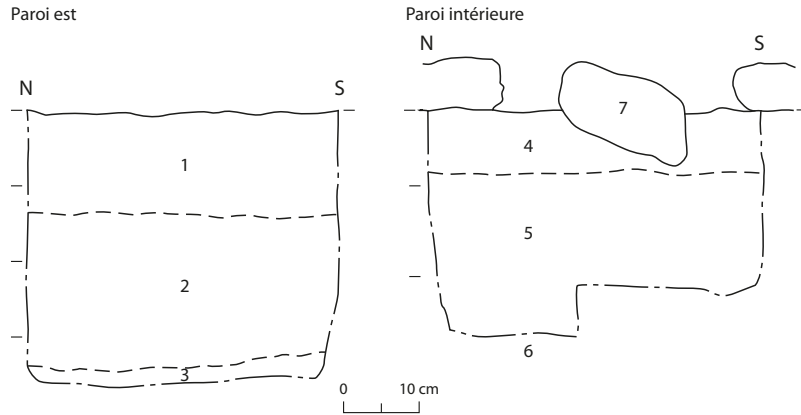
**MAT31-1AG**  
Paroi sud





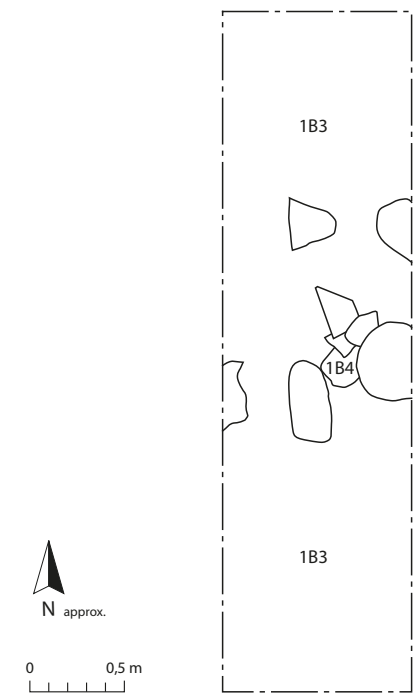
**Zone de potentiel amérindien 32**  
**Chalet à Soucy**

**MAT32-1D**  
 Paroi est

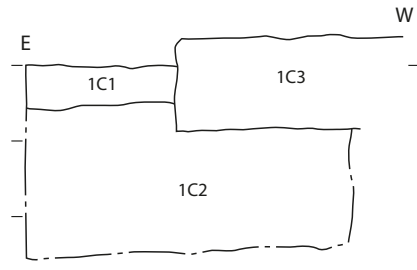


- 1 = 4. Humus
- 2 = 5. Couche caillouteuse
- 3 = 6. Sable grossier
- 7. Alignement de pierres

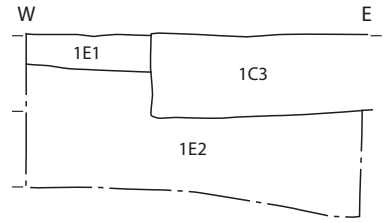
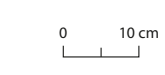
**MAT32-1B**  
 Plan



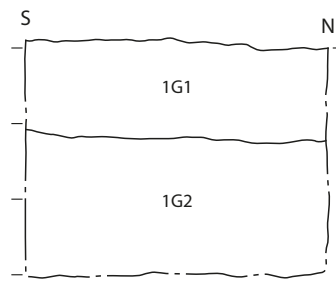
**MAT32-1C**  
 Paroi sud



**MAT32-1E**  
 Paroi nord



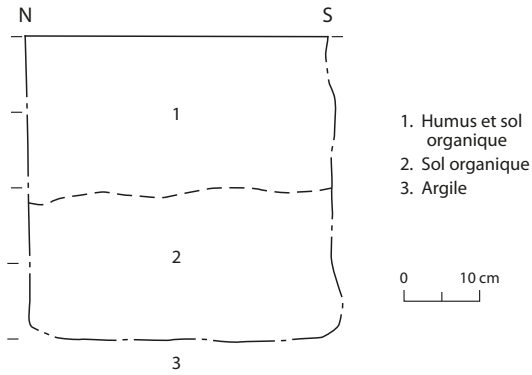
**MAT32-1G**  
 Paroi ouest



**Zone de potentiel amérindien 33**  
 Dépôt à Soucy

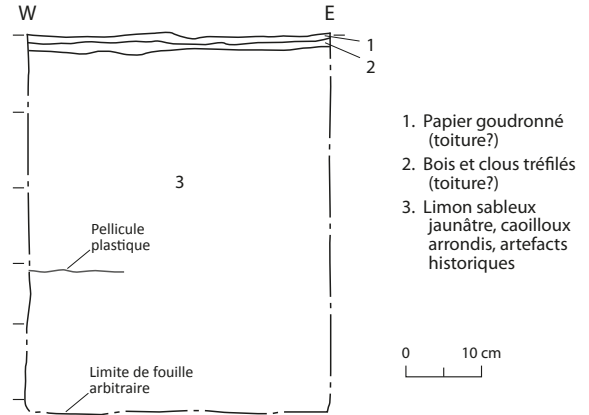
**MAT33-1H**

Paroi est



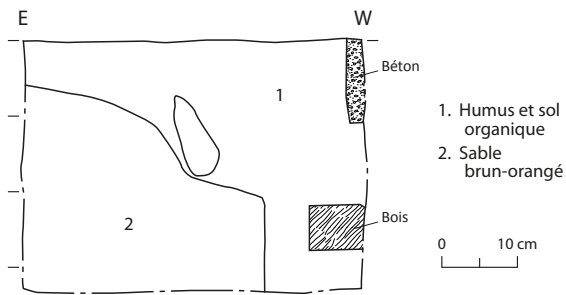
**MAT33-1P**

Paroi nord



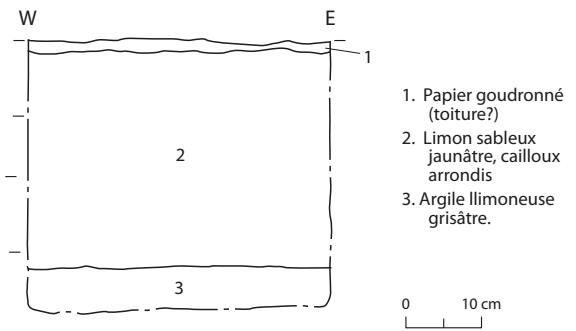
**MAT33-1M**

Paroi sud



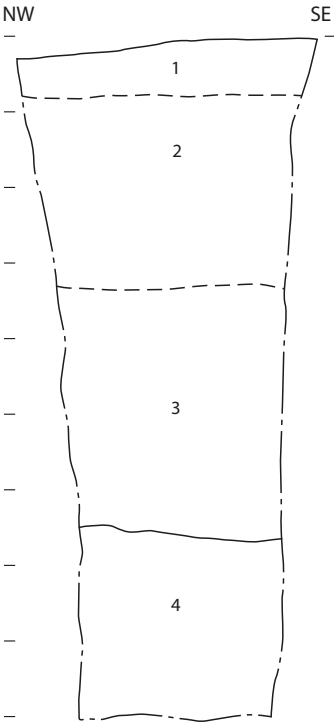
**MAT33-1R**

Paroi nord



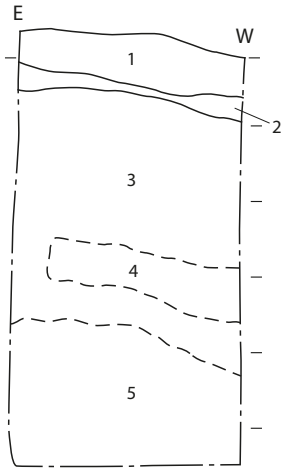
**Zone de potentiel amérindien 37a**  
Pointe Fine

**MAT37a-1F**  
Paroi nord-est



- 1. Humus
- 2. Cailloutis et sable orangé
- 3. Cailloutis et sable brun
- 4. Sable

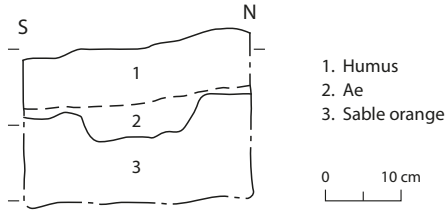
**MAT37a-1L**  
Paroi sud



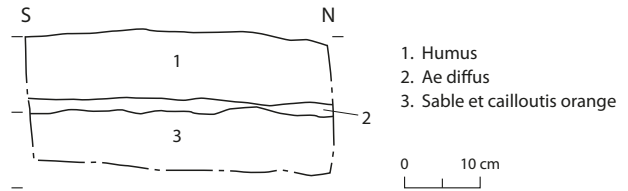
- 1. Humus
- 2. Ae
- 3. Horizon enrichi sableux
- 4. Sable brun

**Zone de potentiel amérindien 37**  
Ruisseau Michaud et Fort Madapeguia

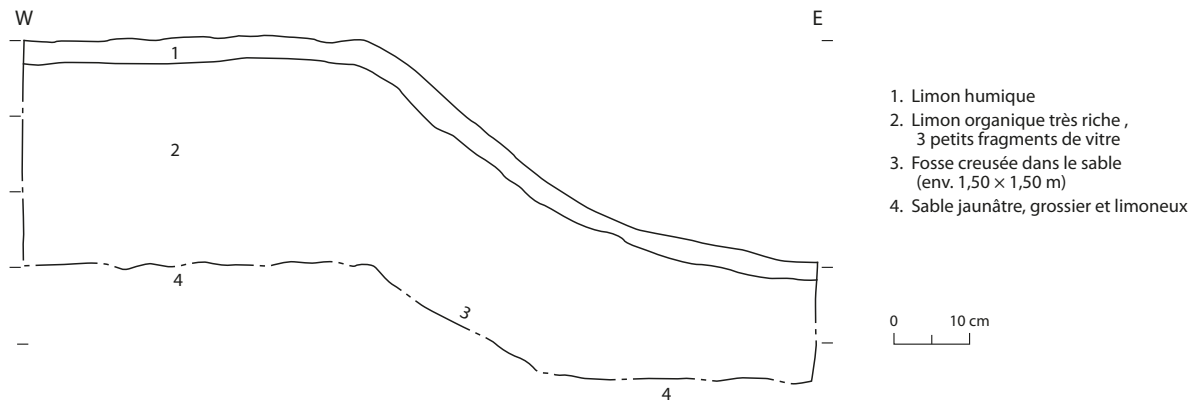
**MAT37-1Q**  
Paroi ouest



**MAT37-1AA**  
Paroi ouest



**MAT37-1AI**  
Paroi nord



**MAT37-1BI**  
Paroi ouest



## **Annexe 3. Données stratigraphiques**



Opération, Sous-op.	US	Dimension s (m)	Description / Interprétation	Méthodes de fouille	Mobilier	Stratigraphie			Date	Références
						Antérieur à	Inclus dans	Postérieur à		
<b>MAT31 - Ruisseau de la baie à Zénon</b>										
MAT31-1AJ	1	2,20x0,80	Humus noir et brun, très meuble	Pelle	Aucun			1AJ2, 1AJ3	20/08/05	
	2	2,20x0,80	Sable gris-brun, meuble	Pelle et truelle	Verre de bouteille, clous, bois, fragments de tôle	1AJ1		1AJ3, 1AJ4	20/08/05	Annexe 4
	3		Alignement de pierres, anguleuses et rubéfiées			1AJ1	1AJ2	1AJ4	20/08/05	Annexe 2
	4		Sable chargé d'argile beige et grise, compacte	Truelle	Os, clous, verre, métal	1AJ2, 1AJ3		1AJ5		Annexe 4
	5		Sable orange			1AJ4				Annexe 2
<b>MAT32 - Chalet à Soucy</b>										
MAT32-1A	1	0,80x0,70	Sédiment sableux gris brun, meuble	Truelle	Vitre, 1 gros clou clou			1A2	17/08/05	
	2	0,80x0,70	Sable caillouteux brun jaunâtre, meuble	Truelle	Vitre, 1 clou de finition tréfilé	1A1		1A3	17/08/05	
	3	0,80x0,70	Terre organique et sable caillouteux, brun foncé, meuble	Truelle	Vitre, 2 clous tréfilés	1A2			17/08/05	
MAT32-1B	1	1,80 x 0,50	Limon sableux gris, compact, quelques pierres	Truelle	Aucun			1A2	17/08/05	
	2	1,80 x 0,50	Limon sableux gris, compact; quelques petits cailloux	Truelle	4 clous tréfilés, 1 boîtier électrique	1B1		1B3	17/08/05	
	3	1,80 x 0,50	Sédiment sableux jaune, peu compact	Truelle	1 clou tréfilé	1B2, 1B4			17/08/05	Annexe 2
	4		Amas de petites et grosses pierres	Truelle	Quelques clous tréfilés parmi les pierres.			1B3	17/08/05	Annexe 2
MAT32-1C	1	0,50 x 0,50	Limon humique de surface compact, brun noirâtre; quelques petits galets	Truelle	4 clous tréfilés			1C2, 1C3	17/08/05	Annexe 2
	2	0,50 x 0,50	Limon sableux homogène, noir grisâtre, compact; quelques petits galets	Truelle	Aucun	1C1, 1C3			17/08/05	Annexe 2
	3	0,87 x 0,42	Grande pierre quadrangulaire			1C1, 1E1		1C2, 1E2	17/08/05	Annexe 2
MAT32-1E	1	0,40 x 0,44	Limon humique de surface compact, brun noirâtre; quelques petits galets	Pelle et truelle	1 clou tréfilé, verre			1E2, 1C3	17/08/05	Annexe 2
	2	0,40 x 0,44	Limon sableux hétérogène comprenant de petits cailloux et une mince lentille sableuse	Truelle	Clou tréfilé	1E2, 1C3			17/08/05	Annexe 2

Opération, Sous-op.	US	Dimension s (m)	Description / Interprétation	Méthodes de fouille	Mobilier	Stratigraphie			Date	Références
						Antérieur à	Inclus dans	Postérieur à		
MAT32-1G	1	0,50 × 0,50	Limon sableux hétérogène, gris noirâtre et rouille, de compacité moyenne, comprenant des pierres rubéfiées / Couche de démolition	Pelle et truelle	Fragments de brique, clous tréfilés, verre fondu			1G2	17/08/05	Annexe 2
	2	0,50 × 0,50	Limon sableux gris jaunâtre homogène, de compacité moyenne, comprenant des galets	Pelle et truelle	Aucun	1G1			17/08/05	Annexe 2
<b>MAT33 - Fort Madapeguia</b>										
MAT37-BI	1	1,00 × 1,00	Limon humique de surface, noir brunâtre, très meuble, comportant quelques cailloux	Truelle, tamis	Aucun			1B12	12/08/05	Annexe 2
	2	1,00 × 1,00	Limon sableux gris, compact (Ae), comportant quelques cailloux	Truelle, tamis	1 pointe de projectile (3 fragments jointifs)	1B11		1B13	12/08/05	Annexe 2
	3	1,00 × 1,00	Limon sableux jaune orangé, compact	Truelle	Aucun	1B12			12/08/05	Annexe 2



## **Annexe 4. Inventaire du mobilier archéologique**

### *Identifiants des sites*

MAT : Parc régional de Seigneurie-du-Lac-Matapédia  
MAT25 : Secteur des sentiers Les Explorateurs  
MAT26 : Baie de Charlie  
MAT30 : Rivière Sableuse ou Matane  
MAT31 : Baie à Zénon  
MIL : Milnikek  
MAT32 : Chalet à Soucy  
MAT33 : Dépôt à Soucy  
MAT37a : Pointe Fine  
MAT37 : Ruisseau Michaud et Fort Madapeguia

### *Unités stratigraphiques et points*

Le numéro de l'opération 2015 est 1. Le mobilier archéologique est associé soit à une unité stratigraphique (US) dont l'identifiant comprend celui du sondage (voir 3.1), soit à un numéro de point géo-référencé précédé du préfixe S (pour « surface »).

### *Matériaux (L'Anglais 1994)*

M1.2 : Terre cuite fine  
M1.2.2.08 : Terre cuite fine blanche  
M1.2.2.09 : Terre cuite fine blanche vitrifiée  
M1.5 : Porcelaine commune  
M2.1 : Verre incolore  
M2.2.1 : Verre teinté bleu-vert  
M2.3.1 : Verre coloré opaque  
M2.3.2 : Verre coloré transparent  
M3.04 : Métal ferreux  
M3.04.2 : Fer laminé  
M4.1.1.04 : Chert  
M4.1.1.10 : Quartz  
M5.1.7 : Os  
M5.2.1 : Bois  
M5.3.3 : Plastique

### *Fonctions (L'Anglais 1994)*

F3.1.1.2 : Chasse  
F4.2.2 : Écriture  
F5 : Consommation de la matière fabriquée ou préparée  
F5.01.1 : Absorption des aliments solides et liquides  
F5.01.1.3 : Vaisselle de service pour l'absorption des aliments  
F5.01.1.4 : Vaisselle de table pour l'absorption des aliments  
F5.01.2 : Conservation et entreposage des aliments solides et liquides  
F5.05 : Soins du corps  
F5.05.3 : Soins de beauté  
F5.06 : Médication  
F5.08.1 : Aménagement des habitations et autres constructions  
F5.08.1.3 : Éclairage des habitations et des autres constructions  
F5.08.3.1 : Matériaux de base - vitre  
F5.08.4.1 : Ferrure de rotation  
F5.08.4.2 : Fixations  
N/A : Fonction indéterminée ou inconnue

Site	US /point	Nombre d'articles	Nombre d'objet	Objet	Matériau	Fonction	Description
MAT31	1Q	2	2	Clous découpés	M3.04.2	F5.08.4.2	
MAT31	1Q	28			M3.04.2	N/A	
MAT31	1AJ2	7	1		M2.1	F5.08.3.1	Verre à vitre déformé
MAT31	1AJ2	30	1	Bouteille	M2.3.2	F5.02.2	Bouteille de gin de section carrée, goulot rabattu, cannelures verticales Motif moulé sous la base
MAT31	1AJ2	14	14	Clous découpés	M3.04.2	F5.08.4.2	Long. 1,5 po. à 6 po.
MAT31	1AJ2	2	1		M3.04.2	N/A	2 fragments jointifs d'une languette de fer, avec 6 trous de fixation pour clous à 1,75 po. d'intervalle ; long. 8,75 po, larg. 0,625 po.
MAT31	1AJ2	1	1		M3.04.2	N/A	Fragment de languette de fer, long. env. 55 mm, ép. 3/8 po. (9mm), fonction inconnue
MAT31	1AJ2	38	1		M3.04.2	N/A	Fragment d'un objet indéterminé en tôle
MAT31	1AJ2	1	1		M5.1.7	N/A	1 petit os incomplet
MAT31	1AJ2	1	1		M5.2.1	N/A	Charbon de bois
MAT31	1AJ4	17	1		M2.1	F5.08.3.1	
MAT31	1AJ4	5	5	Clous découpés	M3.04.2	F5.08.4.2	
MAT31	1AJ4	10	1		M3.04.2	N/A	
MAT31	1AJ4	6	1		M5.1.7	N/A	
MAT31	1AN	1			M5.1.7	N/A	Os avec traces de découpe
MAT31	1S-315	1	1		M1.2.2.08	F5	1 fragment de base à pied annulaire
MAT32	1S-448	1	1		M1.2	F5	Fragment de poignée de gros récipient en terre cuite vitrifiée blanche, vernis ou émail brun
MAT32	1S-448	7	1	Base d'ampoule	M1.5	F5.08.1.3	Base octogonale.
MAT32	1S-448	2	1	Isolateur	M1.5	F5.08.1	Fragments d'un isolateur en porcelaine
MAT32	1S-467	1	1	Penture	M3.04	F5.08.4.1	

Site	US /point	Nombre d'articles	Nombre d'objet	Objet	Matériau	Fonction	Description
MAT32	1S-477	1	1	Bouteille	M2.1	F5.02.2	Bouteille de rhum de section carrée, goulot manquant Face av., moulé dans un médaillon : RHUM / DES / PLANTATIONS / ST-JAMES Face arr. moulé : RHUM / DES / PLANTATIONS ST-JAMES À la base, moulé: 75 cl Sous la base, moulé : 9 / 8A / 8
MAT33	1T	1	1	Peigne	M5.3.3	F5.05	Peigne de poche
MAT33	1S-128	7	1	Bouteille	M2.2.1	F5.01.2	7 fragments jointifs, bulles dans le verre
MAT37	1BI2	3	1	Pointe de projectile	M4.1.1.04	F3.1.1.2	
MAT37 a	1G	1	1	Possible éclat	M4.1.1.10	N/A	
MIL	1S-110	1	1	Assiette ou bol	M1.2.2.08	F5.01.1	1 fragment de rebord ondulé d'assiette ou de bol ovale
MIL	1S-110	1	1	Flacon	M2.1	F5	Flacon de verre complet, bouchon de métal en place Sur la face et au dos, moulé : [logo HL dans une étoile] Sous la base, moulé : HOLLYWOOD / AROMAT DRINK
MIL	1S-110	1	1	Bouteille	M2.1	F5	Bouteille complète, prob. flacon de médicament ou mignonnette, bouchon de métal en place Sur le flanc, moulé : CONTENTS / 2 FL. OZ. Sous la base, moulé : [logo Consumer Glass] / 271 / 7
MIL	1S-110	1	1	Bouteille	M2.1	F5	Bouteille complète, prob. flacon de médicament ou mignonnette, bouchon de métal en place Sur le flanc, moulé : CONTENTS / 2 FL. OZ. Sous la base, moulé : [logo Consumer Glass] / 271 / 3.
MIL	S-110	1	1	Bouteille	M2.1	F4.2.02	Bouteille d'encre complète, profil hexagonal Sous la base, moulé : WATERMAN'S/ 2 OZ / 9 / REGISTERED / MADE IN CANADA
MIL	S-110	1	1	Bouteille	M2.1	F4.2.02	Bouteille d'encre complète, bouchon de métal en place Moulé sous la base: WATERMAN'S/ 2 OZ / REGISTERED / MADE IN CANADA

Site	US /point	Nombre d'articles	Nombre d'objet	Objet	Matériau	Fonction	Description
MIL	S-110	1	1	Bouteille	M2.1	F5.05.3	Bouteille de vernis à ongle complète, épaule hexagonale, base hexagonale cannelée, bouchon de plastique et son pinceau en place, contient des restes de vernis magenta Sous la base, moulé : U.S. / PAT'D / 110034 / 10
MIL	S-110	1	1	Bouteille	M2.1	F5.05.3	Bouteille de vernis à ongle complète de section rectangulaire. bouchon de plastique et son pinceau en place, contient des restes de vernis rose Sous la base, moulé : [logo Dominion Glass] . ~ 4
MIL	S-110	1	1	Bouteille	M2.1	F5.05.3	Bouteille de vernis à ongle complète, bouchon de plastique et son pinceau en place, contient des restes de vernis saumon Sous la base, moulé : U. S. / PAT'D / 110034 / 7-
MIL	S-110	1	1	Bouteille	M2.1	F5.05.3	Bouteille de vernis à ongle complète de section rectangulaire, bouchon de plastique et son pinceau en place, contient des restes de vernis rose ou violet Sous la base, moulé : 7 / ≡
MIL	S-110	1	1	Salière	M2.1	F5.01.1.3	Salière presque complète, moulures verticales, couvercle de métal en place Sous la base, moulé : [Logo Consumer Glass] / 7157 / 5
MIL	S-110	1	1	Pot	M2.3.1	F5	Pot à crème complet, verre opaque blanc
MIL	S-110	1	1	Flacon	M2.3.2	F5	Flacon complet de section carrée, prob. de médicament, verre brun, bouchon de métal en place Sous la base, moulé : MADE/ S IN [logo Dominion Glass] / CANADA
MIL	S-110	9	1	Bouteille	M2.3.2	F5.06	Fragments jointifs d'une bouteille de verre brun de section rectangulaire Sur les flancs, moulé : BUCKLEY'S Sous la base, moulé : 4 [Logo Dominion Glass] . 8
MIL	S--110	1	1	Couvercle	M2.1	F5.01.2	Couvercle de pot complet, motif moulé Sur la face inférieure, moulé : SAFETY SEAL

Site	US /point	Nombre d'articles	Nombre d'objet	Objet	Matériau	Fonction	Description
MIL	S-113	1	1	Bouteille	M2.1	F5.01.2	Bouteille complète Sur l'épaule, imprimé : [logo RB] Sur la face, imprimé : ]estigo[ Au dos, imprimé : THE CROWN TELLS THE FLAVOUR / BOTTLED BY RESTIGOUCHE BEVERAGE WORKS / CAMPBELLTON, N.B. / CONT. 7 FL. OZS Sous la base, moulé : 6 / 4. [logo Dominion Glass] . / 7949-F
MIL	S-115	1	1	Soucoupe	M1.2.2.09	F5.01.1.4	Fragment de rebord de soucoupe, cannelures en spirale
MIL	S-115	1	1	Bouteille	M2.1	F5.01.2	Fragment de bouteille de boisson gazeuse Sur la face avant, imprimé : Sun Crest
MIL	S-115	1	1	Bocal	M2.1	F5	Bocal complet de profil octogonal, rectangles concentriques moulés sur les flancs, poignée en fil de fer, goulot fileté Sous la base, moulé : RD 1934 / C [logo Consumer Glass] 00 / 4 3
MIL	S-115	2	1	Bouteille	M2.3.2	F5.06	Verre bleu, 2 fragments jointifs À la base, moulé : BROMO-CEDIN FOR HEADACHES. Sous la base, moulé : A [logo Dominion Glass] . / 5
MIL	S-547	1	1	Flacon	M2.1	F5	Goulot de flacon de verre, fileté, décor cannelé moulé
MIL	S-547	1	1	Flacon	M2.3.2	F5	Fragment de cul de flacon de verre brun À la base, moulé 4 Sous la base, moulé : C

## **Annexe 5. Catalogue des photographies**

Date	Zone	Dossier sur CD	Numéro de photo	Appareil	Description	Crédits
15-08-16		Général / Activité publique	DSC_8618 DSC_8629 DSC_8636 DSC_8647	Nikon LAP	Activité publique au camping de Val-Brillant. Kiosque présentant le projet et simulation de fouilles archéologiques	N. Beaudry
15-08-21		Général / Camp de la grippe espagnole	DSC_9532 DSC_9537 DSC_9541 DSC_9545	Nikon LAP	Visite de groupe au Mémorial de la grippe espagnole, Sainte-Irène	N. Beaudry
15-08-21		Général / Camp de la grippe espagnole	P1010753 P1010754 P1010756 P1010758 P1010768 P1010770 P1010771 P1010778 P1010788	Lumix LAP	Visite de groupe au Mémorial de la grippe espagnole, Sainte-Irène	M. Savard
15-08-11		Général / groupe	P1010276	Lumix LAP	Photo de groupe, équipe de la première semaine : Isabelle Francoeur, Manon Savard, Michel Plourde, Méghan Houle, Jérôme Bossé, Sophie Bernier, William Chassé, Nicolas Beaudry	N. Beaudry
15-08-19		Général / groupe	P1010694	Lumix LAP	Photo de groupe, équipe de la deuxième semaine : N. Beaudry, Sophie Bernier, Roxane Julien-Friolet, Meghan Houle, Isabelle Francoeur, William Chassé, Manon Savard, Jérôme Bossé	N. Beaudry
15-08-11		Général / Méthodes	DSC_8363 DSC_8365 DSC_8366	Nikon LAP	Démonstration des techniques et méthodes par Michel Plourde	N. Beaudry



Date	Zone	Dossier sur CD	Numéro de photo	Appareil	Description	Crédits
15-08-11		Général / Méthodes	DSC_8379	Nikon LAP	Méthode de fouille (couleurs et contrastes rehaussés)	N. Beaudry
15-08-11		Général / Méthodes	DSC_8414	Nikon LAP	Enseignement sur les podzols par M. Savard	N. Beaudry
15-08-12		Général / Méthodes	DSC_8436	Nikon LAP	Documentation du sondage MAT37-1Q	N. Beaudry
15-08-14	MAT25	MAT25	DSC_8584 DSC_8588	Nikon LAP	Baie de la zone 25 avec vestige de l'industrie forestière	N. Beaudry
15-08-14	MAT25	MAT25	P1010409	Lumix LAP	Contenant de métal en surface, zone 25, secteur A	M. Savard
15-08-14	MAT25	MAT25	P1010410	Lumix LAP	Aspect général de la zone 25, secteur A	M. Savard
15-08-14	MAT25	MAT25	P1010412	Lumix LAP	Sondage MAT25-1G (secteur a)	M. Savard
15-08-14	MAT25	MAT25	P1010421	Lumix LAP	Nicolas Beaudry, zone 25 secteur B	M. Savard
15-08-14	MAT25	MAT25	P1010423	Lumix LAP	Sophie Bernier, zone 25 secteur B	M. Savard
15-08-14	MAT25	MAT25	P1010425	Lumix LAP	William Chassé, zone 25 secteur B	M. Savard
15-08-14	MAT25	MAT25	P1010426	Lumix LAP	Isabelle Francoeur, secteur B	M. Savard
15-08-14	MAT25	MAT25	P1010432	Lumix LAP	Stratigraphie, MAT25-1N, (secteur B)	M. Savard
15-08-14	MAT25	MAT25	P1010444	Lumix LAP	Stratigraphie, MAT25-1U (secteur C)	M. Savard
15-08-14	MAT25	MAT25	P1010449	Lumix LAP	Exemple de stratigraphie du secteur C, avec échelle de 40 cm	M. Savard
15-08-13	MAT26	MAT26	DSC_8557	Nikon LAP	Artefacts en surface, zone 26, point MAT26-1S361	N. Beaudry
15-08-13	MAT26	MAT26	DSC_8568	Nikon LAP	Pique-nique à la baie de Charlie	N. Beaudry
15-08-13	MAT26	MAT26	P1010387 P1010389	Lumix LAP	Pierres rubéfiées près du sondage MAT26-1C, secteur A (aire de jeu)	M. Savard
15-08-13	MAT26	MAT26	P1010393	Lumix LAP	Aspect général de la zone 26, secteur A	M. Savard
15-08-13	MAT26	MAT26	P1010400	Lumix LAP	Plage de la zone 26, baie de Charlie	M. Savard
15-08-13	MAT26	MAT26	P1010402	Lumix LAP	Coupe stratigraphie du sondage MAT26-1R, avec échelle de 40 cm.	M. Savard

Date	Zone	Dossier sur CD	Numéro de photo	Appareil	Description	Crédits
15-08-10	MAT26	MAT26	P1100768	Lumix N.B.	Zone 26, baie de Charlie	N. Beaudry
15-08-14	MAT30	MAT30	P1010454	Lumix LAP	Aspect général de la zone 30, en route vers l'embouchure de la rivière Sableuse	M. Savard
15-08-14	MAT30	MAT30	P1010459	Lumix LAP	Embouchure de la rivière Sableuse	M. Savard
15-08-14	MAT30	MAT30	P1010463, P1010465	Lumix LAP	Vestiges de l'exploitation forestière dans la baie à l'est de l'embouchure de la rivière Sableuse : restes d'un quai, pièces de bois	M. Savard
15-08-14	MAT30	MAT30	P1010470	Lumix LAP	Aspect général du secteur sondé	M. Savard
15-08-14	MAT30	MAT30	P1010472	Lumix LAP	Stratigraphie de MAT30-1F	M. Savard
15-08-13	MAT31	MAT31	DSC_8524	Nikon LAP	Baie à Zénon	N. Beaudry
15-08-13	MAT31	MAT31	DSC_8533	Nikon LAP	Entrevue avec Radio-Canada, baie à Zénon,	N. Beaudry
15-08-13	MAT31	MAT31	DSC_8537	Nikon LAP	Sondage MAT31-1Q : sondage positif ayant livré du matériel historique	N. Beaudry
15-08-13	MAT31	MAT31	DSC_8541	Nikon LAP	Stratigraphie, sondage MAT31-1Q	N. Beaudry
15-08-13	MAT31	MAT31	DSC_8546	Nikon LAP	Barrage de castor près de l'embouchure du ruisseau de la Baie à Zénon	N. Beaudry
15-08-13	MAT31	MAT31	P1010337	Lumix LAP	Aspect général de la zone 31, secteur A	M. Savard
15-08-13	MAT31	MAT31	P1010338 P1010340	Lumix LAP	Érosion de long du ruisseau de la baie à Zénon, en amont d'un barrage de castor	M. Savard
15-08-13	MAT31	MAT31	P1010343, P1010345, P1010349	Lumix LAP	Baie à Zénon, zone 31	M. Savard
15-08-13	MAT31	MAT31	P1010350 P1010368	Lumix LAP	Sondage MAT31-1F, en plan et en coupe, avec échelle de 40 cm	M. Savard
15-08-13	MAT31	MAT31	P1010378	Lumix LAP	Sondage MAT31-1AH (baie à Zénon, secteur B), en plan, avec échelle de 40 cm	M. Savard

Date	Zone	Dossier sur CD	Numéro de photo	Appareil	Description	Crédits
15-08-20 15-08-21	MAT31	MAT31	P1010741 P1010744 P1010790 P1010792 P1010801	Lumix LAP	Baie à Zénon (zone 31, secteur A), contexte archéologique MAT31-1AJ2	M. Savard
15-08-21	MAT31	MAT31	P1010816	Lumix LAP	Baie à Zénon (secteur A), paroi de MAT31-1AJ	M. Savard
15-08-17	MAT32	MAT32	DSC_8674 DSC_8680 DSC_8683 DSC_8696	Nikon LAP	Rive en partie aménagée, zone du Chalet à Soucy	N. Beaudry
15-08-17	MAT32	MAT32	DSC_8691 DSC_8694	Nikon LAP	Cédrière près du Chalet à Soucy	N. Beaudry
15-08-17	MAT32	MAT32	DSC_8700 DSC_8701 DSC_8705 DSC_8724 DSC_8729 DSC_8735	Nikon LAP	Cheminée du Chalet à Soucy	N. Beaudry
15-08-17	MAT32	MAT32	DSC_8780 DSC_8782	Nikon LAP	Puits, Chalet à Soucy	N. Beaudry
15-08-17	MAT32	MAT32	DSC_8796	Nikon LAP	Vestiges d'un quai, Chalet à Soucy	N. Beaudry
15-08-17	MAT32	MAT32	P1010478	Lumix LAP	Vestiges d'un quai, point MAT32-1S4459	M. Savard
15-08-17	MAT32	MAT32	P1010479	Lumix LAP	Vestiges d'un quai, point MAT32-1S4459 ; à l'arrière-plan, la cheminée du Chalet à Soucy	M. Savard
15-08-17	MAT32	MAT32	P1010483 P1010488	Lumix LAP	Billots de cèdre laissés en forêt, point MAT32-1S479	M. Savard
15-08-17	MAT32	MAT32	P1010489	Lumix LAP	Restes de matelas au pied de la cheminée du Chalet à Soucy	M. Savard
15-08-17	MAT32	MAT32	P1010491	Lumix LAP	Cheminée du Chalet à Soucy, parement intérieur	M. Savard

Date	Zone	Dossier sur CD	Numéro de photo	Appareil	Description	Crédits
15-08-17	MAT32	MAT32	P1010505	Lumix LAP	Sondage MAT32-1C, contre une dalle de pierre	M. Savard
15-08-17	MAT32	MAT32	P1010510	Lumix LAP	Alignement de pierres, emplacement du sondage perpendiculaire MAT32-1D	M. Savard
15-08-17	MAT32	MAT32	P1010512	Lumix LAP	Puits près du Chalet à Soucy, avec Jérôme Bossé	M. Savard
15-08-17	MAT32	MAT32	P1010515	Lumix LAP	Sondage MAT32-1D en cours de fouille	M. Savard
15-08-17	MAT32	MAT32	P1010533	Lumix LAP	Artefacts du sondage MAT32-1D : gaine de fil électrique et clou tréfilé, non conservés	M. Savard
15-08-17	MAT32	MAT32	P1010539	Lumix LAP	Artefacts du sondage MAT32-1C : 3 clous tréfilés, non conservés	M. Savard
15-08-17	MAT32	MAT32	P1010541	Lumix LAP	Artefacts du sondage MAT32-1E : 2 clous tréfilés et un fragment de verre, non conservés	M. Savard
15-08-17	MAT32	MAT32	P1010542, P1010546 P1010547 P1010551	Lumix LAP	Sondage MAT32-1B, vue d'ensemble et détail	M. Savard
15-08-17	MAT32	MAT32	P1010553	Lumix LAP	Artefacts du sondage MAT32-1B : 5 clous tréfilés, non conservés	M. Savard
15-08-10	MAT32	MAT32	P1100760 P1100762 P1100765	Lumix N.B.	Zone 32, cheminée du Chalet à Soucy	N. Beaudry
15-08-20	MAT33	MAT33	DSC_9298 DSC_9300 DSc_9321	Nikon LAP	Dépôt à Soucy, chablis révélant un dépotoir	N. Beaudry
15-08-20	MAT33	MAT33	DSC_9315 DSC_9367 DSC_9387 DSC_9393	Nikon LAP	Dépôt à Soucy, artefacts d'un dépotoir	N. Beaudry

Date	Zone	Dossier sur CD	Numéro de photo	Appareil	Description	Crédits
15-08-20	MAT33	MAT33	DSC_9421 DSC_9424 DSC_9442	Nikon LAP	Structure inondée, secteur du Dépôt à Soucy	N. Beaudry
15-08-20	MAT33	MAT33	DSC_9478	Nikon LAP	Artefacts provenant des sondages réalisés près du Dépôt à Soucy	N. Beaudry
15-08-20	MAT33	MAT33	DSC_9493	Nikon LAP	Rampe d'accès pour véhicule et puits de mécanicien du Dépôt à Soucy	N. Beaudry
15-08-20	MAT33	MAT33	IMG_6137	Canon LAP	Dépôt à Soucy, point MAT33-1S595	LAP
15-08-20	MAT33	MAT33	IMG_6168	Canon LAP	Bouteille en surface dans un dépotoir près du Dépôt à Soucy, avec échelle de 30 cm	LAP
15-08-13	MAT33	MAT33	P1010330	Lumix LAP	Sondage MAT33-1H, en plan	M. Savard
15-08-20	MAT33	MAT33	P1010711	Lumix LAP	Dépôt à Soucy, dalle de béton, détail du puits de mécanicien	M. Savard
15-08-20	MAT33	MAT33	P1010723	Lumix LAP	Artefacts du sondage MAT33-1M, non conservés	M. Savard
15-08-20	MAT33	MAT33	P1010728	Lumix LAP	Dépôt à Soucy, dalle de béton, puits de mécanicien et rampe d'accès	M. Savard
15-08-20	MAT33	MAT33	P1010737	Lumix LAP	Dépôt à Soucy, dalle de béton, mortaise pour un encastrement	M. Savard
15-08-10	MAT33	MAT33	P1100742 P1100744	Lumix N.B.	Plage du Dépôt à Soucy et affleurement de basalte à l'arrière-plan.	N. Beaudry
15-08-10	MAT33	MAT33	P1100747	Lumix N.B.	Plage du Dépôt à Soucy et affleurement de basalte	N. Beaudry
15-08-10	MAT33	MAT33	P1100758	Lumix N.B.	Plage du Dépôt à Soucy	N. Beaudry
15-08-12	MAT37	MAT37	DSC_8443	Nikon LAP	Coupe stratigraphique de MAT37-1Q	N. Beaudry
15-08-12	MAT37	MAT37	DSC_8450 DSC_8459	Nikon LAP	Zone 37, secteur A, aspect général	N. Beaudry

Date	Zone	Dossier sur CD	Numéro de photo	Appareil	Description	Crédits
15-08-12	MAT37	MAT37	DSC_8460 DSC-8463 DSC_8464 DSC_8465 DSC_8467 DSC_8468 DSC_8475	Nikon LAP	Fort Madapeguia	N. Beaudry
15-08-12	MAT37	MAT37	DSC_8487	Nikon LAP	Pointe de projectile	N. Beaudry
15-08-12	MAT37	MAT37	DSC_8493 DSC_8494	Nikon LAP	Sondage MAT37-1BI élargi	N. Beaudry
15-08-12	MAT37	MAT37	DSC_8498 DSC_8500	Nikon LAP	MAT37, secteur B	N. Beaudry
15-08-12	MAT37	MAT37	DSC_8501 DSC_8503 DSC_8510	Nikon LAP	Retour de la zone 37	N. Beaudry
15-08-16	MAT37	MAT37	DSC_8608a	Nikon LAP	3 fragments jointifs d'une pointe de projectile trouvée en MAT37-1BI2	N. Beaudry
15-08-12	MAT37	MAT37	P1010291	Lumix LAP	Chemin d'accès à la zone 37	M. Savard
15-08-12	MAT37	MAT37	P1010293	Lumix LAP	Aspect général de la zone 37, secteur A	M. Savard
15-08-12	MAT37	MAT37	P1010299	Lumix LAP	Aspect général de la zone 37, secteur A	M. Savard
15-08-12	MAT37	MAT37	P1010300	Lumix LAP	Aspect général de la zone 37, secteur B, vue sur le lac en contrebas	M. Savard
15-08-12	MAT37	MAT37	P1010304	Lumix LAP	Coupe du sondage MAT37-1AA avec échelle de 40 cm	M. Savard
15-08-12	MAT37	MAT37	P1010310	Lumix LAP	Aspect général de la zone 37, secteur B, avec le fort Madapeguia à l'arrière-plan	M. Savard
15-08-12	MAT37	MAT37	P1010323	Lumix LAP	Tamisage dans la zone 37, secteur B ; de gauche à droite : Isabelle Francoeur, Jérôme Bossé et Michel Plourde	M. Savard

Date	Zone	Dossier sur CD	Numéro de photo	Appareil	Description	Crédits
15-08-12	MAT37	MAT37	P1010324	Lumix LAP	Sondage MAT37a-1BI en plan	M. Savard
15-08-12	MAT37	MAT37	P1010325	Lumix LAP	Paroi sud du sondage MAT37a-1BI	M. Savard
15-08-11	MAT37a	MAT37a	DSC_8384	Nikon LAP	Stratigraphie MAT37a-1F	N. Beaudry
15-08-11	MAT37a	MAT37a	DSC_8417 DSC_8419	Nikon LAP	Vers le Promontoire	N. Beaudry
15-08-11	MAT37a	MAT37a	DSC_8426	Nikon LAP	Sommet du Promontoire	N. Beaudry
15-08-11	MAT37a	MAT37a	P1010267	Lumix LAP	MAT37a-1F, coupe, échelle de 40 cm	M. Savard
15-08-11	MAT37a	MAT37a	P1010273	Lumix LAP	Coupe stratigraphique de MAT37a-1L avec échelle de 40 cm	N. Beaudry
15-08-11	MAT37a	MAT37a	P1010279	Lumix LAP	Surface rocailleuse au sommet du Promontoire (secteur B), échelle de 40 cm.	M. Savard
15-08-10	MAT37a	MAT37a	P1100732 P1100736 P1010737	Lumix N.B.	Pointe Fine, côté nord et sud	N. Beaudry
15-08-18	MIL	Milnikek	DSC_8836 DSC_8839	Nikon LAP	Milnikek, inspection visuelle	N. Beaudry
15-08-18	MIL	Milnikek	DSC_8863 DSC_8864	Nikon LAP	Milnikek, rive gauche, monument commémoratif	N. Beaudry
15-08-18	MIL	Milnikek	DSC_8938	Nikon LAP	Milnikek, rive gauche, affut de chasse	N. Beaudry
15-08-18	MIL	Milnikek	DSC_8981	Nikon LAP	Affiche à l'entrée de Milnikek	N. Beaudry
15-08-19	MIL	Milnikek	DSC_9016	Nikon LAP	Milnikek, rive droite, brûleur	N. Beaudry
15-08-19	MIL	Milnikek	DSC_9165 DSC_9166 DSC_9171 DSC_9183 DSC_9184	Nikon LAP	Milnikek, rive droite, dépotoir de boîtes de conserve	N. Beaudry

Date	Zone	Dossier sur CD	Numéro de photo	Appareil	Description	Crédits
15-08-19	MIL	Milnikek	DSC_9196 DSC_9199 DSC_9201 DSC_9202 DSC_9206 DSC_9219 DSC_9221 DSC_9223 DSC_9232 DSC_9242 DSC_9246 DSC_9262 DSC_9263 DSC_9265	Nikon LAP	Milnikek, rive droite, artefacts d'un dépotoir	N. Beaudry
15-08-18	MIL	Milnikek	IMG_5984	Canon LAP	Milnikek, rive gauche, anomalie topographique MIL-1S514	LAP
15-08-18	MIL	Milnikek	IMG_5985	Canon LAP	Milnikek, rive gauche, artefacts en surface, point MIL-1S514	I. Francoeur
15-08-18	MIL	Milnikek	IMG_5992	Canon LAP	Milnikek, rive gauche, artefacts en surface, porte de poêle, point MIL-1S514	I. Francoeur
15-08-18	MIL	Milnikek	IMG_5992 IMg_5999 IMG_6002 IMG_6010	Canon LAP	Milnikek, rive gauche, artefacts en surface, bouteille de boisson gazeuse Snow White et boîte de conserve chauffée, point MIL-1S518	I. Francoeur
15-08-18	MIL	Milnikek	IMG_6029 IMG_6031	Canon LAP	Milnikek, rive gauche, artefacts en surface, pot en tôle émaillée, point MIL-1S521	LAP
15-08-18	MIL	Milnikek	IMG_6033	Canon LAP	Milnikek, rive gauche, anomalie topographie, point MIL-1S522	LAP



Date	Zone	Dossier sur CD	Numéro de photo	Appareil	Description	Crédits
15-08-19	MIL	Milnikek	IMG_6082 IMG_6085	Canon LAP	Milnikek, artefacts dans la rivière	LAP
15-08-19	MIL	Milnikek	IMG_6106	Canon LAP	Milnikek, rive droite, anomalie topographique, très probablement le site de la chapelle	LAP
15-08-19	MIL	Milnikek	IMG_6109	Canon LAP	Milnikek, rive droite, bouteille de verre en surface sur le site probable de la chapelle	LAP
15-08-19	MIL	Milnikek	IMG_6125	Canon LAP	Milnikek, rive droite, chemin forestier suivant le tracé approximatif de la route qui traversait autrefois la rivière	LAP
15-08-18	MIL	Milnikek	P1010560 P1010564 P1010569	Lumix LAP	Milnikek, rive gauche, cheminée de la scierie, points MIL-1S090 et MIL-1S091	LAP
15-08-18	MIL	Milnikek	P1010567 P1010571 P1010584 P1010586 P1010587 P1010588 P1010589 P1010590 P1010595 P1010596 P1010608	Lumix LAP	Milnikek, rive gauche, vestiges de la scierie, points MIL-1S091 à MIL-1S095	LAP
15-08-18	MIL	Milnikek	P1010593 P1010598	Lumix LAP	Milnikek, rive gauche, vestiges de la scierie avec la rivière Milnikek en contrebas	LAP
15-08-18	MIL	Milnikek	P1010601 P1010608	Lumix LAP	Milnikek, géo-référencement des vestiges de la scierie, point MIL-1S094	LAP
15-08-18	MIL	Milnikek	P1010609	Lumix LAP	Milnikek, rive gauche, vestiges, point MIL-1S096	LAP

Date	Zone	Dossier sur CD	Numéro de photo	Appareil	Description	Crédits
15-08-18	MIL	Milnikek	P1010618	Lumix LAP	Milnikek, rive gauche, reste de quai, point MIL-1S098	LAP
15-08-18	MIL	Milnikek	P1010622	Lumix LAP	Milnikek, rive gauche, monticule de pierres, point MIL-1S098	LAP
15-08-18	MIL	Milnikek	P1010633	Lumix LAP	Milnikek, bord de la rivière et vue sur le brûleur situé sur la rive droite	LAP
15-08-18	MIL	Milnikek	P1010638 P1010640 P1010641	Lumix LAP	Milnikek, vestiges dans la rivière vis-à-vis du brûleur	LAP
15-08-18	MIL	Milnikek	P1010655	Lumix LAP	Milnikek, rive gauche, anomalie topographique, point MIL-1S103	LAP
15-08-18	MIL	Milnikek	P1010661	Lumix LAP	Restes de quai, détails, point MIL-1S104	LAP
15-08-19	MIL	Milnikek	P1010677 P1010681	Lumix LAP	Milnikek, rive droite, mur nord du brûleur, vue d'ensemble et détails, point MIL-1S552	LAP